МИНИСТЕРСТВО ОБРАЗОВАНИЯ И НАУКИ РОССИЙСКОЙ ФЕДЕРАЦИИ федеральное государственное бюджетное образовательное учреждение высшего образования

«Тольяттинский государственный университет»

Институт химии и инженерной экологии

(наименование института полностью)

Кафедра «Химия, химические процессы и технологии»

(наименование кафедры)

04.03.01 «Химия»

(код и наименование направления подготовки, специальности)

«Медицинская и фармацевтическая химия»

(наименование(профиль)/специализации)

БАКАЛАВРСКАЯ РАБОТА

на тему: Высокопроизводительный молекулярный докинг коммерческих комбинаторных библиотек и поиск эффективных структурных скаффолдов ингибиторов EGFR-киназы

Студент	С.А. Новикова	
	(И.О. Фамилия)	(личная подпись)
Руководитель	А.С. Бунев	
	(И.О. Фамилия)	(личная подпись)
Консультанты	Н.В. Ященко	
	(И.О. Фамилия)	(личная подпись)
	(И.О. Фамилия)	(личная подпись)
Допустить к защит	e	
Заведующий кафедр	ой д.х.н., профессор Г.И. Остапенко (ученая степень, звание, И.О. Фамилия)	(личная подпись)
« »	2017 г.	

МИНИСТЕРСТВО ОБРАЗОВАНИЯ И НАУКИ РОССИЙСКОЙ ФЕДЕРАЦИИ ФЕДЕРАЛЬНОЕ ГОСУДАРСТВЕННОЕ БЮДЖЕТНОЕ ОБРАЗОВАТЕЛЬНОЕ УЧРЕЖДЕНИЕ ВЫСШЕГО ОБРАЗОВАНИЯ «ТОЛЬЯТТИНСКИЙ ГОСУДАРСТВЕННЫЙ УНИВЕРСИТЕТ» ИНСТИТУТ ХИМИИ И ИНЖЕНЕРНОЙ ЭКОЛОГИИ (ИНСТИТУТ)

<u>Химия, химические процессы и технологии</u> (кафедра)

УТВЕРЖДАЮ
Заведущий Кафедрой
Остапенко Г.И.
«»2017 г.

ЗАДАНИЕ на выполнение бакалаврской работы

Студентке Новиковой Светлане Александровне

- 1. Тема «Высокопроизводительный молекулярный докинг коммерческих комбинаторных библиотек и поиск эффективных структурных скаффолдов ингибиторов EGFR-киназы»
- 2. Срок сдачи студентом законченной бакалаврской работы июнь 2017
- 3. Исходные данные к бакалаврской работе <u>литература по теме исследования</u>
- 4. Содержание бакалаврской работы (перечень подлежащих разработке вопросов, разделов) Введение, литературный обзор, обсуждение результатов, экспериментальная часть, заключение, список литературы. Аннотация на английском языке (консультант по разделу к.ф.н., Н.В.Ященко)
- 5. Ориентировочный перечень графического и иллюстративного материала презентация
- 6. Консультанты по разделам не предусмотрены
- 7. Дата выдачи задания «<u>6</u>» февраля 2017 г.

Руководитель выпускной		
квалификационной работы		А.С. Бунев
1	(подпись)	(И.О. Фамилия)
Задание принял к исполнению		С.А. Новикова
	(подпись)	(И.О. Фамилия)

МИНИСТЕРСТВО ОБРАЗОВАНИЯ И НАУКИ РОССИЙСКОЙ ФЕДЕРАЦИИ ФЕДЕРАЛЬНОЕ ГОСУДАРСТВЕННОЕ БЮДЖЕТНОЕ ОБРАЗОВАТЕЛЬНОЕ УЧРЕЖДЕНИЕ ВЫСШЕГО ОБРАЗОВАНИЯ «ТОЛЬЯТТИНСКИЙ ГОСУДАРСТВЕННЫЙ УНИВЕРСИТЕТ»

ИНСТИТУТ ХИМИИ И ИНЖЕНЕРНОЙ ЭКОЛОГИИ

(институт)

<u>Химия, химические процессы и технологии</u> (кафедра)

У 1	ВЕРЯ	КДАЮ
Зав	едущ	ий Кафедрой
		— Остапенко Г.И.
~	>>	2017 г.

КАЛЕНДАРНЫЙ ПЛАН выполнения бакалаврской работы

Студента: Новиковой Светланы Александровны

по теме: Высокопроизводительный молекулярный докинг коммерческих комбинаторных библиотек и поиск эффективных структурных скаффолдов ингибиторов EGFR-киназы

Наименование	Плановый	Фактический	Отметка о	Подпись
раздела	срок	срок	выполнении	руководителя
работы	выполнения	выполнения		
	раздела	раздела		
Подбор				
литературных				
источников и				
написание раздела	1.03.2017	1.03.2017	Выполнено	
«Литературный				
обзор»				
Выполнение				
экспериментальной				
части работы	10.04.2017	10.04.07	Выполнено	
Написание раздела				
«Экспериментальная	22.05.2017	22.05.2017	Выполнено	
часть»				
Написание разделов				
«Результаты и				

обсуждения», «Введение» «Заключение», «Литература»	29.05.2017	29.05.2017	Выполнено	
Верстка работы, проверка работы научным руководителем	05.06.2017	05.06.2017	Выполнено	
Проверка работы в системе «Антиплагиат.ВУЗ»	16.06.2017	16.06.2017	Выполнено	
Оформление демонстрационного материала и устного доклада	19.06.2017	19.06.2017	Выполнено	

Руководитель выпускной		
квалификационной работы		А.С. Бунев
	(подпись)	(И.О. Фамилия)
Задание принял к исполнению		С.А. Новикова
	(подпись)	(И.О. Фамилия)

АННОТАЦИЯ

Представленная работа обобщает результаты комплексного исследования по поиску перспективных низкомолекулярных ингибиторов киназ семейства рецепторов эпидермального фактора роста среди огромного многообразия коммерчески доступных соединений.

В качестве исходной базы коммерчески доступных соединений отобрано 138000 соединений коллекции компании ChemBridge. Полученные структуры соединений после предварительной оптимизации и подготовки использовались в высокопроизводительном молекулярном докинге. Для всех изученных соединений получены значения энергии связывания с активным сайтом связывания EGFR-киназы. На основе ранжирования результатов докинга с рядом drug-like критериев было отобрано 300 перспективных соединений и выделено около 70 скаффолдов.

ABSTRACT

This diploma paper deals with to the results of a comprehensive study of the search for promising low molecular weight kinase inhibitors of the epidermal growth factor receptor family among the vast variety of commercially available compounds.

The aim of the work is to search for structural scaffolds inhibitors of EGFR-kinase.

The object of the diploma paper is inhibitors of EGFR-kinase.

The subject of the diploma paper is high-performance molecular docking.

The first part of the project gives details about the epidermal growth factor receptors, pharmacological strategies for inhibiting the transmission of erbB signals, tyrosine kinase inhibitors, mutations and its effects on anti-erbB targeted therapy.

The second part of the project gives the details about the highperformance molecular docking, binding energy values with the active EGFRkinase binding site.

The third part of the project deals with the experimentally obtained data.

It can be concluded that the bases of the ranking of docking results with a number of drug-like criteria, 300 promising compounds were selected and about 70 scaffolds were allocated.

СОДЕРЖАНИЕ

Стр
ПРИНЯТЫЕ СОКРАЩЕНИЯ10
ВВЕДЕНИЕ12
1. ЛИТЕРАТУРНЫЙ ОБЗОР 13
1.1. EGFR/HER-2 И РАК 13
1.2. Структура и функции14
1.2.1 Внеклеточный домен
1.2.2. Домен тирозинкиназы 18
1.3. Фармакологические стратегии ингибирования erbB передачи
сигналов
1.3.1. Моноклональные антитела
1.3.1.1. Анти-EGFR антитела
1.3.1.2. Анти-HER-2 антитела
1.4. Ингибиторы тирозинкиназы
1.4.1. 4-анилинхинозалины
1.4.1.1. Характеристика связывания 4-анилинохиназолинов
1.4.1.2. Структура активности отношений 4-анилинохиназолинов 27
1.4.2. Дизайн необратимых ингибиторов
1.4.3. Пиридопиримидины и пиримидопиримидины
1.4.4. Трициклические хиназолины и пиримидины

	1.4.5. Бензилиденмалононитрилы	. 34
	1.4.6. Бензамиды и бензамидины	. 36
	1.4.7. Салициланилиды	. 38
	1.4.8. 5,7-диазоиндолиноны	. 39
	1.4.9. Пирролотриазины	. 40
	1.4.9.1. Пирролопиримидины	. 41
	1.5. Мутации и ее последствия на анти-erbB таргетную терапию	. 42
2	. ОБСУЖДЕНИЕ РЕЗУЛЬТАТОВ	. 45
	2.1. Построение исследуемой библиотеки на основе коммерческих	
	комбинаторных библиотек	. 45
	2.2. Проведение молекулярного докинга в активный сайт связывания	
	EGFR-киназы	. 45
	2.3. Результаты молекулярного докинга в активный сайт связывания	
	EGFR-киназы	. 46
	2.4. Анализ молекулярных взаимодействий EGFR – лиганд	. 90
3	. ЭКСПЕРИМЕНТАЛЬНАЯ ЧАСТЬ	142
	3.1. Коммерческая база ChemBridge	142
	3.2. Молекулярный докинг	142
	3.3. Анализ межмолекулярных взаимодействий	142

4. ЗАКЛЮЧЕНИЕ	143
5. ЛИТЕРАТУРА	144
6. ПРИЛОЖЕНИЯ	160

ПРИНЯТЫЕ СОКРАЩЕНИЯ

В настоящей работе применяют следующие термины с соответствующими определениями:

ABX-EGF Панитумумаб

AEE788 Ингибитор EGFR

Аѕр Аспарогиновая кислота

АТР Аденозинтрифосфат

А431 Клеточная линия (плоскоклеточного

рака)

bcr-abl Гибридный белок

СD64 Кластер дифференциации 64

(мембранный белок)

СІ-1033 Канертиниба

Суѕ Цистеин

delL747-P753insS Мутант удаления

EGFR Рецептор эпидермального фактора роста

(также известный как ErbB-1/HER-1,

ErbB-2/Neu/HER-2, ErbB-3/HER-3, ErbB-

4/HER-4, EGF)

EGFRvIII Мутант рецептора III типа EGFR

erbВ Семейство тирозинкиназных рецепторов

(erbBs)

Fab Участок связывания антигена

FDA Управление по санитарному надзору за

качеством пищевых продуктов и

медикаментов

Gln Глутамин

Glu Глутаминовая кислота

GW572016 Ларатиниб

НКІ-272 Нератиниб

IC₅₀ Концентрация 50% ингибирования

IgG1/IgG2 Иммуноглобулин G

Leu Лейцин

Lys Лизин

L858R Mytaht

MAbs Моноклональные антитела

MDX-447 Биспецифическое антитело

Met Метионин

NSCLC Немелкоклеточный рак легкого

PKI166 Специфический ингибитор EGFR

Phe Фенилаланин

QSAR Поиск количественных соотношений

структура-свойство

3D-QSAR Трёхмерное моделирование

RNai РНК-интерференция

RTК Рецепторная тирозинкиназа

ТGF-α Трансформирующий фактор роста-α

Thr Треонил

Т766М Мутант

SAR Соотношение структура-свойство

Scr Прото-онкоген

STATs Активаторы (сигнальных путей)

транскрипции

ВВЕДЕНИЕ

Одной из важнейших задач современной медицинской химии является поиск низкомолекулярных органических соединений, несущих положительный фармакологический эффект. Ярким примером изыскания подобного рода веществ является поиск высокоэффективных ингибиторов протеинкиназ, эффективных протираковых агентов для таргетной терапии. Среди направлений поиска ингибиторов киназ можно выделить как целенаправленное конструирование новых молекул, в случае наличия структурных данных для биологической мишени, так и поиск среди многочисленного химического разнообразия коммерчески доступных соединений.

Представленная работа посвящена высокопроизводительному молекулярному докингу библиотеки коммерчески доступных (ChemBridge) низкомолекулярных гетероциклических соединений и ставит своей целью поиск базовых структурных элементов (скаффолдов) высокоаффинных ингибиторов киназ семейства рецепторов эпидермального фактора роста. Для поставленной цели исследования были достижения решены следующие задачи:

- 1. Построение библиотеки структур коммерчески доступных (ChemBridge) низкомолекулярных гетероциклических соединений;
- 2. Проведение высокопроизводительного молекулярного докинга для полученной библиотеки структур;
- 3. Анализ полученных результатов молекулярного докинга и фильтрация полученных соединений с помощью правил Липински.
- 4. Построение фокусной библиотеки потенциальных drug-like лигандов и анализ основных межмолекулярных взаимодействий белок-лиганд.

1. ЛИТЕРАТУРНЫЙ ОБЗОР

Традиционные подходы К химиотерапии рака помощью цитостатических препаратов тормозятся из-за отсутствия эффективности, тяжелой токсичности и развития лекарственной устойчивости. Эти ограничения вызвали заинтересованность в развитии таргетной терапии, чтобы свести к минимуму токсичность для здоровых тканей. Один из подходов использует характеристическую особенность опухолевых клеток, ориентируясь на аберрантный сигнал рецепторов фактора роста. Семейство рецепторов erbB состоит ИЗ четырех представителей: рецептор эпидермального фактора роста (EGFR, также известный как ErbB-1/HER-ErbB-2/Neu/HER-2, ErbB-3/HER-3, И ErbB-4/HER-4, принадлежат к I типу класса рецепторных тирозинкиназ (RTK). Они играют важную роль, как посредники, передачи сигналов фактора роста [1,2]. Аномальная передача сигналов этих путей приводит к нерегулярной пролиферации клеток, уклонению от апоптоза, ангиогенезу, миграции и метастазированию, всем явным характеристикам раковых клеток Избыточная экспрессия EGFR и HER-2 наблюдается многих злокачественных опухолях человека, включая рак мочевого пузыря, молочной железы, толстого кишечника и рак легких [3-5]. Сильная корреляция была обнаружена между солидными опухолями с высоким уровнем EGFR и HER-2 и плохим прогнозом выживаемости [7-9]. Этот обзор освещает создание лекарств и прогресс в области получения ингибиторов RTKs для терапии рака.

1.1. EGFR/HER - 2 И РАК

С 1980-х годов, когда EGFR была предложена в качестве потенциальной противоопухолевой мишени, обширные клинические данные за многие годы, связанные с EGFR и HER-2 в канцерогенезе укрепили обоснованность использования EGFR и HER-2 для химиотерапии рака. В нормальных клетках экспрессия EGFR составляет от 40 000 до 100 000 рецепторов на клетку [10]. В противоположность этому, EGFR

сверхэкспрессируется в большинстве твердых опухолей, включая рак молочной железы и рак яичников, рак толстой кишки, рак головы и шеи, а также немелкоклеточный рак легкого (NSCLC) [11], в некоторых случаях, например, рак молочной железы выражается до 2×10⁶ EGFR рецепторов на клетку [12-13]. Избыточная экспрессия HER-2 также происходит в 25%-30% случаев рака молочной железы, и ассоциируется с плохим прогнозом и уменьшением выживания [9]. Меньший процент случаев рака мочевого пузыря, рака поджелудочной железы, а также глиомы, сверхэкспрессируют **EGFR** [7]. Такая сверхэкспрессия производит более активированные сигнальные пути, что приводит к очень агрессивным, инвазивным и метастатическим раковым образованиям [8]. В NSCLC, EGFR избыточно 40%-80% 84% случаев [14] И экспрессируется плоскоклеточным гистологическим тестом положительным для EGFR [15]. Канцерогенез дисрегуляции из-за EGFR происходит с помощью различных включая рецептор, а также сверхэкспрессию лиганда, механизмов, измененный процесс димеризации, дефицит специфических фосфатаз, мутации и пониженный оборот рецепторов.

1.2. Структура и функции

Рецептор эпидермального фактора роста (EGFR), был первым членом erbB, который наиболее семества был широко изучен также охарактеризован. Эти рецепторы представляют собой одноцепочечные трансмембранные полипептидные белки, обладающие тремя различными областями: (1) внеклеточный домен, который связывается с лигандами, которые активируют рецептор, (2) трансмембранный домен, который участвует в димеризации взаимодействия между рецепторами, и (3) внутриклеточный домен тирозинкиназны, который фосфорилирует остатки тирозина на субстратных белках. Цитоплазматический домен также состоит ИЗ карбокси-концевого хвоста, содержащий места автофосфорилирования тирозина, которые связывают эти рецепторы с белками, содержащими Src гомологи 2 и фосфотирозин-связывающие домены [16]. Затем эти белки активируют множество молекул сигнальной трансдукции, включая протеинкиназы В (РКВ или Akt), тирозин-киназы Src, стресс-активированные протеинкиназы, С-Jun-киназы, сигнальные датчики и активаторы транскрипции (STATs) [2]. Процесс сигнальной трансдукции, показан на Рис. 1. В дополнение к активации рецептора, связывание лигандов инициирует интернализацию рецепторов для прекращения сигнала.

1.2.1. Внеклеточный Домен

Есть шесть известных эндогенных лигандов EGFR: рецептор эпидермального фактора роста (EGF), трансформирующий фактор α-роста, амфирегулин, бетацеллюлин, гепарин-связывающий EGF и эпирегулин [17связывания лиганда доменом, c внеклеточным конформационное претерпевает изменение, которое позволяет активировать либо гомодимеризацию или гетеродимеризацию с другими членами семейства erbB и фосфорилировать несколько остатков тирозина в карбоксильной области. Внеклеточный домен необходим для димеризации [19,20], в то время как некоторые исследования предполагают, что, кроме того, активация киназы требует ассоциацию цитоплазматических доменов с димеризацией рецепторов [19-21].

Опубликованные кристаллические структуры внеклеточных доменов EGFR, HER-2 и HER-3 показывают, что они состоят из четырех субдоменов (I-IV) [22-24]. Они также обеспечили некоторое понимание процесса лиганд-индуцированной димеризации семейства erbB рецепторов. Лиганд, связанный структурой EGFR [25] показывает, что домены I и III, имеют важное значение для связывания лиганда; выступающее плечо домена II от одной молекулы EGFR выступает в качестве контактного пункта для другого мономера EGFR, и наоборот. Димер EGFR образован двумя лиганд-рецепторными комплексами 1:1 [26,27]. В неактивном виде EGFR [22] домены II и IV взаимодействуют, в то время как домены I и III Это "закрытая" отталкиваются друга. упоминается как друг OT

конформация, которая претерпевает значительную перегруппировку "открытой" конформации после связывания лиганда (Рис. 2) [28,29]. У неактивационной формы HER-3 имеются аналогичные структурные характеристики [24].

Структура внеклеточного домена HER-2 отличается от EGFR и HER-3 в том, что она существует в одной конформации [23,25], которая похожа на активированный-лиганд "открытой" конформации EGFR. К тому же, в этой "открытой" конформации, домены I и III, слишком близки к пептидам EGF, для связывания [25]. Это также объясняет тот факт, что HER-2 не идентифицированный родственный лиганд. Кроме этого, HER-2 не гомодимеризуется из-за сильного электростатического отталкивания [25] между возможными контактными участками на HER-2. Таким образом, гетеродимеризация с другими лигандами, связанных erbB рецепторами необходима для HER-2 активации [30]. HER-3, который имеет ослабленный домен [31] киназы, также требует гетеродимеризацию для активности. HER-2/HER-3 гетеродимеры, которые приводятся движение В нейрегулином, являются наиболее распространенными и эффективными комплексами [32].

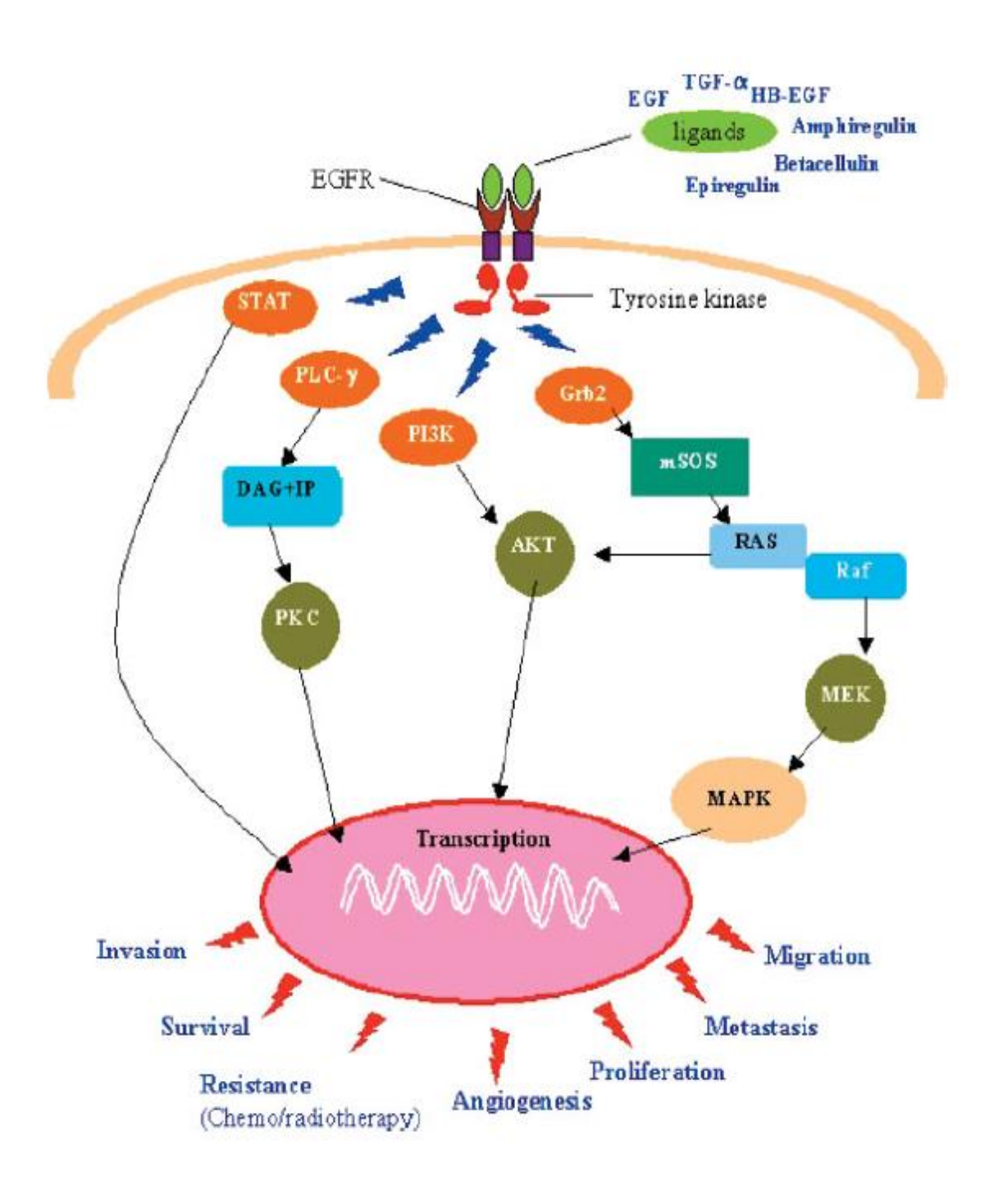


Рисунок 1 - Процесс передачи сигналов, опосредованный EGFR.

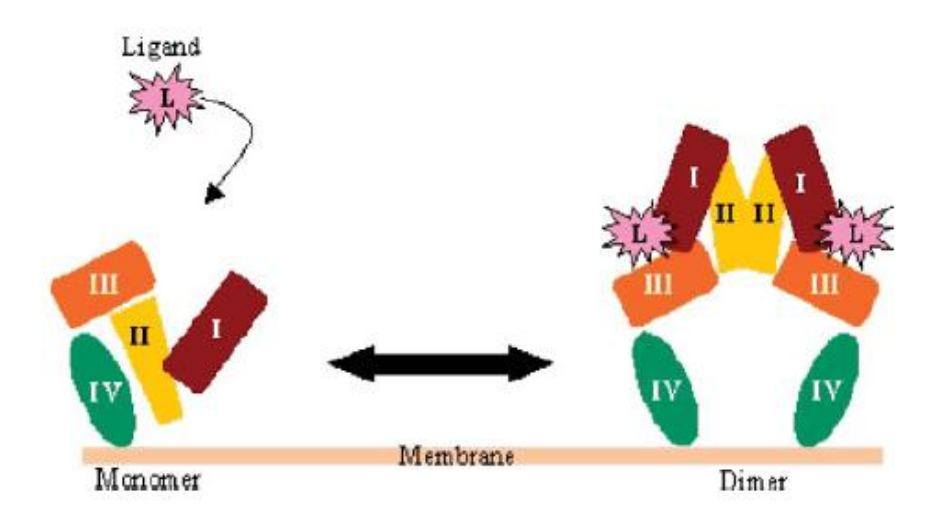


Рисунок 2 - Димеризация внеклеточного домена EGFR при связывании лиганда.

1.2.2. Домен тирозинкиназы

Члены семейства erbB имеют высокую степень структурной гомологии и идентичной последовательности в домене тирозинкиназы. Среди членов семейства erbB, доступна только кристаллическая структура домена киназы EGFR [33,34]. Как и в случае всех ранее описанных доменов протеинкиназы, домен киназы EGFR (Рис. 3) принимает структуру двудольную. *N*-концевая доля формируется в основном из β-листов (пять) и одной α -спирали, тогда как C-концевая доля содержит в основном α спирали. АТР связывается в расщелину, образованную между двумя лопастями. Щель имеет четыре важных структурных элемента: петлю, каталитическое место, цикл активации и карман специфики киназы. Шарнир состоит из последовательности TQLMP (остатки 766-770), и взаимодействие с основной цепью NH метионина в шарнире важно для связывания с сайтом АТР, как для АТР, так и для ингибиторов. Каталитическое место является хорошей консервативной последовательностью, HRDLAARN (остатки 811-818). Аспартат является каталитическим остатком, который переносит фосфат от АТР к тирозинам в субсратах. В HER-3 этот аспартат заменяется аспарагином, что приводит к

неактивности киназы [31]. Соседняя последовательность DFG (остатки 831-833) имеет важное значение для координации АТР. Аспартат в Mg^{2+} связывает последовательности который, свою очередь, координирует β- и у-фосфатные группы ATP. Lys721 представляет собой консервативный остаток в EGFR, а также все другие протеинкиназы, образующие ионные пары с фосфатами АТР. Цикл активации начинается с последовательности DFG. В большинстве протеинкиназ цикл активации принимает каталитически активную конформацию после того, как тирозину или треонину в петле удается фосфорилироваться [35-37]. Цикл активации в кристаллических структурах домена EGFR киназы принимает конформацию, похожую на 'активную' форму без необходимости фосфорилирования, что согласуется с наблюдением, что тирозин в цикле может быть заменен фенилаланином без потери активности тирозинкиназы [38]. Цикл активации EGFR (EEKEYHAE, остатки 841-848) содержит четыре остатка глутамата, и эти отрицательно заряженные группы могут имитировать отрицательно заряженный фосфат в петле активации, тем самым сохраняя его в 'активную' конформацию. Карман специфики киназы является карманом, выровненными боковыми цепями остатков Met742, Cys751, Leu764, Thr766, Thr830, Phe832, и часть Lys721. ATP не взаимодействует с остатками в этом кармане, но карман имеет важное значение для связывания ингибиторов на участке АТР. Фрагменты взаимодействуя с этим карманом модулируются селективностью и/или ингибиторной активностью антагонистов участка АТР.

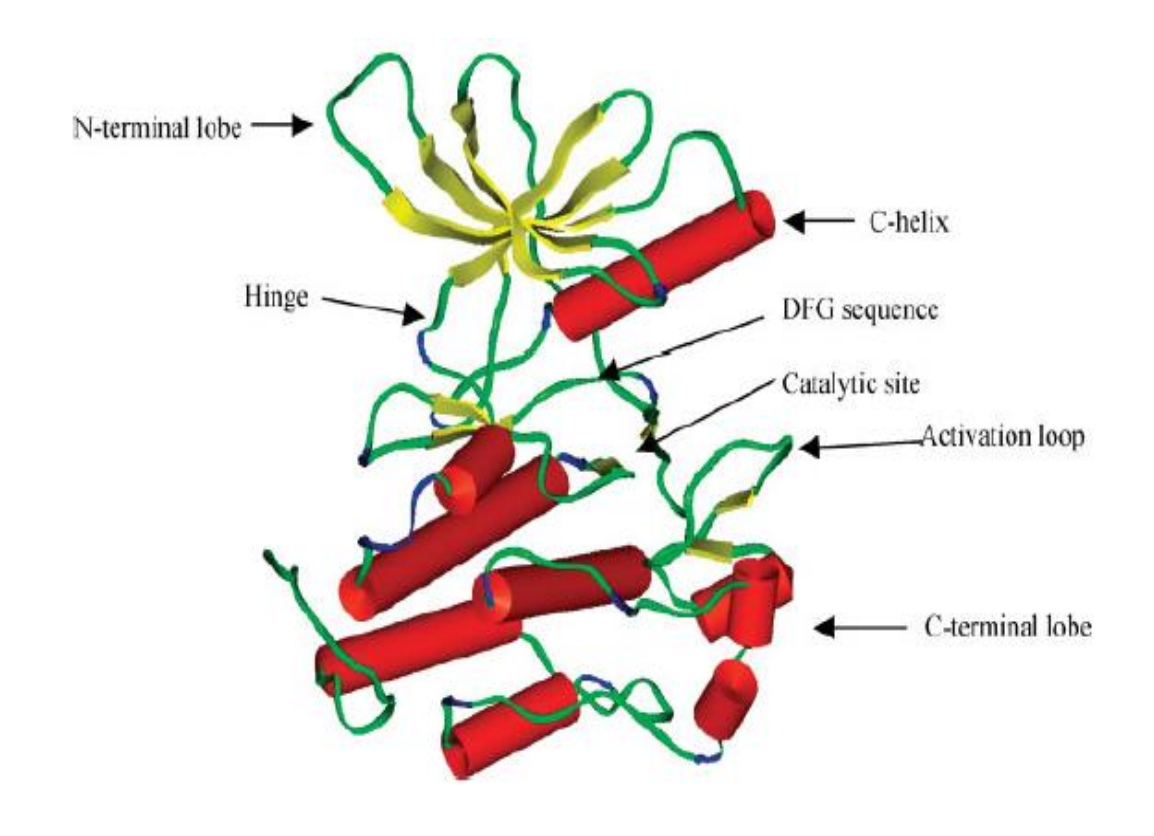


Рисунок 3 - Домен тирозинкиназы EGFR.

1.3. Фармакологические стратегии ингибирования erbB передачи сигналов

Различные подходы могут быть использованы для ингибирования семейства erbB. (1) c рецепторов такие как: использованием моноклональных антител (MAbs), которые связывают внеклеточный домен рецептора и конкурируют с эндогенными лигандами, которые активируют рецептор; (2) с использованием малых молекул, ингибирующих активность киназы путем связывания на внутриклеточном домене тирозинкиназы; (3) с помощью иммунотоксина, конъюгаты для доставки токсинов посредством выявления рецептора erbB; (4) уменьшение экспрессии EGFR c использованием антисмысловых олигонуклеотидов или RNAi; и (5) блокирование передачи сигналов EGFR путем ингибирования адаптерных белков. Первые два подхода являются наиболее популярными и были наиболее широко изучены ДЛЯ химиотерапии рака, которая сверхэкспрессирует семейство рецепторов erbB.

1.3.1. Моноклональные антитела

1.3.1.1. Анти-EGFR антитела

EGFR блокады с использованием EGFR-спецефицеских MAbs были одними из самых ранних подходов к ориентации аномальных сигналов **EGFR** [39,40]. Анти-EGFR MAbs, 528 и 225 представляют собой две мышиные MAbs которые показали перспективность в различных вариантах in vivo моделей [39,40]. Они конкурируют с EGF и TGF-а связывающимися с EGFR аналогичным сродством. Кроме того, было показано, что эти антитела могут выступать в сочетании с обычной противораковой терапией [41,42]. Высокий уровень человеческих химерных антител ограничивает их использование, так как снижается их эффективность. Чтобы преодолеть это 225 ограничение, человек-мышь MAb (IMCC225, химерная цетуксимаб:ImClone Systems), которая содержит человеческую область IgG1 постоянно улучшалась [43,44].

Цетуксимаб связывается с EGFR с большим сродством (K_d = 0.39 nM), чем MAb 225 [45,46]. Хорошо переносился отдельно и в сочетании с другими химиопрепаратами и лучевой терапией при лечении рака головы и шеи, рака толстой кишки и NSCLC [39,40,47-51]. Основные побочные эффекты включают тошноту, повышение температуры, повышение ферментов печени, аллергию и кожную реакцию. Добавление цетуксимаба к терапии цисплатином увеличивало скорость реакции, но не продлевало общее время выживания без свободной прогрессии [52].

АВХ-ЕGF является полностью гуманизированным IgG2 MAb с более высокой способностью к связыванию с EGFR, чем цетуксимаб [53]. В моделях ксенотрансплантатов, ABX-EGF производил полное искоренение некоторых опухолей с высокой экспрессией EGFR [54,55]. EMD 72000 и h-R3 представляют собой другие гуманизированные MAb, которые были показаны для подавления роста опухолей с гиперэкспрессией EGFR [56,61]. ICR62, мышиный MAb обладает антипролиферативным действием против EGFR положительных опухолей [62,63]. Оба ICR62 и

радиоактивный h-R3 показывают большую локализацию опухолевых тканью [62,64]. мембран над нормальной Синергический эффект может быть получен при использовании цитотоксический радиоактивно меченого h-R3 в комбинации с лучевой терапией в более низкой В **EGFR** положительных опухолях [65]. MDX-447, дозе биспецифическое антитело, содержащее гуманизированный Fab анти-CD64 и гуманизированный Fab анти-EGFR, имеет усиленный двойной механизм действия [66]. Это антитело связывается одновременно с EGFR на опухоле и CD64 на моноцитах и макрофагах, тем самым повышая зависимую от антител клеточно-опосредованную токсичность [67,68]. Сшитый пептид анти-CD64 / EGF (H22-EGF) представляет собой альтернативную стратегию клеточно-опосредованной достижения токсичности отношению к EGFR-положительным опухолям [69]. В этом случае эндогенный лиганд EGF способен связываться с CD64, выражая цитотоксические эффекторные клетки опухолей, экспрессируя EGFR.

1.3.1.2. Анти-НЕR-2 антитела

Трастузумаб [70,71] (Герцептин) представляет собой полностью гуманизированное моноклональное антитело, которое связывается с внеклеточным доменом HER-2 и имеет антипролиферативную активность против рака молочной железы с гиперэкспрессией HER-2. Герцептин действует несколькими путями, в том числе опосредованной токсичностью предотвращая передачу сигналов, также содействие интернализации рецепторов [72-74]. Герцептин также ингибирует активацию HER-2, вызывая расщепление околомембранной области внеклеточного домена [75]. Анадиз кристаллической структуры Герцептина связаной с внеклеточной областью HER-2 обеспечивает более четкое представление о взаимодействиях [23]. Герцептин-связывающий участок, подобных гомологичных охватывает карманную структуру, связывает карман домена II, другие рецепторы erbB и это связывание с околомембранними результатами области в формировании стерического

барьера для взаимодействия с трансмембранной областью, может потребоваться для оптимальной передачи сигналов [76]. Герцептин не в состоянии предотвратить гетеродимеризацию HER-2, как участок связывания Герцептин не участвует в димеризации [23].

Пертузумаб [71] (2C4) другое антитело, которое связывает внеклеточный домен HER-2 вблизи центра домена II, на участке, отличным от трастузумаба [77]. Предполагается, что это связывание стерически блокирует область, необходимую для димеризации HER-2 с другими erbBs [78]. В отличие от Герцептина, Пертузумаб способен подавлять опухоли с низким уровнем HER-2, поскольку он предотвращает аутокринные и HER-2 панкреатические полученные лиганды OT индукции гетеродимерах [78]. Важно отметить, что Пертузумаб эффективен при лечении опухолей, чувствительных к Герцептину и может синергически ингибировать раковые клетки молочной железы при использовании в комбинированной терапии [79] с Герцептином.

1.4. Ингибиторы тирозинкиназы

Вначале считалось, что сайт ATP в домене тирозинкиназы является плохой мишенью из-за присутствия большого количества протеинкиназ и других ферментов, которые используют ATP в качестве субстрата, что может привести к трудностям при конструировании специфических ингибиторов. Этот тезис был развеян с открытием и проектированием различных малых молекул ингибиторов с целым рядом особенностей. Это открыло эру низкомолекулярных ингибиторов протеинкиназ, которые связываются с ATP сайтом. Хотя сайты ATP в киназах довольно гомологичны, имеются незначительные различия в облатях на сайте, которые не являются критическими для связывания ATP, которые могут быть использованы для разработки специфических ингибиторов. Одной из таких областей, которая была использована в протеинкиназе является карман специфики киназы (Рис. 4). В зависимости от остатков, которые выравнивают эту область или вход в эту область (Thr в случае EGFR и

HER-2) сайт является либо доступным либо нет, или имеет другую форму, или физико-химические свойства могут быть значительно достаточными для разработки специфических ингибиторов против различных киназ. Несколько классов низкомолекулярных ингибиторов, которые были рассмотрены для разработки анти-EGFR и/или анти-HER-2 терапевтических средств рассматриваются ниже.

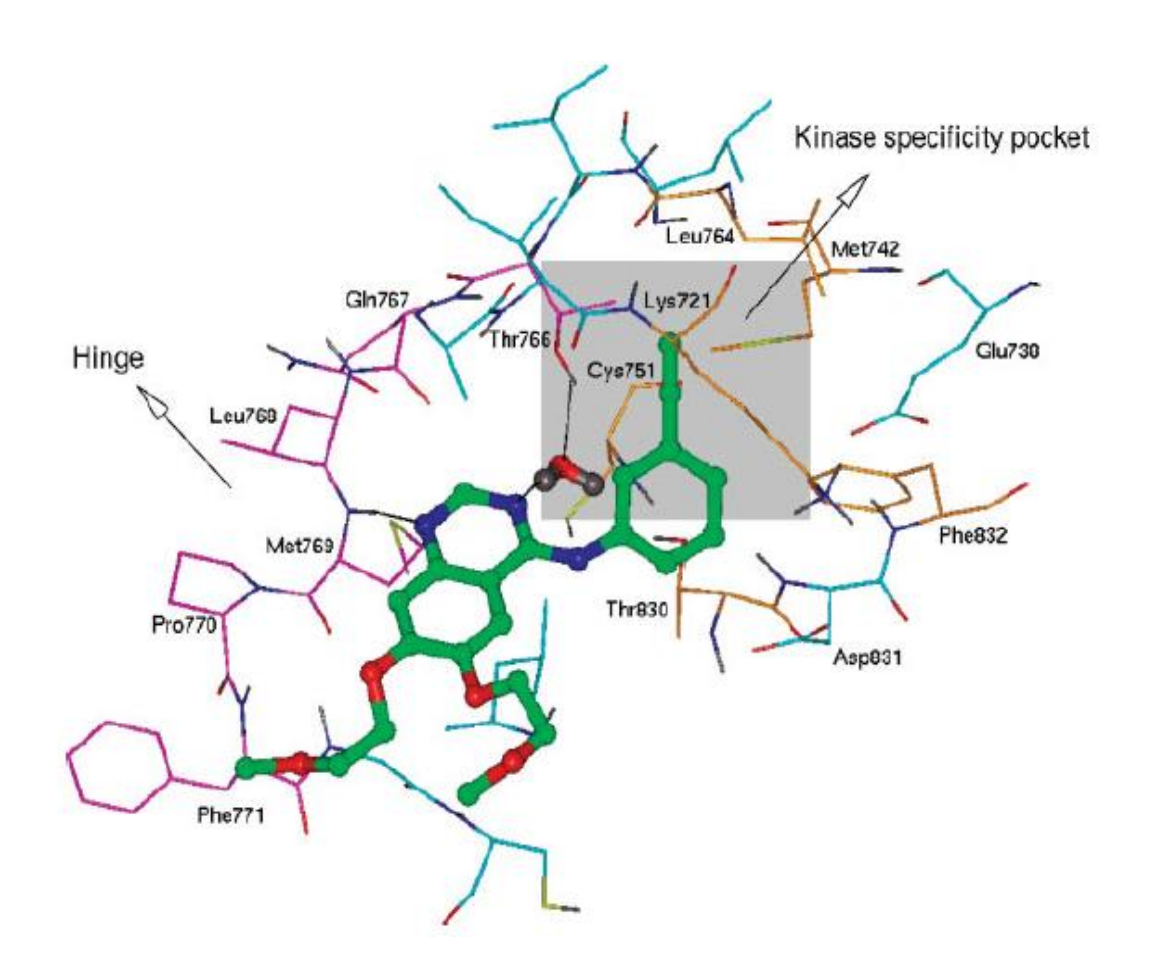


Рисунок 4 - Способ связывания Тагсеva в АТФ-связывающем участке EGFR. Остатки, образующие шарнирную область, показаны пурпурными, тогда как те, выстилающие карманы специфичности киназы, окрашены в оранжевый цвет. Серая коробка указывает положение кармана специфичности киназы. Тагсеva показана как мяч и стик. Водороды не показаны для ясности.

1.4.1. 4-анилинхиназолины

Из-за их высокой эффективности 4-анилинохиназолины являются наиболее классом препаратов, нацеленных важным тирозинкиназы EGFR и HER-2 [80,81]. Iressa, (1, гефитиниб) и Tarceva (2, двумя препаратами, одобренные FDA эрлотиниб) являются клинического применения при раке с гиперэкспрессией EGFR. Оба гефитиниб и эрлотиниб ингибируют EGFR с IC₅₀ значений в диапазоне 1-30 nM, В зависимости OT используемой системы анализа [82-84]. Соответствующие значения IC₅₀ для ингибирования HER-2 в 100 раз выше [82,84]. Общим побочным эффектом для обоих препаратов является возникновение поражений кожи угрями [85,86]. GW572016 (3, Лапатиниб) находится в стадии клинической разработки как мощный двойной ингибитор EGFR ($IC_{50} = 10.8 \text{ nM}, K_i = 3 \text{ nM}$) [87] и HER-2 ($K_i = 13 \text{ nM}, IC_{50}$ = 9.2 nM) [87] киназ (Рис. 5).

Рисунок 5 - 4-анилинхинозалины

3

1.4.1.1. Характеристика связывания 4-анилинохиназолинов

Была определена кристаллическая структура домена EGFR тирозинкиназы (pdb код 1M14) [33] и его комплекса с Tarceva (PDB код 1M17, Рис. 4) [33] и лапатинибом (pdb код 1XKK) [87]. В кристаллической структуре комплекса Tarceva-EGFR, N1 хиназолиновые водородные связи с Met769 NH, и N3 взаимодействуют с боковой цепью Thr766 через водяной мостик. С2 и С8 хиназолиновые кольца расположены близко к основе карбонилов Gln767 и Met769, соответственно. Водород присоединеный к C2 является кислым, гипотетически образуя уникальный СН · · · О тип [88] водородной связи с карбонилом Gln767. Анилино группа ориентирована таким образом, мета-заместитель направлен карману специфики К Кристаллическая структура лапатиниба, связанного с EGFR, подтверждает, что крупные анилинозаместители также входят в карман специфики киназы [87]. В этом случае активность кармана киназы отличается по размеру от того, что в кристаллической структуре комплекса Tarceva-EGFR. Большой анилиновый заместитель индуцирует резкое конформационное изменение в АТР-связывающем сайте, положение С-спирали и структуру водородной связи с хиназолиновым кольцом. Связывающая АТР расщелина является относительно закрытой, и *N*-концевая лопасть вращается приблизительно при 12° по отношению к комплексу рецептора EGF- Tarceva. Карман специфики киназы больше, чем в апо-форме или в комплексе EGFR-Тарцева. Большой карман образуется в результате сдвига приблизительно на 9Å в одном конце С-спирали, в результате корректировок, чтобы приспособить фторбензильную группу лапатиниба. В результате этого сдвига, весьма консервативное взаимодействие солевого мостика Glu738-Lys721 теряется и Lys721 взаимодействует с боковой цепью Asp831, тогда как боковая цепь Glu738 указывает на растворитель. Карбоксильный конец EGFR, который плохо определен и слабо связан в случае комплекса EGFR-Tarceva, хорошо определен и упакован вдоль шарнирной области и блокирует переднюю часть связывающей АТР расщелины. Остатки 834-838 в петле активации образуют короткую спираль, которая является частью С-

спирали, в то время как, остальная часть петли разупорядочена, которая резко контрастирует с хорошо определенной петлей и отсутствием такой спирали в комплексе EGFR-Тарцева. N1-атом хиназолина принимает водородную связь от основания NH Met769, тогда как N3 образует водородную связь, опосредованную водой, с боковой цепью Thr830. Боковая цепь Thr766 ориентирована от хиназолинового кольца и водородных связей с основой карбонила Arg752.

1.4.1.2. Структура активности отношений **4-**анилинохиназолинов SAR хиназолинов приведены на Рис. 6.

Замена N1 и N3 углеродом приводит к снижениию в 3700- и 200кратному снижению ингибиторующей активности, соответственно [89] указывая на важность водородных связей и значительно более низний эффект замены N3 по сравнению с N1. Конструкция ряда хинолин-3карбонитрила [90], в которой N3 был заменен атомом углерода, содержащим цианогруппу, уменьшает расстояние до Thr766 или Thr830, и устраняет необходимость в водяном мосте во взаимодействии с одним или другим из этих остатков. Группа 4-анилин играет важную роль в связывании, а также селективности этих ингибиторов. Для активности предпочтительны небольшие электроноакцепторные липофильные группы, такие как галогены в мета-положении [81]. Арильные или арилалкильные замещенные анилины, содержащие фенильную или бензильную группу, повышают эффективность HER-2, в то же время сохраняя эффективность EGFR в некоторых случаях, но значительно снижая ингибирующую активность **EGFR** случаях [82,91,92]. Существенная во многих селективность между EGFR и HER-2 может быть достигнута путем изменения заместителя на группу 4-анилин [84,91]. Метилирование анилино группы приводит к резкому снижению активности, возможно, изза неспособности анилино группы достинуть биологически активной конформации в результате стерических затруднений между *N*-метил и H5 хиназолиновым кольцом [93]. Замещение атомов водорода в С2 или С8 метилом или метокси группами приводит к потере ингибирующей активности вследствие стерических столкновений [89].

Различные исследования молекулярного моделирования дали понимание структурных особенностей, которые повышают ингибиторную активность и предоставляют теоретические модели для прогнозирования деятельности этого класса соединений [94-97]. Chen и др. [94] провели исследования 3D-QSAR на структурно разнообразный набор соединений, которые могли бы помочь в разработке новых ингибиторов EGFR со разнообразием. Использование структурным нового рецептора управляемого структурным выравниванием, введенным Assefa и др. [95] включает в какой-то степени лиганд-рецептор, индуцируемый подгонкой эффектов в модель 3D-QSAR для 4-анилинохиназолинов представляющего собой значительное улучшение по сравнению с обычными исследованиями QSAR [96], поскольку выравнивания основаны на состыковывающейся В Другие теоретические ориентации лигандов активном центре. исследования показали, что объемные заместители допускаются в 6-м положении, а не в 7-м положении [97].

Рисунок 6 - Структурные зависимости активности 4-анилинохиназолинов.

1. Более объемные заместители усиливают ингибирование HER-2.

- 2. Малая электроноакцепторная липофильная группа увеличивает ингибирование EGFR и HER-2.
- 3. Взаимодействует с Thr766 или Thr830; замена С уменьшает активность; может быть заменен на C-CN.
- 4. Взаимодействует с Gln767; заместители уменьшают ингибирование.
- 5. Критическое взаимодействие водородной связи с NH Met769; замена С приводит к потере активности.
- 6. Замещение приводит к потере активности.
- 7. Проекты в растворителе; усилиление активности доноров электронов.
- 8. Субъекты, жертвующие электрон, увеличивают активность; алкилирование групп для необратимых ингибиторов.
- 9. Важен для достижения биоактивной конформации; резкое снижение активности при метилировании.

1.4.2. Дизайн необратимых ингибиторов

Один из подходов, чтобы получить пролонгированную активность селективного ингибитора киназы является превращение ее в необратимый ингибитор путем включения групп, которые могут специфически алкилировать остатки близко к участку АТР (Рис. 8). В исследовании молекулярного моделирования [98] было предложено, что в режиме связывания, проявляемом хиназолинами, заместитель в 6-м положении приближается к -SH в Cys773 с точностью менее чем 3Å. Это экспериментально подтверждалось [98] быстрым образованием продукта присоединения, в часности, с Cys773 EGFR и его аналогами в HER-2. Необратимые ингибиторы, такие как СІ-1033 (4), реагируют только тогда, когда связаны внутри кармана АТР после того, как реакционный конец акриламида был введен в область нуклеофильного Cys773, тем самым сохраняя его специфичность. СІ-1033 ковалентно связывался бы только с EGFR, HER-2 и HER-4, но не с HER-3, который имеет серин вместо критического цистеина, но передача сигнала через HER-3 эффективно блокируется после CI-1033, из-за отсутствия каталитически

активных партнеров гетеродимеризации [99]. НКІ-272 (6) представляет собой селективный HER-2 ингибитор с IC_{50} 59 и 92 $\,$ nM для Her-2 и EGFR $\,$ ингибирования, соответственно [100]. Необратимая стратегия ингибитора была изучена путем разработки ингибиторов, которые включают различные алкилирующие заместители, такие как акриламид, бутинамид кротиламид В желаемое положение хиназолины (4),на хинолинкарбонитрилы (5) и пиридопиримидины [98,99,101-106] (Рис. 7). Добавление фрагмента диалкиламина в конце кротонамида увеличивает активность соединений, поскольку этот солюбилизирующий фрагмент выступает основного катализатора воды также В качестве внутримолекулярной реакции Михаэля абстрагируя сульфгидрильный протон Cys773 через циклический пятичленный кольцевой механизм (Рис. 8)[105].

4 (CI-1033)

N O HN CI HN CN

5 (EKB-569)

Рисунок 7 – Необратимые ингибиторы

6 (HKI-272)

$$\stackrel{\mathsf{H}}{\longrightarrow} \stackrel{\mathsf{N}}{\longrightarrow} \stackrel{\mathsf{N}}{$$

Рисунок 8. Необратимое образование аддукта между группой кротонамида и цистеином.

1.4.3. Пиридопиримидины и пиримидопиримидины

Представители ряда пиридо[d]пиримидина показали сильную ингибирующую активность по отношению к изолированной EGFR, показывая различия между различными изомерами [107]. В общем случае, [4,3-d] (7; $IC_{50} = 0.13$ nM) и [3,4-d] (8; $IC_{50} = 0.008$ nM) соединения имели самую высокую активность среди ряда, за которой следуют [3,2-d] (10; IC₅₀ = 3.1 nM) аналоги, в то время как [2,3-d] (9; $IC_{50} = 52$ nM) соединения имели самую низкую активность. Пиримидо[5,4-d]пиримидиновый аналог (11; $IC_{50} = 0.76$ nM) имел активность, которая является промежуточной между пиридо[3,4-d]- и пиридо[3,2-d] пирмидинами. Была обнаружена положительная корреляция между способностью соединений ЭТИХ ингибировать аутофосфорилирование **EGFR** A431 клетках ингибирующей активностью В анализе выделенных ферментов. Кристаллографическое исследование [108] соединений 8, 10, и 11 указывает на то, что конформация 11 близко напоминает 10 по сравнению с 8 из-за отсутствия сильно несвязанных взаимодействий между Н5 и анилино NH в 8. Кроме того, значительно насыпной допуск в 6-м иримидо[5,4-d]пиримидина, положении ряду виден на чем свидетельствует тот факт, что соединение 12 было лучше, чем 11 в анализе цельных клеток (11, $IC_{50} = 30 \text{ nM}$; 12, $IC_{50} = 3.1 \text{ nM}$) [108] (Рис. 9).

Рисунок 9 – пиридопиримидины и пиримидопиримидины

1.4.4. Трициклические хиназолины и пиримидины

Несколько конденсированных трициклических хиназолинов аналогов пиримидина, также оценивали по их способности ингибировать [109,110]. Наиболее сильным соединением был имидазо[4,5-g]хиназолин **13**, который обнаруживал IC_{50} 0.008 nM (8 pM) для ингибирования фосфорилирования фрагмента фосфолипазы С-у1 в качестве субстрата. Аналог 13 N-метил и соединение 14 показали одинаковую эффективность. Линейные пиразолохиназолины (15 и 16) $(IC_{50}$ s 0.34 и 0.44 nM, соответственно) и пирролохиназолин **17** $(IC_{50} 0.44$ nM) имели хорошую ингибиторную активность, тогда как триазоло, пиразинохиназолины **(18,** 19 И **20**) обладают низкой тиазолоактивностью. В серии имидазохиназолина и пирролохиназолина (21 и 22), соответствующие нелинейные изомеры занимают довольно низкое место по своей активности. Среди трициклических пиримидинов, соединения с бензотиено[3,2-d]пиримидиновым ядром (25, IC₅₀ = 1.8 nM) имели лучшую активность, а затем соединения с [2,3-d]пиримидином ядром (24, IC₅₀ = 31 nM). Индоло[3,2-d]пиримидиновый аналог 23, в два раза менее эффективен, чем его изомер 24. Тиазолотиено[3,2-d]пиримидин 27, имеет IC₅₀ 40 nM. Оба, пиридотиено[3,2-d]пиримидиновый аналог 26 и бензофурано [3,2-d] пиримидиновый аналог 28, имеют аналогичные активности с более высоким значением IC₅₀ 700 nM.

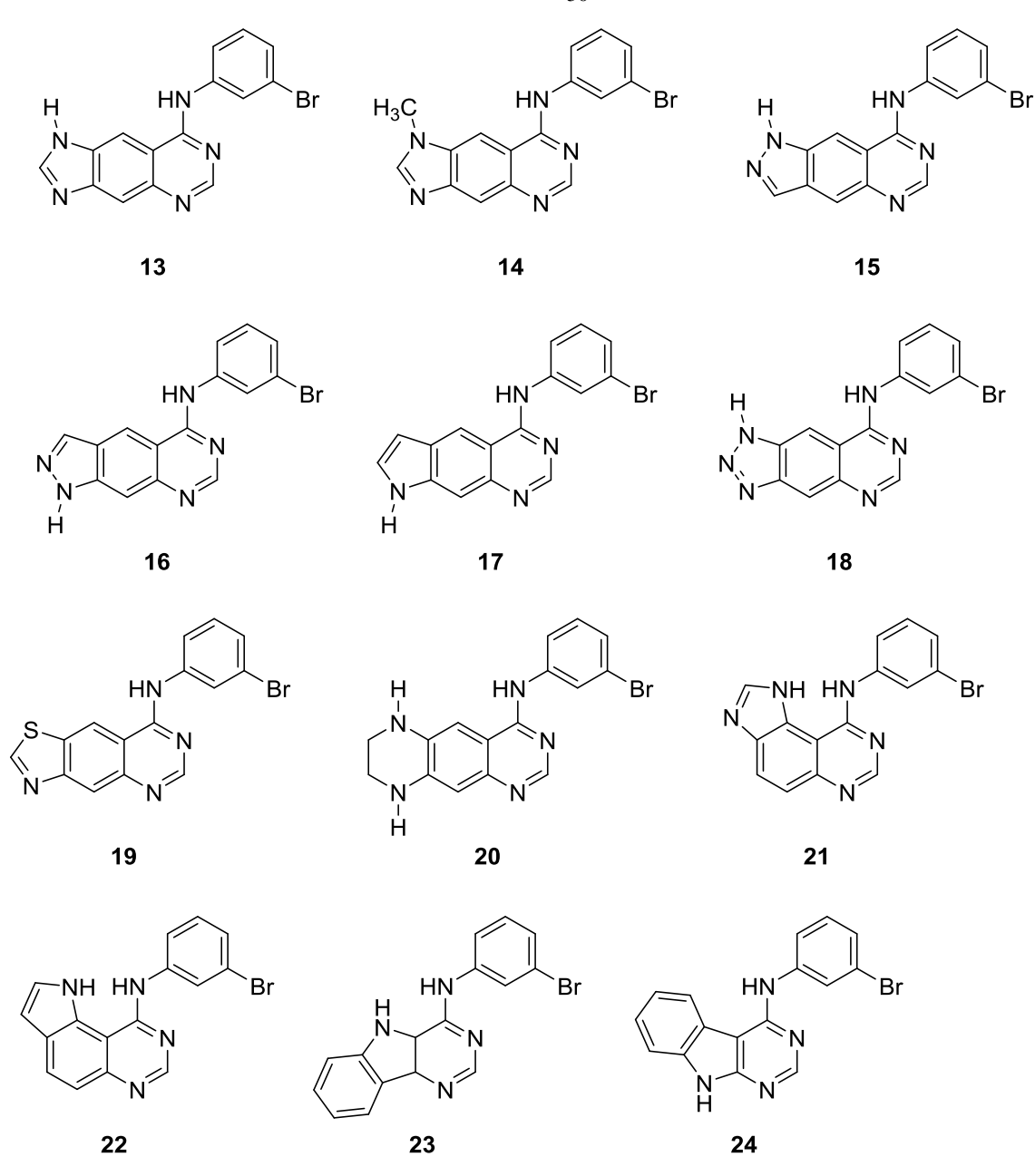


Рисунок 9 – трициклические хиназолины и пиримидины

Рисунок 9 (продолжение) – трициклические хиназолины и пиримидины

1.4.5. Бензилиденмалононитрилы

Osherov и др. [111] показали, что ряды бензилиден-малононитрилов являются конкурентными ингибиторами на ATP-участке EGFR и HER-2, хотя некоторые молекулы были намечаны для того, чтобы конкурировать также на участке основания (Рис. 10). Характерной особенностью бензилиден-малононитрилов является цис-циан фрагмент, который находится в одной плоскости с ароматическим кольцом. Этот фрагмент представляет собой циано важное значение для деятельности erbB [112,113]. Существует размер и конформационный спрос в случае замещения в R2 на примере соединения **30**, которое имеет IC_{50} 10.7 μ M по сравнению с IC₅₀ 0.88 µМ для ингибирования **29** для EGFR. Замещенные амиды **31** и **32** ингибировали EGFR с значениями IC₅₀ в пределах 0.7 и 0.1 иМ соответственно. Все соединения с гидроскил замещеными в R1 и замещенные амиды или кетоны (30-32), как правило, более селективные ингибиторы EGFR [114] по сравнению с HER-2. Арилтиометильные или заместители арилалкилтиометильные R3 В положении селективно увеличивают молекулы по отношению к HER-2 ингибированию, по крайней мере, в два раза [115]. Молекулы **33** и **34** ингибируют HER-2 активность киназы со значениям IC_{50} в пределах 0.2 и 0.35 μ M соответственно, а соответствующие значения IC_{50} для ингибирования EGFR были 0.9 и 19 μ M соответственно (Рис. 12). Отношения структуры деятельности для бензилиден-малононитрилов показаны Рис. 10.

Kamath и Buolamwini [116] провели исследования 3D-QSAR на основе рецепторов, руководствуясь выравниванием из состыкованных конформаций ЭТИХ бензилиден-малононитрилов, И приписали селективность метилтио замещенных соединений с их уникальным обязывающим который отличается соединений режимом, OT заместителей в R3. Стыковочным исследованием этих соединений цианогруппа образует водородные предположено, ЧТО связи критическими остатками в ферментах (Met769 и Cys751 в EGFR) в зависимости от режима связывания, и что введение цианогруппы и карбонильных остатков, в кольцевой системе (см. Рис. 11) может улучшить их сродство к связыванию.

Рисунок 10 - Структурные зависимости активности бензилиденмалононитрилов.

- 1. Кето, амиды или замещенные амиды. Заместители в целом увеличивают активность; Большие заместители, по-видимому, увеличивают ингибирование EGFR.
- 2. Важен для ингибирования erbB.
- 3. Арил/аралкилтиометилмерные заместители увеличивают

ингибирующую активность и противопоставляют селективность между EGFR и HER2; снижение активности заряженных остатков.

- 4. Фенольное кольцо, необходимое для ингибирующей активности erbB.
- 5. Гидроксильные или метоксизаместимые акцепторы.

Рисунок 11. Возможная стратегия связывания, предложенная Kamath и Buolamwini на основе исследований стыковки бензилиденмалононитрилов.

Рисунок 12 - бензилиденмалононитрилы

1.4.6. Бензамиды и бензамидины

бензамидины были Бензамиды разработаны качестве 13) потенциальных имитаторов 4-анилинохиназолинов (Рис. вытекающих формирование псевдоциклов ИЗ внутримолекулярных связей [117,118]. Фенил, водородных замещенные бензамиды бензамидины [119] (35 и 36) показали аналогичные ингибирующие эффекты роста клеток, от клеток плоскоклеточного рака человека A431 со значениями IC₅₀ в пределах от 0.2 до 0.5 mM. Защищенные бензамидины (37) обладают относительно более высоким ингибированием роста клеток, по сравнению с соответствующими бензамидинами (36) со значением ІС₅₀ в диапазоне 0.09-0.32 mM. Эта конструкция производится только слабо активными соединениями, по сравнению с хиназолиноами. Так как соединения показали более высокую ингибирующую циклические активность, жесткая конформация, так как она получена в хиназолинах, может быть очень важна для лучшего взаимодействия с доменом EGFR тирозинкиназы (Рис. 14).

X=O,NH

Рисунок 9 - Бензамиды и бензамидины как имитаторы 4-анилинохиназолиновых каркасов.

1. Образование водородной связи.

$$HN$$
 Br HN Br MeO NH_2 N

Рисунок 14 – бензамиды и бензамидины

1.4.7. Салициланилиды

Ноде и Ріегсе также показали, что псевдо шестичленное кольцо, такое как кольцо в салициланилидах, образованное внутримолекулярной водородной (Рис. 15) связью, может имитировать пиримидиновое кольцо хиназолинов [118]. Подходящим образом замещенные салициланилиды [120] (например, **38** и **39**), как было показано, ингибируют активность тирозинкиназы EGFR со значением IC₅₀ в диапазоне 23-71 пМ (Рис. 16). Салициланилиды с алкилированной фенольной ОН-группой, где эта внутримолекулярная водородная связь не представляется возможной, были неактивны.

Рисунок 10. Салициланилиды в виде 4-анилинохиназолиновых имитаторов.

Рисунок 16 - Салициланилиды

1.4.8. 5,7-диазоиндолиноны

Эти соединения (например, **40** и **41**) (Рис. 18) были разработаны на основе SAR хиназолиновых и индолиноновых скаффолдов (Рис. 17). 4-замещенные пиримидиновые кольца из этих соединений происходят от хиназолина и пятичленных лактамовых колец из индолин-2-один ядра. Эти соединения были разработны, чтобы показать, ингибиторную активность в отношении не только EGFR, но и в клетках, а также HER-2, и могут быть разработаны в качестве двойных ингибиторов для лечения рака у человека, требующих как EGFR и HER-2 для роста и выживания [121].

Исследования SAR показали, что замещение в положении C-3 и незамещенный N-1, имеют важное значение для ингибирующей активности по отношению к EGFR киназы. Схема замещения на кольце пирролиза (в положении С-3) оказывает значительное влияние на ингибиторную активность против EGFR киназы. Замена ариламино в положении C-4, имеет важное значение для киназной ингибиторной активности. Потенциал и селективность киназы, могут быть координально изменены изменением схемы замещения на группе анилино в положении C-4. Эта тенденция SAR, скаффолда той, наблюдается 4аналогична которая ДЛЯ анилинохиназолиновых, таким образом, что предполагает такие же связывающие режимы.

$$\begin{array}{c|c}
R_1 \\
R_2 \\
R_3 \\
R_4 \\
R_5 \\
R_3 \\
R_7 \\
R_7 \\
R_8 \\
R_9 \\
R_$$

Рисунок 17 - Общая структура 5,7-диазаиндолинонов

Рисунок 18 – 5,7-диазоиндолы

1.4.9. Пирролотриазины

Пирроло[2,1-f][1,2,4]триазиновое скаффолд ядро имитирует ингибитора хиназолинкиназы (Рис.19). Замещение 4-((3-хлор-4фторфенил)амино) на этой матрице обеспечивает ингибиторы киназы активностью EGFR, а также ингибирование пролиферации линии клеток рака толстой кишки человека DiFi [122]. Активность поддерживалась с замещением в положениях 5 или 6 (42-44), но не в положении 7 (45). ВМЅ-599626 (46), разработанный в фармацевтическом научно-исследовательском институте BMS, эффективный ингибитор [123] EGFR ($IC_{50} = 22 \text{ nM}$) и HER-2 ($IC_{50} = 32$ nM) тирозинкиназы, показывает превосходную эффективность в отношении гефитиниба (1) в моделях трансплантации опухолей человека и сопоставимую активность с трастузумабом у мышей с опухолями, экспрессирующими HER-2 (Рис. 20).

$$R_6$$
 R_7
 R_7

Рисунок 19 - Пирролотриазиновое ядро

$$H_{3}$$
C H_{3} C

46 (BMS-599626)

Рисунок 20 - Пирролотриазины

1.4.9.1. Пирролопиримидины

4-(фениламино)пирролопиримидины [124] 4-(бензиламино) [125] пирролопиримидины показывают высокую селективность EGF-опосредованной специфичность отношению К ПО сигнальной трансдукции, ингибирующую активность киназы **EGFR** низком наномолярном диапазоне. Соединения **47** и **48** имеют значения IC₅₀ 25 и 10 nM, соответственно. AEE788 (49) и PKI166 (50) являются двойственными ингибиторами EGFR/HER-2 [125-127]. Значения IC_{50} для ингибирования EGFR и HER-2 49 состовляют 2 и 6 nM, соответственно [125], тогда как для других **50** и **25** составляет 100 nM, соответственно [128]. SAR в этой серии производных 4-(фениламино)пирролопиримидина показывает предпочтение галогеновых заместителей в 3-положении анилинового фрагмента и для объемных заместителей в 5- и/или 6-положении пиррольного кольца, которое имеет сходство с SAR 4-анилинохиназолином.

Рисунок 21- Пирролопиримидины

1.5. Мутации и ее последствия на анти-erbB таргетную терапию

Мутации в рецепторном гене эпидермиального фактора роста, как известно, происходит в ряде опухолей человека. Мутант рецептора III типа эпидермального фактора роста (EGFRvIII), в котором отсутствуют аминокислотные остатки 6-273 во внеклеточном домене, является наиболее распространенным [129]. Эта делеция в EGFRvIII удаляет значительную часть лигандсвязывающего домена и, следовательно, неспособна связывать EGF или другие лиганды EGFR. EGFRvIII является конститутивно активным и способен инициировать нисходящую передачу сигналов, поскольку эта делеция приводит к конформационному изменению, которая имитирует индуцирование связывания лиганда в EGFR дикого типа [130].

На сегодняшний день EGFRvIII был обнаружен у 39% NSCLC, 57% высокого класса глиом, 86% с низким классом глиомы и мелабластомы, 66% детской глиомы и 70%-80% рака молочной железы и рака яичников [129,131]. Использование MAbs, специфичных для гибридного соединения EGFRvIII, уникального эпитопа, характеризующегося вставленным остатком глицина в положении 6 между аминокислотными остатками 5 и 274, было первой стратегией нацеливания на этот мутант Образующиеся антитела могут быть соединены с любым радиоактивным изотопом или цитотоксическим агентом, таким как иммуно токсин, для нацеливания цитотоксического действия на опухоли, экспрессирующих EGFRvIII мутант [133-135]. Другая стратегия состоит в том, чтобы вакцинировать хозяина против EGFRvIII с использованием синтетического пептида, охватывающего соединение сплава (pep-3) EGFRvIII в качестве антигена, и было установлено, что это было успешным у животных [136,137]. Внеклеточные мутанты, такие как EGFRvIII, чувствительны к ингибированию ингибиторами тирозинкиназы, так как внеклеточная мутация не влияет на внутриклеточное связывание ингибиторов.

Соматические мутации в домене тирозинкиназы, которые будут влиять связывание ингибиторов тирозинкиназы на всплыли исследовании, проведенном Lynch и др. [138] Исследование показало, что 10% случаев NSCLC, которые показали резкий клинический ответ, содержали определенные мутации EGFR. Эти мутации были более распространены в аденокарциноме, чем в других NSCLCs, чаще у женщин, чем у мужчин, и чаще возникали у пациентов из Японии, чем у пациентов из Соединенных Штатов. Исследования показали, что L858R и мутант delL747-P753insS удаления, показали повышенную активацию ПО сравнению с ферментом дикого типа, но в то же время оказались в 10 раз более чувствительными к ингибированию гефитиниба [138]. Другие исследования также отмечают повышенную чувствительность мутантов к ингибированию гефитиниба [139,140] или эрлотиниба [139], но

повышенная активация этих мутантов была поставлена под сомнение [139]. Sordella и др. [141] объяснили повышенную эффективность гефитиниба против рака, сверхэкспрессирующих эти мутантные EGFR, которые, вероятно, связаны с зависимостью этих видов рака от мутантных ферментов, для избирательной активации Akt, трансдукции сигнала и активатора сигнальных путей транскрипции (STAT) для пролиферации.

Как и в большинстве других видов рака, пациенты в конечном итоге "приобретенной" прогрессируют неизвестными механизмами устойчивости к анти-EGFR терапии. Рао и др. [142] показали, что наряду с вышеупомянутыми мутациями лекарственной сенсибилизации, устойчивые к субклону, содержащие дополнительные мутации Т766М возникают в присутствии лекарственного средства. Эта мутация блокирует вход в карман специфики киназы, что является важным для связывания ингибитора, но не для АТР. Также установленная водой водородная связь с Thr766 теряется, она является важной особенностью связывания 4анилинохиназолинов, таких как гефитиниб и эрлотиниб [33]. Таким образом, эта мутация не влияет на активность киназы, но придает устойчивость К ингибированию 4-анилинохиназолины [143]. высказано предположение, что эта мутация возникает de novo во время лечения или была получена ранее в пределах первичной опухоли в низкой частоте, и лечение гефитинибом или эрлотинибом позволяет этим устойчивым видам стать преобладающими, поскольку большинство клеток, несущих чувствительность, придающиеся мутации, умирают, в то время как клетки с T766M EGFR продолжают стимулировать рост рака [142]. Показано, что подобная мутация гейткиперного остатка в bcr-abl-киназе дает резистентность к Gleevec при лечении хронической миелогенной лейкемии [144,145]. Подходы, принятые для разработки эффективных агентов против этого мутанта bcr-abl [146,147] могут быть использованы для разработки лекарств, эффективных против T766M EGFR [148]

2. ОБСУЖДЕНИЕ РЕЗУЛЬТАТОВ

2.1. Построение исследуемой библиотеки на основе коммерческих комбинаторных библиотек.

Как было отмечено ранее, целью представленной работы является поиск новых структурных типов высокоаффинных ингибиторов EGFR-киназы среди огромного многообразия коммерчески доступных веществ. Для построения исследуемой библиотеки низкомолекулярных органических веществ мы воспользовались базой данных компании ChemBridge – мирового лидера в области заказного органического синтеза. На данный момент база данных компании ChemBridge содержит более 1200000 уникальных структур соединений. Нами была осуществлена фильтрация структур по следующим принципам:

- отобраны молекулы с относительной молекулярной массой не более 600 и не менее 300;
- исключены молекулы содержащие явно выраженные токсоформные группы и группировки с мощными электрофильными и нуклеофильными центрами;
- исключены молекулы, содержащие 3 и более атомов галогенов;
- исключены молекулы, содержащие радиоактивные изотопы атомов;

В результате фильтрации было отобрано 138000 соединений для молекулярного докинга.

2.2. Проведение молекулярного докинга в активный сайт связывания EGFR-киназы

Высокопроизводительный молекулярный докинг производили с применением программы AutoDock Vina интегрированной в программу РуРх. В качестве мишени использовалась структура нормальной формы

EGFR киназы (Protein Data Bank: 3W33) с предварительно удаленным лигандов, молекулами воды и атомами водорода. Размер gfridbox составил 54.2239×49.7276×58.3709, значение exhaustiveness 100.

По результатам проведенного молекулярного докинга были отобраны структуры, которые имеют энергию связывания с EGFR-киназой на уровне 11 ккал/моль. В дальнейшем фильтрация выявленных структур производилась с помощью правил Липпински. Количественные результаты молекулярного докинга и фильтрации полученных данных представлены в таблице 1:

Таблица 1

Общее количество лигандов	138000
Количество лигандов с максимальной энергией связывания	356
Общее количество лигандов удовлетворяющее правилу Липински	157
Общее количество лигандов не удовлетворяющее правилу Липински	169

2.3. Результаты молекулярного докинга в активный сайт связывания EGFR-киназы

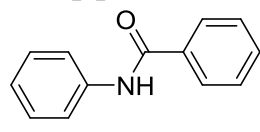
В таблице 2 представлены результаты молекулярного докинга и количественные характеристики для применения правил Липински. Полученные результаты классифицированы с точки зрения общности структурного ядра (скаффолда). В результате данного анализа удалось 69 скаффолдов, 36 выявить ИЗ которых содержат комбинаторных представителя. На схеме 1 представлены скаффолды, где соединения, построенные на их основе, имеют энергию связывания 12 ккал/моль и более.

Схема 1

$$\bigcup_{0}^{N} - \bigcup_{0}^{N}$$

Скаффолд S2

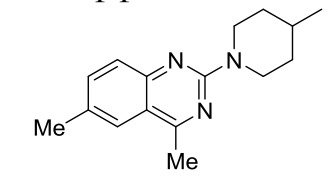
Скаффолд S3



Скаффолд S5

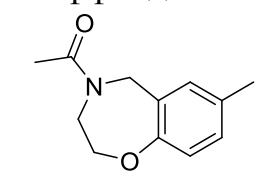


Скаффолд S6

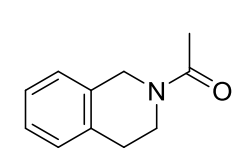


Скаффолд S7

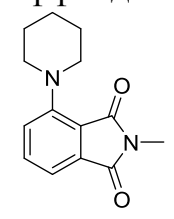
Скаффолд S8



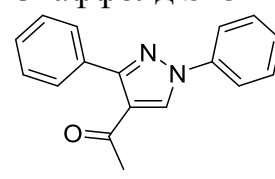
Скаффолд S9



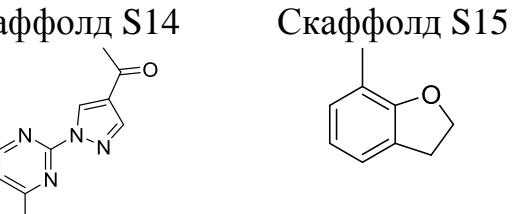
Скаффолд S12



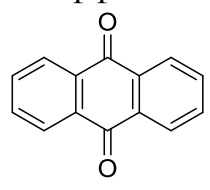
Скаффолд S13



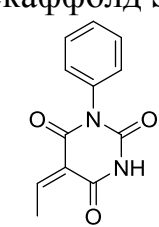
Скаффолд S14



Скаффолд S16



Скаффолд S21



Скаффолд S35

Таблица 2 – Полученные скаффолды

Код	Формула	Энергия связывания	miLogP	TSPA	natoms	MW	nON	nOH NH	nviol ations	nrotb	volume
ZINC16672144		-12,9	4.72	103.44	39	516.56	8	1	1	3	439.78
ZINC13942194	H H H N H H	-12,2	4.25	74.76	34	450.49	6	0	0	2	387.55
ZINC16121551	H H N N H	-11,5	4.54	91.83	38	504.54	7	0	1	4	433.94
ZINC04523682		-11,5	3.78	80.48	29	384.39	6	0	0	2	325.59
ZINC13573343	H, H	-12,1	-0.43	114.89	33	443.44	8	0	0	3	367.81

Код	Формула	Энергия	miLogP	TSPA	natoms	MW	nON	nOH	nviol	nrotb	volume
		связывания						NH	ations		

ZINC14981104	Me N N	-12,5	4.90	51.03	34	446.55	5	0	0	3	413.42
ZINC14881642	Me N N	-12,1	2.26	68.10	32	424.50	6	0	0	3	388.41
ZINC12150701	N CF ₃	-11,5	3.62	74.78	33	451.45	6	1	0	4	379.63

Код	Формула	Энергия связывания	miLogP	TSPA	natoms	MW	nON	nOH NH	nviol ations	nrotb	volume
ZINC17744743	NH NH H	-12,4	3.37	103.86	37	495.54	8	1	0	4	434.32
ZINC20058121		-11,6	3.35	52.65	33	439.56	5	1	0	5	415.53

ZINC15000830	۰	-11,5	3.81	125.80	37	492.54	9	3	0	8	436.70
	Me N HN O										
	NH										
	HN N										

Код	Формула	Энергия связывания	miLogP	TSPA	natoms	MW	nON	nOH NH	nviol ations	nrotb	volume
ZINC01062601	N O O O O O O O O O O O O O O O O O O O	-11,5	3.61	69.72	34	461.61	6	1	0	4	446.44
ZINC16425843	N Me Me	-11,5	3.61	69.72	34	461.61	6	1	0	4	446.44

Код	Формула	Энергия	miLogP	TSPA	natoms	MW	nON	nOH	nviol	nrotb	volume
		связывания						NH	ations		

ZINC12577572	N-NH	-12,2	3.21	83.13	30	423.54	6	1	0	4	372.55
	Me										
	O=S=O										
	│										
ZINC16475456		-11,5	3.52	84.95	32	452.53	7	1	0	4	388.97
	0-\$-0 N										

Код	Формула	Энергия связывания	miLogP	TSPA	natoms	MW	nON	nOH NH	nviol ations	nrotb	volume
ZINC19745889	F N N N N N N N N N N N N N N N N N N N	-12,1	2.44	36.70	35	474.65	5	1	0	3	456.60
ZINC12159161	Me HN O	-12,1	4.87	58.12	30	400.53	5	1	0	3	381.21
ZINC11968575	Me N N N H ₂	-11,6	2.13	45.63	28	383.47	4	2	0	4	350.27

Код	Формула	Энергия связывания	miLogP	TSPA	natoms	MW	nON	nOH NH	nviol ations	nrotb	volume
ZINC02081792	Me Me	-12,1	3.77	37.64	39	512.68	4	1	1	5	492.08
ZINC11937315	N N N N N N N N N N N N N N N N N N N	-11,9	-0.13	72.21	32	424.53	6	2	0	5	395.66
ZINC00998440	NH NH NMe NMe	-11,7	2.49	104.47	32	430.42	9	1	0	3	363.83
ZINC08450974		-11,7	3.51	100.73	36	488.54	9	0	0	4	433.49

ZINC12382813	Me Me	-11,7	4.92	80.32	33	439.51	6	2	0	6	404.96
ZINC08396565	Me Me Me	-11,6	2.94	37.64	35	462.62	4	1	0	5	448.07
ZINC00652480	NH ⁺ NH ⁺ NH ₂ S O	-11,6	4.50	98.22	32	445.54	6	3	0	4	390.15
ZINC12166309	Me Ne Me	-11,7	3.23	53.51	31	413.52	5	0	0	4	388.14
ZINC06457312		-11,5	4.89	83.98	36	492.97	6	2	0	6	427.06

ZINC19840597	N N N N N N N N N N N N N N N N N N N	-11,5	2.81	54.91	28	375.43	6	0	0	2	336.69
	Me ^z , N										
ZINC02744807	Me NH O NH ₂	-11,5	4.13	85.08	29	381.44	5	3	0	4	344.92
ZINC00657400	N N O Et	-11,5	4.89	64.14	36	481.55	7	0	0	5	433.89
ZINC01073938	CI NH	-11,5	3.73	83.98	30	416.87	6	2	0	4	355.41

Код	Формула	Энергия	miLogP	TSPA	natoms	MW	nON	nOH	nviol	nrotb	volume
		связывания						NH	ations		

ZINC11839441	N N S	-12,1	4.60	71.98	37	513.62	7	0	1	5	451.43
ZINC12078429	HN-V N	-11,9	-0.13	79.73	37	495.60	7	2	0	5	456.87
ZINC55099167	HN S	-11,6	-3.52	49.89	33	462.62	6	2	0	4	421.19
ZINC55154514	OH + H N N	-11,6	0.93	63.17	37	496.63	6	2	0	6	467.40
ZINC11784554	Me NH	-11,5	-1.54	92.62	34	460.56	8	2	0	5	425.29

Код	Формула	Энергия	miLogP	TSPA	natoms	MW	nON	nOH	nviol	nrotb	volume
		связывания						NH	ations		

ZINC14733091	N N N N Me	-12,1	1.55	42.57	35	469.65	5	1	0	4	458.25
ZINC01116745	F O N O	-11,5	4.47	42.31	31	412.46	4	0	0	4	368.27

Код	Формула	Энергия связывания	miLogP	TSPA	natoms	MW	nON	nOH NH	nviol ations	nrotb	volume
ZINC14948642	N. Me	-11,5	0.39	36.77	29	390.55	4	2	0	4	384.10
ZINC11815136	To Home	-11,6	2.85	62.30	31	411.50	5	1	0	4	381.25

Код	Формула	Энергия	miLogP	TSPA	natoms	MW	nON	nOH	nviol	nrotb	volume
		связывания						NH	ations		

ZINC15067641	S	-12,1	1.37	79.79	36	498.63	6	3	0	6	444.74
	HO NH										
ZINC12281012	HO NO	-12	1.69	58.11	36	485.58	5	2	0	4	442.27
ZINC14979863	HO NH	-11,6	1.19	79.79	36	486.64	6	3	0	6	461.25

ZINC12217812	THN OH OH	-11,6	2.73	58.11	36	487.66	5	2	0	4	472.75
	OH ON										

Код	Формула	Энергия связывания	miLogP	TSPA	natoms	MW	nON	nOH NH	nviol ations	nrotb	volume
ZINC14991601	MeO NH	-12,1	3.75	89.88	38	511.58	8	1	1	6	458.23
ZINC12163893	Me N N N N N N N N N N N N N N N N N N N	-12	4.47	75.52	38	528.68	7	0	1	5	477.62
ZINC12152825	N N N N N N N N N N N N N N N N N N N	-11,7	4.57	81.09	38	511.58	8	0	1	6	458.61
ZINC12217169	N Me	-11,5	4.05	84.30	34	480.63	7	1	0	6	439.46

ZINC14972327	0	-11,5	2.22	90.33	37	505.57	9	0	1	5	452.58
	Ne Ne										
	N O										
	N-V										

Код	Формула	Энергия связывания	miLogP	TSPA	natoms	MW	nON	nOH NH	nviol ations	nrotb	volume
ZINC03879118	NH H ₂ N	-12	4.91	82.18	34	446.51	6	3	0	6	402.55
ZINC01109740		-11,6	4.30	38.13	29	381.48	4	0	0	3	357.00

Код	Формула	Энергия	miLogP	TSPA	natoms	MW	nON	nOH	nviol	nrotb	volume
		связывания						NH	ations		

ZINC15007803	Me Ne O	-12	2.83	80.30	36	482.59	8	0	0	4	443.17
ZINC14990894	Me N N N N N N N N N N N N N N N N N N N	-11,9	2.97	67.16	33	442.50	7	0	0	4	393.58
ZINC15007805	Me N-N	-11,7	2.83	80.30	36	482.59	8	0	0	4	443.17

ZINC14971626	NH [†] Ne N N N N N N N N N N N N N N N N N N	-11,6	-0.45	68.36	33	449.55	7	1	0	4	415.28
ZINC12217934	Me N N N N N N N N N N N N N N N N N N N	-11,6	0.02	68.36	33	449.55	7	1	0	4	415.28

Код	Формула	Энергия	miLogP	TSPA	natoms	MW	nON	nOH	nviol	nrotb	volume
		связывания						NH	ations		
ZINC15000478	Me Ne	-12	3.85	81.42	34	449.51	7	1	0	4	400.82

ZINC12078368	N O HN HN HN Me	-11,9	4.24	67.02	30	397.48	5	2	0	4	364.76
ZINC11880518	Me F HN O	-11,6	4.68	67.02	33	441.51	5	2	0	4	392.96
ZINC11880584	Me N Me CF ₃	-11,6	4.12	64.12	32	445.42	5	1	0	5	367.86
ZINC12455997	N O HN O	-11,6	4.62	51.22	31	412.46	4	1	0	5	368.39
ZINC12455999	HN-O	-11,6	4.62	51.22	31	412.46	4	1	0	5	368.39

ZINC12097474	Me N Me	-11,6	4.63	64.12	34	449.55	5	1	0	6	419.87
ZINC12100353	Me NH NH	-11,5	3.64	3.64	3.64	402.49	5	1	0	4	373.75
ZINC12100354	Me NH NH	-11,5	3.64	3.64	3.64	402.49	5	1	0	4	373.75
ZINC11880519	HN H	-11,5	4.68	67.02	33	441.51	5	2	0	4	392.96
ZINC12100352	Me NH NH	-11,6	3.64	60.46	30	402.49	5	1	0	4	373.75

Код	Формула	Энергия	miLogP	TSPA	natoms	MW	nON	nOH	nviol	nrotb	volume

		связывания						NH	ations		
ZINC04621970	S NH F	-12	4.21	75.27	29	404.42	5	2	0	4	330.57
ZINC03901817	N-C	-11,6	4.72	73.22	27	353.33	5	0	0	1	293.89
ZINC04086291	HN S	-11,5	3.35	88.41	27	376.39	6	2	0	4	307.20

Код	Формула	Энергия связывания	miLogP	TSPA	natoms	MW	nON	nOH NH	nviol ations	nrotb	volume
ZINC12100289	HN H	-11,9	1.29	58.56	32	426.54	5	3	0	6	402.10
ZINC11881643	NH NH OME	-11,6	0.30	97.76	36	485.56	8	3	0	7	442.47

ZINC12190630	O FN	-11,6	1.02	64.37	37	497.64	6	3	0	6	470.51
	ОН										
	(H)										
	NH*										

Код	Формула	Энергия связывания	miLogP	TSPA	natoms	MW	nON	nOH NH	nviol ations	nrotb	volume
ZINC20861408	O C C C C C C C C C C C C C C C C C C C	-11,9	3.43	49.41	28	370.45	4	1	0	4	346.40
ZINC20454241	Me HN Me	-11,5	3.23	75.95	35	466.59	7	1	0	6	438.45

Скаффолд 19

Код	Формула	Энергия	miLogP	TSPA	natoms	MW	nON	nOH	nviol	nrotb	volume
		связывания						NH	ations		
ZINC01234081	Me Me O	-11,9	3.69	112.29	38	502.48	8	0	1	4	421.76
ZINC01211998	Me Ne Ne	-11,5	3.31	112.29	38	502.48	8	0	1	4	421.76

Ī	Код	Формула	Энергия	miLogP	TSPA	natoms	MW	nON	nOH	nviol	nrotb	volume
			связывания						NH	ations		

ZINC12127698	NH NH	-11,8	3.61	99.01	37	489.54	8	1	0	6	430.90
ZINC02410940	N. Me	-11,7	4.07	63.99	29	383.45	5	2	0	4	352.38
ZINC01130505	O Me N H	-11,6	4.93	63.99	31	431.92	5	1	0	6	382.96
ZINC04172285	N, Me NO ₂	-11,6	4.07	92.75	29	386.41	7	1	0	5	340.15

ZINC01130504	O O Me	-11,5	4.93	63.99	31	431.92	5	1	0	6	382.96
	N N N										
	N										
	CI										

Код	Формула	Энергия связывания	miLogP	TSPA	natoms	MW	nON	nOH NH	nviol ations	nrotb	volume
ZINC01176783	Me Me ONO NH OO	-11,8	4.01	85.08	30	404.40	6	1	0	3	345.19
ZINC02970170	O N N N N N N N N N N N N N N N N N N N	-11,7	3.47	99.64	32	428.40	8	1	0	4	358.49
ZINC16247167	Et O NH O NH	-12	4.17	98.24	34	458.44	7	1	0	6	391.83

ZINC01176817	Me	-11,6	3.06	88.32	29	393.44	7	1	0	3	354.81
	Me										
	0 N O										
	NH										
)N—										

Код	Формула	Энергия связывания	miLogP	TSPA	natoms	MW	nON	nOH NH	nviol ations	nrotb	volume
ZINC14881651	THN ON THE THINK OF THE THINK OF THE THINK OF THE THE THINK OF THE	-11,8	1.34	62.63	35	470.64	5	3	0	8	457.78
ZINC23311717	HO THN F NH O	-11,7	0.16	70.42	28	380.44	5	3	0	4	345.51
ZINC14991521	Me N +HN	-11,5	1.62	37.64	35	488.65	4	1	0	7	450.19

ZINC12244720	Me HN O	-11,5	2.09	74.13	39	524.64	7	2	1	8	487.05
ZINC11933214	F HN O HN O HN O N	-11,8	2.18	72.46	32	431.49	6	2	0	5	386.32

Код	Формула	Энергия связывания	miLogP	TSPA	natoms	MW	nON	nOH NH	nviol ations	nrotb	volume
ZINC14957750	NH ⁺	-11,7	1.58	57.99	37	495.65	6	1	0	5	470.70
ZINC12027625	NH*	-11,5	0.40	56.67	32	430.58	6	2	0	4	409.55

ZINC14962133		-11,5	-0.00	73.78	35	472.61	7	2	0	3	444.59
	N O										
	*HN Me										
	Me										

Код	Формула	Энергия связывания	miLogP	TSPA	natoms	MW	nON	nOH NH	nviol ations	nrotb	volume
ZINC11782277	N-N Me N-N N-N N-N N-N N-N N-N	-11,7	3.58	93.27	36	479.54	8	1	0	7	430.76
ZINC11711029	F T T T T T T T T T T T T T T T T T T T	-11,5	1.09	51.36	33	441.53	5	2	0	6	404.86

Код	Формула	Энергия	miLogP	TSPA	natoms	MW	nON	nOH	nviol	nrotb	volume
		связывания						NH	ations		
ZINC14752265	Me N N O=S=O	-11,7	2.69	82.61	33	464.59	7	1	0	7	417.62
	N N										

	-11,5	2.86	57.69	27	380.47	5	0	0	3	331.79
O=S=O										
∠ ^N →										
	O=S=O N N N									

Код	Формула	Энергия связывания	miLogP	TSPA	natoms	MW	nON	nOH NH	nviol ations	nrotb	volume
ZINC16512356		-11,7	1.67	50.05	35	455.54	4	1	0	5	414.47
ZINC14980371	NH ⁺	-11,5	2.01	35.15	31	407.54	4	1	0	4	387.15

Код	Формула	Энергия связывания	miLogP	TSPA	natoms	MW	nON	nOH NH	nviol ations	nrotb	volume
ZINC01067881	N-N-HN-O	-11,7	4.86	77.77	34	448.48	7	1	0	5	391.43
ZINC15000481	Me NH N N	-11,7	3.85	81.42	34	449.51	7	1	0	4	400.82
ZINC08424573	N-N-N-O-NH+	-11,6	2.14	54.94	36	474.59	6	1	0	5	440.15

Код	Формула	Энергия	miLogP	TSPA	natoms	MW	nON	nOH	nviol	nrotb	volume
		связывания						NH	ations		
ZINC12038651	S O N-Me	-11,5	2.21	70.82	34	473.60	7	0	0	6	425.54

ZINC00815318	0	-11,7	3.98	50.51	31	418.45	5	0	0	3	362.49
	N										
	N F										
	F										
	Me										

Код	Формула	Энергия связывания	miLogP	TSPA	natoms	MW	nON	nOH NH	nviol ations	nrotb	volume
ZINC13816063	NH Me O N-N Me	-11,7	3.29	78.04	34	450.50	7	1	0	4	400.84
ZINC18114177	OMe HN N Me Me	-11,5	3.35	87.28	36	480.52	8	1	0	5	426.38
ZINC06058014	NH NH HN S	-11,5	3.32	97.27	31	433.49	7	2	0	5	366.98

Код	Формула	Энергия связывания	miLogP	TSPA	natoms	MW	nON	nOH NH	nviol ations	nrotb	volume
ZINC16475473	O NH NH N N N N N N N N N N N	-11,7	4.66	52.65	34	453.52	5	1	0	4	408.09
ZINC15072852	F O N N N N N N N N N N N N N N N N N N	-11,6	3.85	62.62	32	435.50	6	0	0	4	391.20

Код	Формула	Энергия	miLogP	TSPA	natoms	MW	nON	nOH	nviol	nrotb	volume
		связывания						NH	ations		
ZINC03119224		-11,6	4.73	39.08	25	323.35	3	0	0	1	283.35

ZINC19811025		-11,6	4.63	62.62	37	489.57	6	0	0	5	445.28
	°										
	N N										

Код	Формула	Энергия связывания	miLogP	TSPA	natoms	MW	nON	nOH NH	nviol ations	nrotb	volume
ZINC14881650	+HN N N HN N N N N N N N N N N N N N N N	-11,6	1.34	62.63	35	470.64	5	3	0	8	457.78
ZINC14881652	THN NH N	-11,6	1.34	62.63	35	470.64	5	3	0	8	457.78

Код	Формула	Энергия связывания	miLogP	TSPA	natoms	MW	nON	nOH NH	nviol ations	nrotb	volume
ZINC20201834	O N H. N Me	-11,5	4.01	50.39	29	389.50	5	1	0	4	367.76

ZINC15008172	но	-11,5	4.89	52.15	29	401.43	4	2	0	5	349.78
	ſ ^N										
	N.N										
	CF ₃										

Код	Формула	Энергия связывания	miLogP	TSPA	natoms	MW	nON	nOH NH	nviol ations	nrotb	volume
ZINC12307312	H NH ⁺ O OMe	-11,5	1.51	59.42	30	400.50	5	2	0	5	374.69
ZINC20149127	H N N O O Me	-11,5	4.47	58.23	30	399.49	5	1	0	5	371.57

Код	Формула	Энергия	miLogP	TSPA	natoms	MW	nON	nOH	nviol	nrotb	volume
		связывания						NH	ations		

ZINC02273547	HN COO	-11,8	3.82	118.62	34	452.42	8	2	0	4	378.72
ZINC02860492	NC CN Me	-12,1	4.60	117.75	32	419.40	8	0	0	3	351.71
ZINC02910679	HN O Me Me	-12	3.44	84.33	31	414.46	6	2	0	4	369.15
ZINC01459336	N Me Me	-11,5	4.81	42.58	27	353.42	3	0	0	1	322.83

Код	Формула	Энергия	miLogP	TSPA	natoms	MW	nON	nOH	nviol	nrotb	volume
		связывания						NH	ations		
ZINC00918739	CF ₃ MeO	-11,6	4.97	94.47	36	496.44	8	2	0	5	399.44

ZINC00865295		-11,5	4.86	77.42	35	480.45	7	2	0	4	390.69
	HN HN										
	h " o										
	F ₃ C										

Код	Формула	Энергия связывания	miLogP	TSPA	natoms	MW	nON	nOH NH	nviol ations	nrotb	volume
ZINC13898584	OOC NH ONN NH ONN N	-12,4	1.80	112.31	34	466.50	8	1	0	6	388.93

Скаффолд 38

Код	Формула	Энергия	miLogP	TSPA	natoms	MW	nON	nOH	nviol	nrotb	volume
		связывания						NH	ations		
ZINC12375824		-11,7	2.36	133.03	37	489.47	9	1	0	6	412.93

Код	Формула	Энергия	miLogP	TSPA	natoms	MW	nON	nOH	nviol	nrotb	volume
		связывания						NH	ations		
ZINC02469579		-12,1	3.99	60.68	30	396.49	5	0	0	2	364.58

Код	Формула	Энергия связывания	miLogP	TSPA	natoms	MW	nON	nOH NH	nviol ations	nrotb	volume
ZINC01207445	Me O N O' N O' N Me N-N	-12	-0.35	107.70	30	401.40	8	0	0	3	345.45

Скаффолд 41

Код	Формула	Энергия связывания	miLogP	TSPA	natoms	MW	nON	nOH NH	nviol ations	nrotb	volume
ZINC06456132	NH*	-11,9	2.64	68.52	34	448.55	5	3	0	7	416.39
	NH OH N Me										

Код	Формула		miLogP	TSPA	natoms	MW	nON	nOH NH	nviol ations	nrotb	volume
		связывания						NII	ations		
ZINC12307254	Me Me N N N N N N N N N N N N N N N N N	-11,9	3.80	75.61	31	413.52	6	2	0	4	386.86

Код	Формула	Энергия связывания	miLogP	TSPA	natoms	MW	nON	nOH NH	nviol ations	nrotb	volume
ZINC02816431	Me N+H ₂ H	-11,9	4.18	32.40	28	373.56	2	3	0	4	377.58

Скаффолд 44

Код	Формула	Энергия связывания	miLogP	TSPA	natoms	MW	nON	nOH NH	nviol ations	nrotb	volume
ZINC11909809	S NH'	-11,9	0.89	62.66	34	477.58	6	2	0	4	416.76

Код	Формула	Энергия	miLogP	TSPA	natoms	MW	nON	nOH	nviol	nrotb	volume
		связывания						NH	ations		

ZINC39508529		-11,9	0.45	33.98	33	443.61	4	1	0	6	437.14
	\										
	NH ⁺										
	INH										
	0										
	0										
	ÜH										

Код	Формула	Энергия	miLogP	TSPA	natoms	MW	nON	nOH	nviol	nrotb	volume
		связывания						NH	ations		
ZINC12589244	NH ⁺	-11,9	1.75	33.46	30	397.55	4	0	1	3	382.75
	N N										

Скаффолд 47

Код	Формула	Энергия связывания	miLogP	TSPA	natoms	MW	nON	nOH NH	nviol ations	nrotb	volume
ZINC00348369		-11,8	4.65	92.67	27	348.37	5	2	0	1	298.83
	N N										
	O NH ₂										

Код	Формула	Энергия связывания	miLogP	TSPA	natoms	MW	nON	nOH NH	nviol ations	nrotb	volume
ZINC15000539	N N N N N N N N N N N N N N N N N N N	-11,8	4.51	74.78	36	477.54	6	1	0	4	424.67

Код	Формула	Энергия	miLogP	TSPA	natoms	MW	nON	nOH	nviol	nrotb	volume
		связывания						NH	ations		
ZINC12658617	HN—COO-NH ⁺	-11,7	1.75	81.92	31	411.50	5	3	0	5	380.41

Скаффолд 50

Код	Формула	Энергия связывания	miLogP	TSPA	natoms	MW	nON	nOH NH	nviol ations	nrotb	volume
ZINC02949066	S NH	-11,7	3.26	100.09	28	410.48	6	2	0	4	328.25

Код	Формула	Энергия	miLogP	TSPA	natoms	MW	nON	nOH	nviol	nrotb	volume
		связывания						NH	ations		
ZINC12456087	MeO N N N	-11,7	4.87	55.58	31	412.49	5	0	0	5	378.77

Код	Формула	Энергия	miLogP	TSPA	natoms	MW	nON	nOH	nviol	nrotb	volume
		связывания						NH	ations		
ZINC15659565	N O N N N CF3	-11,7	4.01	63.40	33	451.45	6	0	0	5	379.74

Скаффолд 53

Код	Формула	Энергия связывания	miLogP	TSPA	natoms	MW	nON	nOH NH	nviol ations	nrotb	volume
ZINC14731266	N Me	-11,5	1.72	59.56	34	452.58	5	2	0	5	424.28
	O OH										
	NH ⁺										

Скаффолд 54

Код	Формула	Энергия связывания	miLogP	TSPA	natoms	MW	nON	nOH NH	nviol ations	nrotb	volume
ZINC02921533	HNH Me	-11,6	4.52	47.00	32	415.52	3	2	0	5	388.90

Код	Формула	Энергия	miLogP	TSPA	natoms	MW	nON	nOH	nviol	nrotb	volume
		связывания						NH	ations		

ZINC11879918	O Me	-11,6	4.02	60.71	26	351.40	5	1	0	3	319.64
	N N N										
	Me Me										

Код	Формула	Энергия связывания	miLogP	TSPA	natoms	MW	nON	nOH NH	nviol ations	nrotb	volume
ZINC18208001	O_2N CI O_2N CI O_2N	-11,6	4.56	126.58	34	484.89	9	0	0	7	402.59

Скаффолд 57

Код	Формула	Энергия	miLogP	TSPA	natoms	MW	nON	nOH	nviol	nrotb	volume
		связывания						NH	ations		
ZINC14961506	NH NH	-11,6	4.03	103.95	34	472.57	7	3	0	6	413.90

Код	Формула	Энергия	miLogP	TSPA	natoms	MW	nON	nOH	nviol	nrotb	volume
		связывания						NH	ations		

ZINC11880903		-11,6	1.97	40.01	36	483.68	5	2	0	7	479.44
	Me										
	Ņ,										
	N N										
	HN										

Код	Формула	Энергия	miLogP	TSPA	natoms	MW	nON	nOH	nviol	nrotb	volume
		связывания						NH	ations		
ZINC00658328	Me	-11,5	3.77	68.01	29	406.44	5	1	0	3	337.51
	O N S NH										
	F										

]	Код	Формула	Энергия	miLogP	TSPA	natoms	MW	nON	nOH	nviol	nrotb	volume
			связывания						NH	ations		

ZINC13810141		-11,5	0.74	87.05	31	462.45	6	1	0	4	346.96
	F ₃ C NH										
	0=										
	N										
	-o s										
	N S										

Код	Формула	Энергия	miLogP	TSPA	natoms	MW	nON	nOH	nviol	nrotb	volume
		связывания						NH	ations		
ZINC02996660		-11,5	4.77	48.94	36	491.62	5	0	0	4	441.53
	Me N Me										
	O O O										
	s U										

Скаффолд 62

Код	Формула	Энергия	miLogP	TSPA	natoms	MW	nON	nOH	nviol	nrotb	volume
		связывания						NH	ations		
ZINC11976549	Me NH O O	-11,5	2.29	80.77	33	443.50	7	1	0	4	399.27

Код	Формула	Энергия	miLogP	TSPA	natoms	MW	nON	nOH	nviol	nrotb	volume
		связывания						NH	ations		

ZINC16677431	CI O H	-11,5	4.91	62.88	29	427.29	5	0	0	3	339.57
	O N-N H										
	ő ⁿ h										

Код	Формула	Энергия	miLogP	TSPA	natoms	MW	nON	nOH	nviol	nrotb	volume
		связывания						NH	ations		
ZINC11968964	CF ₃ O O O	-11,5	3.04	71.41	34	475.51	6	1	0	6	417.42

Скаффолд 65

Код	Формула	Энергия	miLogP	TSPA	natoms	MW	nON	nOH	nviol	nrotb	volume
		связывания						NH	ations		
ZINC18250094	OH, OO F	-11,5	4.68	80.76	35	510.30	6	0	1	2	391.03

Код	Формула	Энергия	miLogP	TSPA	natoms	MW	nON	nOH	nviol	nrotb	volume
		связывания						NH	ations		

ZINC05013094		-11,5	4.23	83.56	26	343.39	6	2	0	3	307.88
	0										
	N NH										
	Me N NH										
	Ň										
	Ме										

Код	Формула	Энергия связывания	miLogP	TSPA	natoms	MW	nON	nOH NH	nviol ations	nrotb	volume
ZINC11783833	Me N F	-11,5	3.95	85.60	36	478.53	7	1	0	6	424.69

Скаффолд 68

Код	Формула	Энергия	miLogP	TSPA	natoms	MW	nON	nOH	nviol	nrotb	volume
ZINC11911609	HN O	связывания -11,5	3.47	95.92	36	482.59	8	NH 2	ations 0	6	446.31
	Me Me										

Код	Формула	Энергия	miLogP	TSPA	natoms	MW	nON	nOH	nviol	nrotb	volume
		связывания						NH	ations		

ZINC14991009	Me ∠—ŃH ⁺	-11,5	1.58	59.84	32	449.60	5	2	0	5	411.31
	<u></u>										
	j=0 HN										
	Me s										
	NIE S										

2.4. Анализ молекулярных взаимодействий EGFR – лиганд

В таблице 3 представлены основные типы взаимодействий, вносящих вклад в связывание лиганда в активный сайт EGFR-киназы.

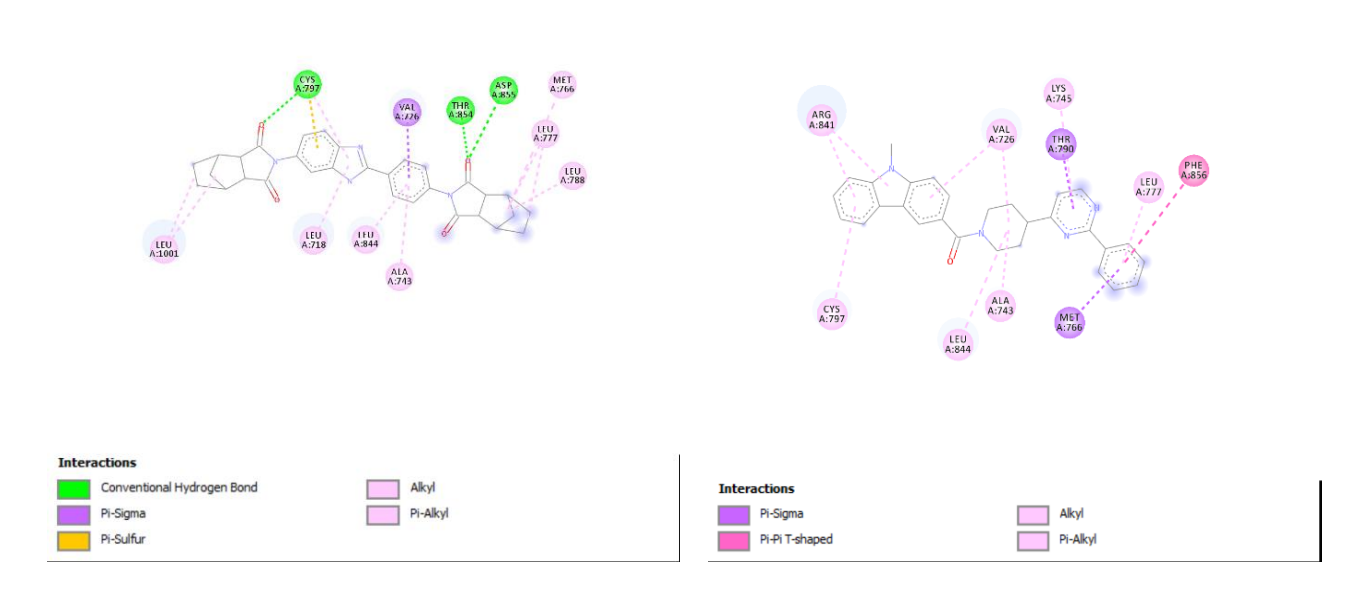
Как показывает анализ полученных результатов, доминирующими взаимодействиями являются:

- Обычная водородная связь, в образовании которой участвуют остатки CYS A:797, THR A:854, VAL A:726 и др;
- Пи-катионный стэкинг LYS A:745 и др.;
- Пи-сигма стэкинг MET A:766, VAL A:726, LEU A:844;
- Пи-алкил стэкинг VAL A:726, ALA A:743, LYS A:645, LEU A:858,
 LEU A:788, CYS A:775, LEU A:777, MET A:766, ARG A:841 и др.;

Примеры некоторых карт взаимодействий представлены на рисунке 22.

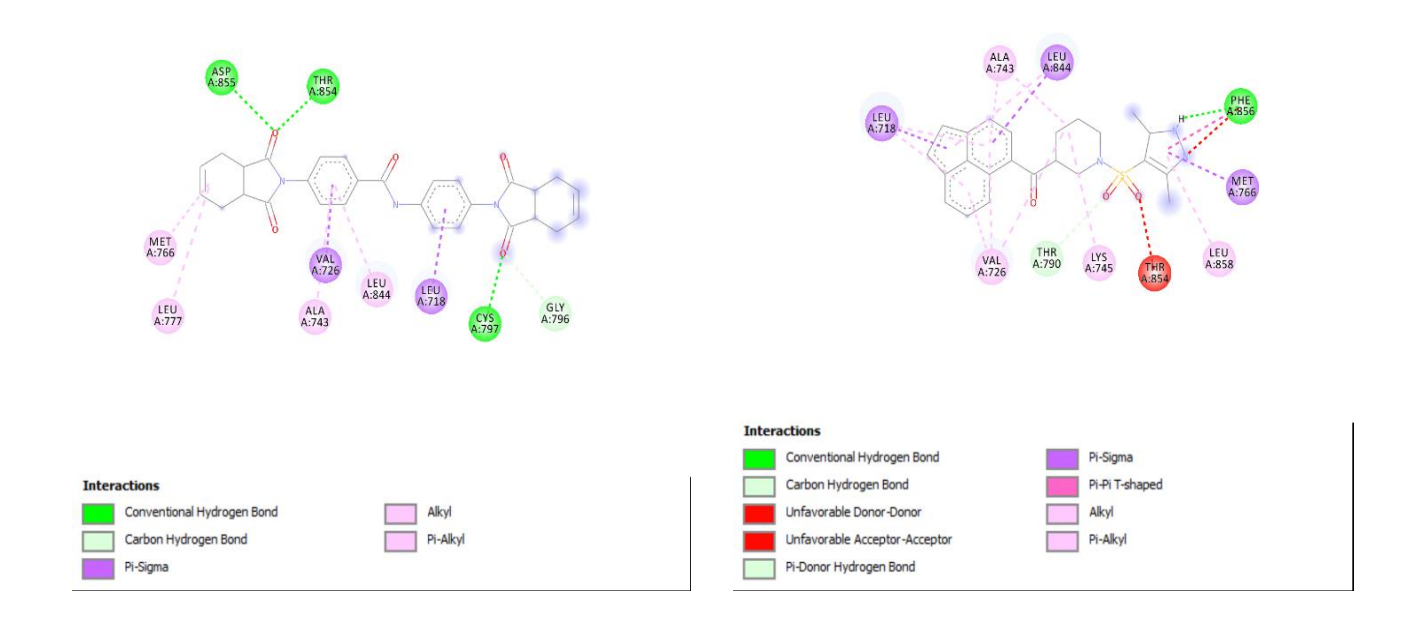
ZINC16672144

ZINC14981104



ZINC17744743

ZINC12577572



ZINC19745889

ZINC11839441

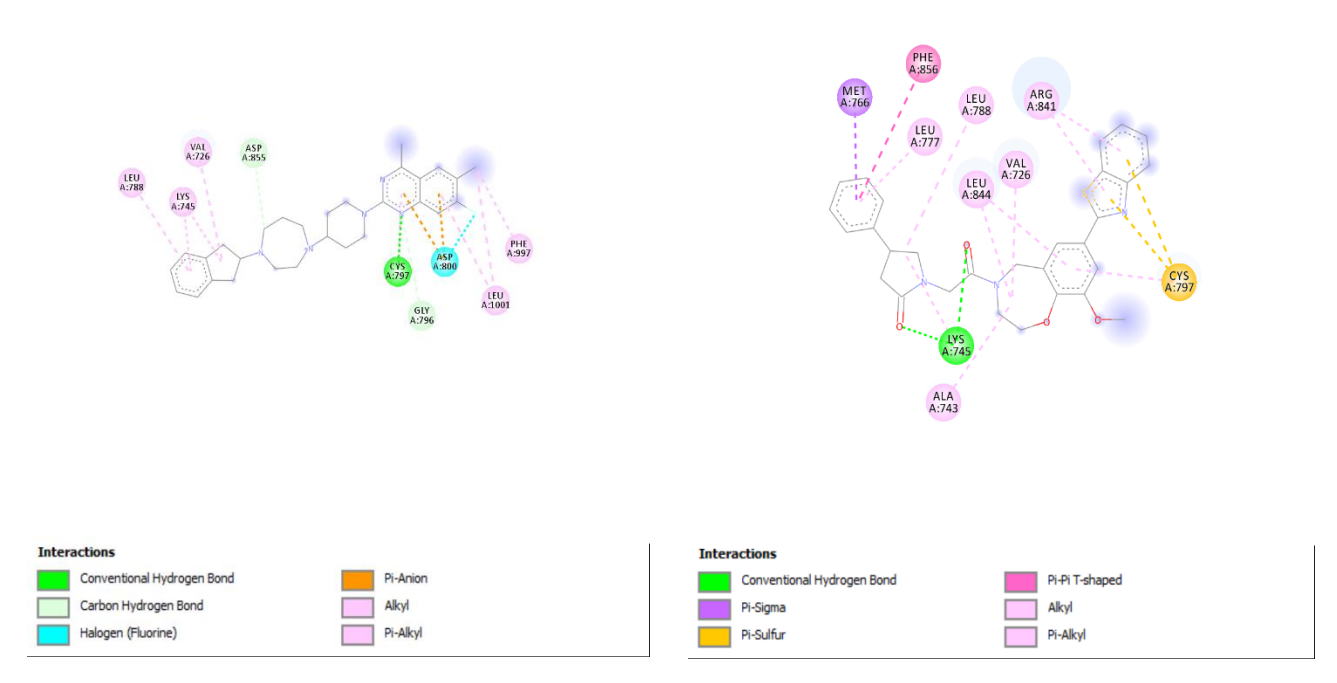


Рисунок 22. Межмолекулярные взаимодействия для соединений с энергией более 12 ккал/моль.

Таблица 3 — Скаффолды — Анилиз Взаимодействий Скаффолд 1

Код	Структурная формула	Conventional Hydrogen Bond	Pi-Cation	Pi-Sigma	Pi-Alkyl	Alkyl	Carbon Hydrogen Bond
ZINC16672144		CYS A:797 THR A:854 ASP A:855		VAL A:726	LEU A:1001 LEU A:718 LEU A:844 ALA A:743 LEU A:788 LEU A:777 MET A:766	LEU A:1001 LEU A:718 LEU A:844 ALA A:743 LEU A:788 LEU A:777 MET A:766	
ZINC13942194	H H H H H H H H H H H H H H H H H H H	THR A:854		VAL A:726	LYS A:745 LEU A:788 MET A:766 LEU A:858 ALA A:743 LEU A:718 LEU A:844 CYS A:797	LYS A:745 LEU A:788 MET A:766 LEU A:858 ALA A:743 LEU A:718 LEU A:844 CYS A:797	
ZINC16121551	H H O O H H H H O O H H H O O O O O O O	THR A:854		VAL A:726	LEU A:788 LEU A:858 LYS A:745 CYS A:797 LEU A:799 LEU A:844 ALA A:743	LEU A:788 LEU A:858 LYS A:745 CYS A:797 LEU A:799 LEU A:844 ALA A:743	ARG A:841
ZINC04523682	H. H. O		LYS A:745	VAL A:726	LEU A:844 LEU A:718 ALA A:743 LEU A:788	LEU A:844 LEU A:718 ALA A:743 LEU A:788	

ZINC13573343	H _{//.}	MET A:793	VAL A:726	LEU A:844	LEU A:844	
	H,,,	THR A:854		LEU A:788	LEU A:788	
	H H O N			LEU A:777	LEU A:777	
				LYS A:745	LYS A:745	
				ALA A:743	ALA A:743	
	H O COO-					

Код	Структурная формула	Conventional Hydrogen Bond	Pi-Sigma	Pi-Alkyl	Alkyl	Carbon Hydrogen Bond	Pi-Donor Hydrogen Bond	Halogen (Fluorine)	Pi-Pi T- shaped	Pi-Sulfur
ZINC14981104	Me N N N		THR A:790 MET A:766	ARG A:841 VAL A:726 LYS A:745 LEU A:777 ALA A:743 LEU A:844 CYS A:797	ARG A:841 VAL A:726 LYS A:745 LEU A:777 ALA A:743 LEU A:844 CYS A:797				PHE A:856	
ZINC14881642	Me N N N		THR A:790 MET A:766	ARG A:841 VAL A:726 LYS A:745 LEU A:777 ALA A:743 LEU A:844	ARG A:841 VAL A:726 LYS A:745 LEU A:777 ALA A:743 LEU A:844				PHE A:856	CYS A:797
ZINC12150701	CF ₃	PHE A:856 LYS A:745	VAL A:726 LEU A:844	LEU A:777 LEU A:718 ALA A:743	LEU A:777 LEU A:718 ALA A:743	MET A:766	MET A:766	ASN A:842 ASP A:855		

Код	Структурная формула	Conventional Hydrogen Bond	Pi-Sigma	Pi-Alkyl	Alkyl	Carbon Hydrogen Bond	Pi-Pi T- shaped	Pi-Anion	van der Waals	Amide -Pi Stacked
ZINC17744743	NH NH NH H	ASP A:855 THR A:854 CYS A:797	VAL A:726 LEU A:718	MET A:766 LEU A:777 ALA A:743 LEU A:844	MET A:766 LEU A:777 ALA A:743 LEU A:844	GLY A:796				
ZINC20058121			MET A:766 VAL A:726	LEU A:777 LEU A:718 CYS A:797 LYS A:745 ARG A:841 ALA A:743	LEU A:777 LEU A:718 CYS A:797 LYS A:745 ARG A:841 ALA A:743		PHE A:856			
ZINC15000830	Me NH	CYS A:797 LYS A:745	LEU A:844 THR A:790 MET A:766	ALA A:743 VAL A:726 LEU A:777		ASP A:855	PHE A:856 LEU A:718	ASP A:800	GLY A:719	PHE A:856 LEU A:718

	Код	Структурная формула	Conventional	Pi-Sigma	Pi-Alkyl	Alkyl	Carbon	Pi-Donor
			Hydrogen				Hydrogen Bond	Hydrogen
			Bond					Bond
L								

ZINC01062601	Me No	ASP A:855 THR A:854	ARG A:841 VAL A:726		LEU A:844 LEU A:718 ALA A:743 LYS A:745		
ZINC16425843	N O O O O O O O O O O O O O O O O O O O	ASN A:842 THR A:854 ASP A:855 LYS A:745	VAL A:726	LEU A:718 LEU A:844 LEU A:792 ALA A:743	LEU A:718 LEU A:844 LEU A:792 ALA A:743	GLY A:721 ALA A:722	GLY A:721 ALA A:722

Код	Структурная формула	Conventional Hydrogen Bond	Pi-Cation	Pi-Sigma	Pi-Alkyl	Alkyl	Carbon Hydrogen Bond	Pi-Donor Hydrogen Bond	Unfavorable Donor- Donor	Unfavorable Acceptor- Acceptor
ZINC12577572	N-NH Me O=S=O	PHE A:856		LEU A:718 LEU A:844 MET A:766	ALA A:743 VAL A:726 LYS A:745 LEU A:858	ALA A:743 VAL A:726 LYS A:745 LEU A:858	THR A:790	THR A:790	THR A:854	THR A:854
ZINC16475456		THR A:854 CYS A:797	LYS A:745		VAL A:726 ALA A:743 MET A:793 LEU A:792 LEU A:844	VAL A:726 ALA A:743 MET A:793 LEU A:792 LEU A:844				

Код	Структурная формула	Conventional Hydrogen Bond	Pi-Sigma	Pi-Alkyl	Alkyl	Carbon Hydrogen Bond	Halogen (Fluorine)	Pi-Pi T- shaped	Sait Bridge
ZINC19745889	F N N N N N N N N N N N N N N N N N N N	CYS A:797		LEU A:788 LYS A:745 VAL A:726 PHE A:997 LEU A:1001	LEU A:788 LYS A:745 VAL A:726 PHE A:997 LEU A:1001	ASP A:855 GLY A:796	ASP A:800		
ZINC12159161	HN O	ASP A:855 THR A:854	LEU A:718	MET A:766 LEU A:858 LEU A:777 CYS A:775 VAL A:726 ALA A:743 LEU A:844 LEU A:792	MET A:766 LEU A:858 LEU A:777 CYS A:775 VAL A:726 ALA A:743 LEU A:844 LEU A:792			PHE A:856	ASP A:855
ZINC11968575	F N N N N H ₂	PHE A:856	LEU A:718 VAL A:726	MET A:1002 LEU A:792 ALA A:743 LEU A:844 MET A:793 LEU A:777 CYS A:775 MET A:766	MET A:1002 LEU A:792 ALA A:743 LEU A:844 MET A:793 LEU A:777 CYS A:775 MET A:766				

Код	Структурная формула	Convention	Pi-Cation	Pi-Sigma	Pi-Alkyl	Alkyl	Carbon	Pi-	Pi-Pi	Attrac	Unfav	Pi-	Pi-
		al Hydrogen					Hydroge	Donor	T-	tive	orable	Sulfur	Anion
		Bond					n Bond	Hydro	shape	Charg	Donor		
								gen	d	e	-		
								Bond			Donor		

ZINC02081792	✓ Me		LYS A:745	LEU A:844	LEU A:718	LEU A:718	ASN	ASN		LYS		LYS
ZINC02081792	N I I		ASP A:855	VAL A:726	ALA A:743	ALA A:743	A:842	A3N A:842		A:745		A:745
	Me		ASF A.033	VAL A.720	LEU A:788	LEU A:788	ALA	ALA		ASP		ASP
					LEU A:858	LEU A:788	A:722	A:722		A:855		A:855
					MET A:766	MET A:766	A.122	A.722		A.033		A.033
	NH ⁺				ARG A:841	ARG A:841						
					AKU A.041	AKG A.041						
ZINC11937315				LEU A:844	VAL A:726				PHE	ASP		
	N N N			MET A:766	ALA A:743				A:856	A:855		
				LEU A:718	LEU A:777							
	🍑 🌱											
	O NH											
	NH ⁺											
	[[
	N N											
ZINC00998440	o-\	ASP A:855	LYS A:745	LEU A:844	LEU A:718		ASN					
	O	THR A:854		VAL A:726	ALA A:743		A:842					
					CYS A:797		ARG					
							A:841					
	人											
	O NH											
	N ⁻ Me											
	O N O											
ZINC08450974	Me O¬\	ARG A:841	LYS A:745	VAL A:726	ALA A:743							
ZINCU843U9/4	l Ă>	ANU A:041	L13 A:/43	LEU A:844	ALA A: /43							
				LEU A:844 LEU A:718								
				LEU A./18								
	l N											
	NO ₂											

ZINC12382813		1		LEU A:844	LEU A:788	LEU A:788	GLY			CYS	
ZINC12382813				LEU A:044	ALA A:722	ALA A:722	A:721			A:797	
					LYS A:745	LYS A:745	A. 721			A.191	
	Me Me				ARG A:841	ARG A:841					
					VAL A:726	VAL A:726					
	O NH				ALA A:743	ALA A:743					
	o o				LEU A:718	LEU A:718					
	N Me				LEU A./16	LEU A./16					
ZINC08396565	Me		LYS A:745	LEU A:718	ALA A:722	ALA A:722	ARG				
	N. A. N.			LEU A:844	VAL A:726	VAL A:726	A:841				
	Me				ALA A:743	ALA A:743					
					LEU A:788	LEU A:788					
					LEU A:858	LEU A:858					
	NH ⁺										
77N C00 (70 400		1 3/C A 7/47		THD 4 700	1 E11 A 222	I DI L 000					
ZINC00652480	N ↓ Me	LYS A:745		THR A:790	LEU A:777	LEU A:777					
		ASN A:842		VAL A:726	ALA A:743	ALA A:743					
		ASP A:855		LEU A:844	LEU A:718	LEU A:718 CYS A:797					
	NH				CYS A:797						
	O' NH NH ₂				ARG A:841	ARG A:841					
	s										
	Me										
ZINC12166309	A N A			VAL A:726	LEU A:792	LEU A:792	ASP	PHE			
	 				LEU A:844	LEU A:844	A:855	A:856			
					LEU A:718	LEU A:718					
					ALA A:743	ALA A:743					
	N Me				MET A:793	MET A:793					
					CYS A:775	CYS A:775					
					LEU A:777	LEU A:777					
					MET A:766	MET A:766					
					LEU A:858	LEU A:858					
					LYS A:745	LYS A:745					

ZINC06457312	CI NH			MET A:766	ALA A:722 ARG A:841 CYS A:797 LEU A:844 LYS A:745 VAL A:726 ALA A:743 LEU A:777	ALA A:722 ARG A:841 CYS A:797 LEU A:844 LYS A:745 VAL A:726 ALA A:743 LEU A:777			PHE A:856	THR A:854		
ZINC19840597	Me ⁻ N	THR A:854 ASP A:855	LYS A:745	VAL A:726 LEU A:844			ASN A:842					
ZINC02744807	Me NH O NH ₂	ASP A:855 ASN A:842 LYS A:745		LEU A:844 VAL A:726	ARG A:841 LEU A:718 ALA A:743	ARG A:841 LEU A:718 ALA A:743					CYS A:797	
ZINC00657400	N N O O D O D O D O D O D O D O D O D O	THR A:854 ASP A:855	LYS A:745	LEU A:844 VAL A:726	ALA A:743 LEU A:718 ARG A:841		ASN A:842 ALA A:722 SER A:720	ASN A:842 ALA A:722 SER A:720				

ZINC01073938		PHE	A:856	LEU A:788	LEU A:788	ASP			
	N N	LEU	A:844	LYS A:745	LYS A:745	A:855			
				ARG A:841	ARG A:841	GLY			
				VAL A:726	VAL A:726	A:721			
] "			LEU A:718	LEU A:718				
	O ŅH			ALA A:743	ALA A:743				
				LEU A:792	LEU A:792				
				MET A:793	MET A:793				
	HŅ								
	MeO								

Код	Структурная формула	Conventional Hydrogen Bond	Pi-Sigma	Pi-Alkyl	Alkyl	Carbon Hydrogen Bond	Pi-Pi T- shaped	Attractive Charge	Pi-Sulfur
ZINC11839441	OMe N	LYS A:745	MET A:766	LEU A:777 LEU A:788 ARG A:841 LEU A:844 VAL A:726 ALA A:743	LEU A:777 LEU A:788 ARG A:841 LEU A:844 VAL A:726 ALA A:743		PHE A:856		CYS A:797
ZINC12078429	HN N N N N N N N N N N N N N N N N N N	CYS A:797	LEU A:844	LEU A:777 MET A:766 VAL A:726 ALA A:743 LEU A:718	LEU A:777 MET A:766 VAL A:726 ALA A:743 LEU A:718	CYS A:775 MET A:793	PHE A:856	ASP A:855	
ZINC55099167	HN N+	LYS A:745	MET A:766 VAL A:726	LEU A:777 ARG A:841 ALA A:743	LEU A:777 ARG A:841 ALA A:743		PHE A:856	ASP A:855	

ZINC55154514	OH + H N N N N	THR A:854	THR A:790 LEU A:718 LEU A:1001	MET A:766 LEU A:777 ALA A:743 LEU A:844 VAL A:726 LYS A:745	MET A:766 LEU A:777 ALA A:743 LEU A:844 VAL A:726 LYS A:745			ASP A:800	
ZINC11784554	Me NH NH HH	ARG A:841 CYS A:797	LEU A:844	LEU A:777 VAL A:726 ALA A:743 LEU A:718	LEU A:777 VAL A:726 ALA A:743 LEU A:718	MET A:766 CYS A:775 MET A:793	PHE A:856	ASP A:855	

Код	Структурная формула	Conventional Hydrogen Bond	Pi-Sigma	Pi-Alkyl	Alkyl	Carbon Hydrogen Bond	Halogen (Fluorine)	Pi-Pi T- shaped	Attractive Charge	Pi-Sulfur
ZINC14733091	N N Me	LYS A:745		VAL A:726 LEU A:718 ALA A:743 LEU A:844 LEU A:777 MET A:766 CYS A:775	VAL A:726 LEU A:718 ALA A:743 LEU A:844 LEU A:777 MET A:766 CYS A:775	ARG A:841		PHE A:856	ASP A:855	CYS A:797
ZINC01116745	F O N O	LYS A:745	LEU A:844	VAL A:726 LEU A:718 ALA A:743 MET A:766 LEU A:777	VAL A:726 LEU A:718 ALA A:743 MET A:766 LEU A:777	ASP A:855	ARG A:841	PHE A:856		

Скаффолд 10

Код	Структурная формула	Conventional Hydrogen Bond	Pi-Sigma	Pi-Alkyl	Alkyl	Carbon Hydrogen Bond	Pi-Pi T-shaped
ZINC14948642	H H N Me	ASP A:855 THR A:854	VAL A:726	LEU A:777 MET A:766 LEU A:858 LYS A:745 LEU A:788 ALA A:743 LEU A:844	LEU A:777 MET A:766 LEU A:858 LYS A:745 LEU A:788 ALA A:743 LEU A:844	SER A:720	PHE A:856
ZINC11815136	John Me		LEU A:844	VAL A:726 ALA A:743 LYS A:745 LEU A:858 LEU A:788 CYS A:775 LEU A:777 MET A:766 ARG A:841	VAL A:726 ALA A:743 LYS A:745 LEU A:858 LEU A:788 CYS A:775 LEU A:777 MET A:766 ARG A:841		PHE A:856

Ī	Код	Структурная формула	Conventional	Pi-Sigma	Pi-Alkyl	Alkyl	Pi-Donor	Halogen	Pi-Pi T-	Attractive	Unfavor	Pi-
			Hydrogen		-		Hydrogen	(Fluorin	shaped	Charge	able	Anion
			Bond				Bond	e)	_	-	Donor-	
											Donor	
L												

ZINC15067641	HO NH	ASP A:855 CYS A:797	VAL A:726	ALA A:743 LEU A:844 LEU A:718 CYS A:775 LEU A:777 MET A:766			PHE A:856	ASP A:800		ASP A:800
ZINC12281012	F †HN HO	THR A:854 CYS A:797	VAL A:726 MET A:766	ARG A:841 LEU A:844 ALA A:743 LEU A:718 LEU A:777	ARG A:841 LEU A:844 ALA A:743 LEU A:718 LEU A:777	PHE A:856		ASP A:855		
ZINC14979863	HO HO NH		VAL A:726 MET A:766	LEU A:1001 ALA A:743 LEU A:844 LYS A:745 LEU A:777	LEU A:1001 ALA A:743 LEU A:844 LYS A:745 LEU A:777		PHE A:856	ASP A:800	THR A:854	

ZINC12217812	VAL A:726	ARG A:841	ARG A:841	ALA A:722		ASP A:855	
		LEU A:844	LEU A:844				
		ALA A:743	ALA A:743				
\bigcap N		MET A:766	MET A:766				
		PHE A:856	PHE A:856				
		LEU A:777	LEU A:777				

Код	Структурная формула	Conventional Hydrogen Bond	Pi-Cation	Pi-Sigma	Pi-Alkyl	Alkyl	Carbon Hydrogen Bond	Pi-Pi T- shaped	Pi-Sulfur	Pi-Anion
ZINC14991601	Meo NH			LEU A:844 MET A:766	CYS A:797 VAL A:726 LEU A:718 ALA A:743 LEU A:777	CYS A:797 VAL A:726 LEU A:718 ALA A:743 LEU A:777	GLY A:796	PHE A:856		ASP A:800
ZINC12163893	Me No No No S	THR A:854		MET A:766 LEU A:844	LEU A:777 LYS A:745 VAL A:726 ALA A:743 LEU A:718	LEU A:777 LYS A:745 VAL A:726 ALA A:743 LEU A:718	ASP A:855			
ZINC12152825	Me N	THR A:854		MET A:766	CYS A:797 LEU A:718 LEU A:777 VAL A:726 ALA A:743 LEU A:844	CYS A:797 LEU A:718 LEU A:777 VAL A:726 ALA A:743 LEU A:844	GLY A:796	PHE A:856		ASP A:800

ZINC12217169	N H N Me			LEU A:718 LEU A:844	CYS A:775 VAL A:726 PHE A:856 LEU A:777 MET A:766 LYS A:745 ALA A:743	CYS A:775 VAL A:726 PHE A:856 LEU A:777 MET A:766 LYS A:745 ALA A:743		CYS A:797	
ZINC14972327	O Me N	ALA A:722	LYS A:745	LEU A:844 LEU A:718	ALA A:743 VAL A:726	ALA A:743 VAL A:726	ASN A:842 LEU A:788 ARG A:841		

Код	Структурная формула	Conventional Hydrogen Bond	Pi-Sigma	Pi-Alkyl	Carbon Hydrogen Bond	Pi-Pi T-shaped
ZINC03879118	N_{N} N_{N	ALA A:743 LEU A:788	LEU A:844 ARG A:841	CYS A:797 LEU A:718 VAL A:726 LYS A:745 LEU A:777 MET A:766		PHE A:856
ZINC01109740			LEU A:844 LEU A:718	VAL A:726 ALA A:743 LYS A:745	ASP A:855 ASN A:842 ARG A:841	

Скаффолд 14

Код	Структурная формула	Conventional Hydrogen Bond	Pi-Sigma	Pi-Alkyl	Alkyl	Carbon Hydroge n Bond	Halogen (Fluorine)	Pi-Pi T- shaped	Attractive Charge	Pi- Sulfur	Pi-Anion
ZINC15007803	Me No	THR A:854 ASP A:855	THR A:790 PHE A:856 LEU A:844	MET A:766 LYS A:745 ALA A:743 LEU A:1001 LEU A:718 CYS A:797 VAL A:726 LEU A:777	MET A:766 LYS A:745 ALA A:743 LEU A:1001 LEU A:718 CYS A:797 VAL A:726 LEU A:777						ASP A:800
ZINC14990894	Me N N N N N N N N N N N N N N N N N N N	LYS A:745 THR A:854	VAL A:726 MET A:766 THR A:790	LEU A:777 ARG A:841 CYS A:797	LEU A:777 ARG A:841 CYS A:797	LEU A:788	ASP A:855	PHE A:856			
ZINC15007805	Me N-N	THR A:854	PHE A:856 THR A:790 LEU A:844	ALA A:743 LYS A:745 VAL A:726 MET A:766 LEU A:777 LEU A:718 LEU A:1001	ALA A:743 LYS A:745 VAL A:726 MET A:766 LEU A:777 LEU A:1001	LEU A:788				CYS A:797	ASP A:800

ZINC14971626	NH ⁺ Ne	MET A:766 THR A:790 LEU A:844	LYS A:745 VAL A:726 ALA A:743 CYS A:797 LEU A:718 LEU A:777	LYS A:745 VAL A:726 ALA A:743 CYS A:797 LEU A:718 LEU A:777	LEU A:788	ASP A:855	PHE A:856	ASP A:800	
ZINC12217934	NH N N N N N N N N N N N N N N N N N N	LEU A:844 MET A:766 THR A:790	LEU A:777 VAL A:726 ALA A:743 LYS A:745		LEU A:788	ASP A:855	PHE A:856		

Код	Структурная формула	Convention al Hydrogen Bond	Pi- Cation	Pi-Sigma	Pi-Alkyl	Alkyl	Carbo n Hydro gen Bond	Pi- Donor Hydro gen Bond	Halog en (Fluor ine)	Pi-Pi T- shape d	Unfav orable Donor - Donor	Pi- Sulfur	Pi- Anion
ZINC15000478	Me N-Me				MET A:1002 ALA A:743 LEU A:844 VAL A:726 LEU A:718 ARG A:841 LEU A:777	MET A:1002 ALA A:743 LEU A:844 VAL A:726 LEU A:718 ARG A:841 LEU A:777	PHE A:856 CYS A:775 MET A:766				THR A:854	CYS A:797	

			LEU A:844 MET A:766	LEU A:777 LEU A:788	LEU A:777 LEU A:788	A:855		A:856		
	$\langle \rangle$		THR A:790	LYS A:745	LYS A:745					
	~			ALA A:743	ALA A:743					
	HN O			MET A:1002	MET A:1002					
	H N Me									
ZINC11880518	Me N.	CYS A:797	THR A:790	LYS A:745	LYS A:745		ASP			ASP
ZII\C11000310	F F	CISA.III	VAL A:726	LEU A:844	LEU A:844		A:855			A:800
			LEU	LEU A:718	LEU A:718		11.000			71.000
	$\prec \gamma$		A:1001	ALA A:743	ALA A:743					
	HN O									
	H FO									
ZINC11880584		MET A:793	LEU A:844	ALA A:743	ALA A:743		PHE			
	F CF	THR A:854		LEU A:718	LEU A:718		A:856			
		ASP A:855		CYS A:797	CYS A:797					
	Me N			VAL A:726 CYS A:775	VAL A:726 CYS A:775					
	N Me			LEU A:777	LEU A:777					
				MET A:766	MET A:766					
				LEU A:858	LEU A:858					
ZINC12455997	N	LYS A:745	LEU A:718	CYS A:775	CYS A:775		ASP	PHE		
			MET A:766	LEU A:777	LEU A:777		A:855	A:856		
				LEU A:788	LEU A:788		ASN			
	o HN			LEU A:858	LEU A:858		A:842			
				LEU A:844	LEU A:844					
				VAL A:726	VAL A:726					
	F									

ZINC12455999	HN-O	MET A:793	MET A:766 LEU A:844	LEU A:777 CYS A:775 LEU A:788 LYS A:745 LEU A:858 CYS A:797 VAL A:726 LEU A:718 ALA A:743	LEU A:777 CYS A:775 LEU A:788 LYS A:745 LEU A:858 CYS A:797 VAL A:726 LEU A:718 ALA A:743			GLN A:791	PHE A:856		
ZINC12097474	HN Me		MET A:766 THR A:790 LEU A:718	LEU A:858 LEU A:788 LYS A:745 LEU A:777 CYS A:775 VAL A:726 ALA A:743 LEU A:844 CYS A:797	LEU A:858 LEU A:788 LYS A:745 LEU A:777 CYS A:775 VAL A:726 ALA A:743 LEU A:844 CYS A:797		ASP A:855		PHE A:856		
ZINC12100353	Me NH NH NH	THR A:854 ASP A:855		LEU A:777 CYS A:775 MET A:766 LEU A:718 ALA A:743 LEU A:792 LEU A:844 VAL A:726 ARG A:841	LEU A:777 CYS A:775 MET A:766 LEU A:718 ALA A:743 LEU A:792 LEU A:844 VAL A:726 ARG A:841						
ZINC12100354	Me NH		LEU A:844	MET A:766 PHE A:856 CYS A:775 MET A:793 ALA A:743 LEU A:718 LEU A:792 VAL A:726 ARG A:841	MET A:766 PHE A:856 CYS A:775 MET A:793 ALA A:743 LEU A:718 LEU A:792 VAL A:726 ARG A:841	ASP A:855					

ZINC11880519	HN PO	CYS A:797 ASP A:855	LYS A:745 ASP A:800	LEU A:844 VAL A:726 LEU A:1001	ALA A:743 LEU A:718	ALA A:743 LEU A:718			TYR A:998		LYS A:745 ASP A:800
ZINC12100352	Me NH NH	THR A:854 ASP A:855		LEU A:844	LEU A:777 MET A:793 ALA A:743 LEU A:718 LEU A:792 VAL A:726	LEU A:777 MET A:793 ALA A:743 LEU A:718 LEU A:792 VAL A:726	CYS A:775				

Код	Структурная формула	Pi-Cation	Pi-Sigma	Pi-Alkyl	Carbon Hydrogen Bond	Attractive Charge	Unfavorable Donor- Donor	Pi-Sulfur
ZINC04621970	S NH F		VAL A:726 LEU A:718	LEU A:777 MET A:766 LEU A:844 ALA A:743		ASP A:855	THR A:854	MET A:1002
ZINC03901817	N-C	LYS A:745	LEU A:718 VAL A:726	ALA A:743 LEU A:844 LEU A:788				

ZINC04086291	O _I	MET A:766	LEU A:777	PHE A:856	ASP A:855	LYS A:745	
		VAL A:726	ALA A:743				
		LEU A:718	LEU A:844				
	HŅ						
	HN s Ö						
	\(\tilde{\chi}\)\(\chi\)						

Код	Структурная формула	Conventional Hydrogen Bond	Pi-Sigma	Pi-Alkyl	Pi-Pi T-shaped	Attractive Charge
ZINC12100289	HN NH NH		MET A:766 LEU A:718 VAL A:726	LEU A:777 LEU A:858 LEU A:788 ALA A:743 LEU A:844 VAL A:726	PHE A:856	ASP A:855
ZINC11881643	NH NH NH OME		LEU A:718 VAL A:726	MET A:766 LEU A:777 LEU A:788 CYS A:775 LYS A:745 ALA A:743 LEU A:844	PHE A:856	ASP A:855
ZINC12190630	O OH OH	THR A:854	LEU A:1001 LEU A:718 THR A:790	LEU A:844 LYS A:745 VAL A:726 ALA A:743 LEU A:777 MET A:766		ASP A:800

Скаффолд 18

Код	Структурная формула	Convention al Hydrogen Bond	Pi-Sigma	Pi-Alkyl	Alkyl	Pi-Donor Hydrogen Bond	Pi-Pi T- shaped	Unfavorable Donor- Donor	Pi-Sulfur
ZINC20861408	N N N N N N N N N N N N N N N N N N N	LEU A:788 THR A:854	VAL A:726 LEU A:844 LEU A:718	MET A:766 LEU A:777 ALA A:743		ASP A:855	PHE A:856	LYS A:745	
ZINC20454241	Me HN Me		LEU A:844 THR A:790	VAL A:726 LEU A:788 ALA A:743 LYS A:745 CYS A:775 LEU A:777 MET A:766 LEU A:858	VAL A:726 LEU A:788 ALA A:743 LYS A:745 CYS A:775 LEU A:777 MET A:766 LEU A:858	ASP A:855	PHE A:856		CYS A:797 MET A:1002

Код	Структурная формула	Conventional Hydrogen Bond	Pi-Cation	Pi-Sigma	Pi-Alkyl	Carbon Hydrogen Bond	Pi-Anion
ZINC01234081	O=Me OMe OME O	ASP A:855 THR A:854 CYS A:797 LYS A:745		THR A:790 VAL A:726	LEU A:844 ALA A:743 LEU A:718	GLY A:796	ASP A:800
ZINC01211998	Me Ne Ne	THR A:854 ASP A:855	LYS A:745	LEU A:718 VAL A:726	ALA A:743 LEU A:844 LEU A:1001	GLY A:796	

Код	Структурная формула	Conventional Hydrogen Bond	Pi-Sigma	Pi-Alkyl	Alkyl	Carbon Hydrogen Bond	Pi-Donor Hydrogen Bond	Pi-Pi T- shaped	Unfavorable Donor- Donor
ZINC12127698	NH NNN	THR A:854	LEU A:718 LEU A:844 THR A:790	LEU A:792 ALA A:743 LEU A:777 MET A:766 LYS A:745 LEU A:788 VAL A:726	LEU A:792 ALA A:743 LEU A:777 MET A:766 LYS A:745 LEU A:788 VAL A:726	ASP A:855	ASP A:855	PHE A:856	
ZINC02410940	O Me N Me Me	CYS A:797	LEU A:844 LEU A:718 VAL A:726 MET A:766	LYS A:745 ALA A:743 LEU A:777				PHE A:856	THR A:854
ZINC01130505	O Me N H	LYS A:745	LEU A:718 VAL A:726	LEU A:844 ALA A:743 MET A:766 LEU A:777				PHE A:856	

ZINC04172285	N.Me NO ₂	LYS A:745 THR A:854	VAL A:726 LEU A:844 MET A:766	LEU A:718 ALA A:743 LEU A:777	LEU A:718 ALA A:743 LEU A:777	ASP A:855	PHE A:856	
ZINC01130504	O Me N N H		LEU A:718 VAL A:726	ALA A:743 LEU A:844 MET A:766 CYS A:775 LEU A:777			PHE A:856	

Код	Структурная формула	Conventional Hydrogen Bond	Pi-Cation	Pi-Sigma	Pi-Alkyl	Alkyl	Halogen (Fluorine)	Pi-Pi T- shaped	Pi-Sulfur
ZINC01176783	Me Me	ASP A:855 LYS A:745		VAL A:726 THR A:790	LEU A:718 LEU A:777 CYS A:797	LEU A:718 LEU A:777 CYS A:797	MET A:766 CYS A:775		

ZINC02970170	ON NH		LYS A:745	LEU A:844	LEU A:718 ALA A:743 VAL A:726 LEU A:777 CYS A:775 MET A:766		PHE A:856	CYS A:797
ZINC16247167	Et NH	THR A:854 MET A:793		LEU A:844 THR A:790 MET A:766	ALA A:743 LEU A:718 VAL A:726 LYS A:745 LEU A:777		PHE A:856	
ZINC01176817	Me Me ON NH			THR A:790	MET A:1002 LEU A:718 LEU A:844 VAL A:726 ALA A:743 PHE A:856 LEU A:777 MET A:766 LYS A:745	MET A:1002 LEU A:718 LEU A:844 VAL A:726 ALA A:743 PHE A:856 LEU A:777 MET A:766 LYS A:745		

Код	Структурная формула	Convent	Pi-	Pi-Sigma	Pi-Alkyl	Alkyl	Carbon	Pi-	Halog	Pi-Pi T-	Attrac	Unfav	Pi-	Unfav
		ional	Cation				Hydroge	Donor	en	shaped	tive	orable	Anion	orable
		Hydroge					n Bond	Hydro	(Fluor		Charg	Donor		Positi
		n Bond						gen	ine)		e	-		ve-
								Bond				Donor		Positi
														ve

ZINC14881651	THE NAME OF THE PARTY OF THE PA			LEU A:718 MET A:766	LEU A:844 ALA A:743 LEU A:777				PHE A:856	ASP A:855	LYS A:745		
ZINC23311717	HO THN NH	THR A:790		VAL A:726 LEU A:718	ALA A:743 LEU A:844					ASP A:855	LYS A:745		
ZINC14991521	Me N +HN			LEU A:718 MET A:766	ALA A:743 LEU A:844 LEU A:777 CYS A:797		ARG A:841 ASN A:842 ASP A:855	ARG A:841 ASN A:842 ASP A:855	PHE A:856				LYS A:745
ZINC12244720	Me HN	THR A:854	ASP A:855 ASP A:800 LYS A:745	LEU A:844 LEU A:1001	VAL A:726 ALA A:743	VAL A:726 ALA A:743	ARG A:841		TYR A:998		ASP A:855 ASP A:800 LYS A:745	ASP A:855 ASP A:800 LYS A:745	

ZINC11933214	F	LEU A:777	CYS A:775		LEU	PHE	ASP		
		MET A:766	LEU A:844		A:718	A:856	A:855		
	Ĭ I		ALA A:743						
	HN								
	_ "\\								
	†HŇ								
	↓ N								
	N N								

Код	Структурная формула	Conventional Hydrogen Bond	Pi-Cation	Pi-Sigma	Pi-Alkyl	Alkyl	Carbon Hydrogen Bond	Attractive Charge	Pi- Sulfur	Pi-Anion
ZINC14957750	NH ⁺ ND			LEU A:1001		VAL A:726 LYS A:745 LEU A:718	PHE A:856		CYS A:797	
ZINC12027625	NH*	CYS A:797	LYS A:745 ASP A:800		LEU A:788 ALA A:743 LEU A:844 VAL A:726 LEU A:1001	LEU A:788 ALA A:743 LEU A:844 VAL A:726 LEU A:1001	GLY A:796	LYS A:745 ASP A:800		LYS A:745 ASP A:800
ZINC14962133	ON NO Me	LYS A:745		THR A:790	MET A:766 LEU A:777 LEU A:788 ALA A:743 VAL A:726 LEU A:844 LEU A:718	MET A:766 LEU A:777 LEU A:788 ALA A:743 VAL A:726 LEU A:844 LEU A:718	ASP A:800			

Код	Структурная формула	Conventional Hydrogen Bond	Pi-Sigma	Pi-Alkyl	Alkyl	Pi-Donor Hydrogen Bond	Halogen (Fluorine)	Pi-Pi T- shaped	Pi-Sulfur	Pi-Anion
ZINC11782277	N N N N N N N N N N N N N N N N N N N	CYS A:797	MET A:766 VAL A:726 LEU A:718 LEU A:844	LEU A:788 LEU A:777 CYS A:775 ALA A:743	LEU A:788 LEU A:777 CYS A:775 ALA A:743					ASP A:800
ZINC11711029		CYS A:797	MET A:766	LEU A:1001 LEU A:718 ALA A:743 LEU A:844 VAL A:726 LEU A:777		ASP A:855	ARG A:776	PHE A:856	MET A:1002	

Код	Структурная формула	Conventional Hydrogen Bond	Pi-Sigma	Pi-Alkyl	Alkyl	Pi-Pi T- shaped	Unfavorable Acceptor- Acceptor
ZINC14752265	Me N N O=S=O	ASP A:855 LYS A:745	MET A:766 LEU A:718	LEU A:777 ALA A:743 LEU A:844 VAL A:726		PHE A:856	ASN A:842

ZINC00893131		LEU A:844	ALA A:743	ALA A:743	PHE A:856	
		LEU A:718	VAL A:726	VAL A:726		
	Ý		LYS A:745	LYS A:745		
	O=\$=O		MET A:766	MET A:766		
	N.		LEU A:777	LEU A:777		
			CYS A:775	CYS A:775		
	N					
	1 .					
	0					
	//					

Код	Структурная формула	Conventional Hydrogen Bond	Pi-Cation	Pi-Sigma	Pi-Alkyl	Alkyl	Pi-Pi T- shaped	Pi-Anion
ZINC16512356	HE O	CYS A:797	ASP A:800 LYS A:745	VAL A:726 LEU A:1001	LEU A:788 ALA A:743 LEU A:718	LEU A:788 ALA A:743 LEU A:718		ASP A:800 LYS A:745

ZINC14980371		LEU A:718	VAL A:726	PHE A:856	
		MET A:766	LYS A:745		
			LEU A:788		
	N_N		LEU A:777		
	NH+		LEU A:844		

Код	Структурная формула	Conventional Hydrogen Bond	Pi-Cation	Pi-Sigma	Pi-Alkyl	Alkyl	Carbon Hydrogen Bond	Attractive Charge	Pi-Sulfur
ZINC01067881	N-N HN			VAL A:726 LEU A:718	ARG A:841 LEU A:777 LEU A:844		MET A:766		CYS A:797
ZINC15000481	Me NH N N		LYS A:745	LEU A:718	LEU A:844 MET A:793 LEU A:792 ALA A:743 VAL A:726 LEU A:858 MET A:766 LEU A:788 ALA A:722	LEU A:844 MET A:793 LEU A:792 ALA A:743 VAL A:726 LEU A:858 MET A:766 LEU A:788 ALA A:722			

ZINC08424573		LYS A:745	LEU A:844	ALA A:743	LEU A:718	ASP A:800	CYS A:797
			VAL A:726	LEU A:788			
	_\\\\\\\\\\\\\\\\\\\\\\\\\\\\\\\\\\\						

Код	Структурная формула	Conventional Hydrogen Bond	Pi-Sigma	Pi-Alkyl	Alkyl	Carbon Hydrogen Bond	Pi-Pi T- shaped
ZINC12038651	S N-Me N-N		MET A:766 LEU A:844	LEU A:858 VAL A:726 LYS A:745 ALA A:743 LEU A:718 CYS A:775 PHE A:856 LEU A:777	LEU A:858 VAL A:726 LYS A:745 ALA A:743 LEU A:718 CYS A:775 PHE A:856 LEU A:777	ASP A:855 ARG A:841	
ZINC00815318	N N F F	LYS A:745	VAL A:726 LEU A:844	MET A:793 LEU A:792 LEU A:718 ALA A:743 CYS A:775 MET A:766 LEU A:777	MET A:793 LEU A:792 LEU A:718 ALA A:743 CYS A:775 MET A:766 LEU A:777		PHE A:856

Код	Структурная формула	Convention al Hydrogen Bond	Pi-Cation	Pi-Sigma	Pi-Alkyl	Alkyl	Pi-Pi T- shaped	Attractive Charge	Pi-Anion
ZINC13816063	NH NH Me N-N Me	THR A:854	ASP A:855 LYS A:745	MET A:766	LEU A:777 LEU A:718 LEU A:844 VAL A:726 ALA A:743	LEU A:777 LEU A:718 LEU A:844 VAL A:726 ALA A:743		ASP A:855 LYS A:745	
ZINC18114177	OMe OMe OMe Me Me	THR A:854	LYS A:745 ASP A:855	MET A:766	VAL A:726 LEU A:844 LEU A:718 ALA A:743	VAL A:726 LEU A:844 LEU A:718 ALA A:743	PHE A:856	LYS A:745 ASP A:855	
ZINC06058014	NH OHN S	LYS A:745 THR A:854			MET A:766 LEU A:777 ALA A:743 LEU A:718 VAL A:726 LEU A:844	MET A:766 LEU A:777 ALA A:743 LEU A:718 VAL A:726 LEU A:844		ASP A:855	ASP A:855

Ī	Код	Структурная	Convention	Pi-Sigma	Pi-Alkyl	Alkyl	Carbon	Pi-Donor	Halogen	Pi-Pi T-	Pi-Anion
		формула	al Hydrogen				Hydrogen	Hydrogen	(Fluorine)	shaped	
			Bond				Bond	Bond			
L											

ZINC16475473	O NH	CYS A:797 THR A:854 LYS A:745	LEU A:1001 THR A:790	ALA A:743 LEU A:718 VAL A:726 LEU A:844	ALA A:743 LEU A:718 VAL A:726 LEU A:844					ASP A:800
ZINC15072852		LEU A:777	LEU A:844	CYS A:797 VAL A:726 LEU A:718 ALA A:743 LEU A:844 LYS A:745	CYS A:797 VAL A:726 LEU A:718 ALA A:743 LEU A:844 LYS A:745	GLY A:796 ASP A:855	GLY A:796 ASP A:855	CYS A:775 ARG A:776 MET A:766	PHE A:856	

Код	Структурная формула	Conventional Hydrogen Bond	Pi-Cation	Pi-Sigma	Pi-Alkyl	Alkyl	Carbon Hydrogen Bond	Pi-Anion
ZINC03119224			LYS A:745	LEU A:718 VAL A:726	ALA A:743 LEU A:844 LEU A:788			

ZINC19811025		CYS A:797	LEU A:1001	LEU A:718	LEU A:718	GLY A:796	ASP A:800
			LEU A:844	ALA A:743	ALA A:743		
	, , , , ,		VAL A:726				
	N O						
	Ň						

Код	Структурная формула	Conventional Hydrogen Bond	Pi-Sigma	Pi-Alkyl	Pi-Pi T-shaped	Attractive Charge	Unfavorable Donor-Donor
ZINC14881650	HN HN HN	LYS A:745	LEU A:718	CYS A:775 MET A:766 LEU A:777 ALA A:743 LEU A:844	PHE A:856	ASP A:855	
ZINC14881652	HN HN HN		LEU A:718	LEU A:844 ALA A:743 LEU A:777 MET A:766	PHE A:856	ASP A:855	LYS A:745

Код	Структурная формула	Conventional Hydrogen Bond	Pi-Sigma	Pi-Alkyl	Alkyl	Carbon Hydrogen Bond	Halogen (Fluorine)	Unfavorable Donor-Donor

ZINC20201834	O N H H N N N N N N N N N N N N N N N N	MET A:793	LEU A:718 LEU A:844	VAL A:726 ALA A:743 LEU A:792 LYS A:745	VAL A:726 ALA A:743 LEU A:792 LYS A:745			
ZINC15008172	HO II. II. II. III. III. III. III. III.	PHE A:856 ASP A:855	VAL A:726 LEU A:718	LEU A:718 ALA A:743 CYS A:775 LEU A:777 MET A:766	LEU A:718 ALA A:743 CYS A:775 LEU A:777 MET A:766	GLY A:796	MET A:793	LYS A:745

Код	Структурная формула	Pi-Sigma	Pi-Alkyl	Alkyl	Pi-Pi T- shaped	Attractive Charge
ZINC12307312	H N NH ⁺	MET A:766 LEU A:718	ALA A:743 LEU A:844 VAL A:726 LEU A:777		PHE A:856	ASP A:855

ZINC20149127	A H	MET A:766	LEU A:777	LEU A:777	PHE A:856	
		LEU A:718	LEU A:844	LEU A:844		
	N - 0		ALA A:743	ALA A:743		
	│		VAL A:726	VAL A:726		
			LYS A:745	LYS A:745		
	OMe					

Код	Структурная формула	Conventional Hydrogen Bond	Pi-Cation	Pi-Sigma	Pi-Alkyl	Alkyl	Carbon Hydrogen Bond	Unfavorable Donor- Donor	Pi-Anion	Sait Bridge
ZINC02273547	HN COO		ASP A:800 LYS A:745	LEU A:1001 LEU A:718	LEU A:844 LEU A:788 ALA A:743 VAL A:726			CYS A:797	ASP A:800 LYS A:745	
ZINC02860492	NC CN Me	THR A:854 ASP A:855 MET A:793	LYS A:745	VAL A:726	LEU A:788 LEU A:777 LEU A:718 LEU A:844 ALA A:743 ARG A:841	LEU A:788 LEU A:777 LEU A:718 LEU A:844 ALA A:743 ARG A:841	GLY A:796		LYS A:745	
ZINC02910679	HN O Me Me Me	ASP A:855 MET A:793 LYS A:745		LEU A:844	MET A:766 LEU A:777 ALA A:743 LEU A:718 VAL A:726	MET A:766 LEU A:777 ALA A:743 LEU A:718 VAL A:726				

ZINC01459336		THR A:854	ASP A:855	LEU A:718	LEU A:844		LYS A:745	ASP A:855	ASP A:855
				THR A:790	ALA A:743				
					VAL A:726				
					LEU A:788				
	Me								
	Me								

Код	Структурная формула	Conventional Hydrogen Bond	Pi-Cation	Pi- Sigma	Pi-Alkyl	Carbo n Hydro gen Bond	Halogen (Fluorine)	Pi-Pi T- shape d	Attrac tive Charg e	Pi- Sulfur	Pi-Anion	Sait Bridge
ZINC00918739	OF N-N HN	LYS A:745 THR A:854	ASP A:855 ASP A:800	LEU A:718	LEU A:777 MET A:766 CYS A:775 VAL A:726	MET A:793	ALA A:743 ILE A:789 LEU A:788	PHE A:856			ASP A:855 ASP A:800	ASP A:855 ASP A:800
ZINC00865295	O HN O F ₃ C	MET A:793 THR A:854		LEU A:844	LYS A:745 LEU A:788 VAL A:726 ALA A:743 LEU A:777 CYS A:775		GLY A:796		ASP A:855	MET A:766		

Код	Структурная формула	Conventional Hydrogen Bond	Pi-Sigma	Pi-Alkyl	Carbon Hydrogen Bond	Pi-Pi T- shaped	Attractive Charge
-----	------------------------	----------------------------------	----------	----------	----------------------------	--------------------	----------------------

ZINC13898584	<u>-</u> 00C	ASN A:842	MET A:766	LEU A:777	GLY A:721	PHE A:856	ARG A:841
		LYS A:745	THR A:790	ALA A:743			
	\ <u> </u>	THR A:854	VAL A:726				
	N/H		LEU A:718				
	N A		LEU A:844				
	0=						
	N-N						
	S N						

Код	Структурная формула	Pi-Cation	Pi-Sigma	Pi-Alkyl	Pi-Pi T-shaped
ZINC12375824	-000C	LYS A:745	LEU A:718 LEU A:1001 VAL A:726	CYS A:775 LEU A:777 MET A:766 ALA A:743 LEU A:844	PHE A:856

Код	Структурная формула	Conventional Hydrogen Bond	Pi-Sigma	Pi-Alkyl	Alkyl
ZINC02469579	0	LYS A:745	LEU A:844 LEU A:718	ALA A:743 LEU A:788 VAL A:726	ALA A:743 LEU A:788 VAL A:726

Скаффолд 40

Код	Структурная формула	Convention al Hydrogen Bond	Pi-Sigma	Pi-Alkyl	Alkyl	Pi-Pi T-shaped
ZINC01207445	Me O N O O N O O N N O O	ASP A:855 LYS A:745 THR A:854	LEU A:718 VAL A:726 MET A:766	LEU A:844 LEU A:788 ALA A:743 LEU A:777	LEU A:844 LEU A:788 ALA A:743 LEU A:777	PHE A:856

Код	Структурная формула	Convention al Hydrogen Bond	Pi-Cation	Pi-Sigma	Pi-Alkyl	Alkyl	Pi-Pi T- shaped
ZINC06456132	NH* NH OH NH OH	ASP A:855 THR A:854 ARG A:841	LYS A:745	MET A:766 LEU A:718	LEU A:777 ALA A:743 VAL A:726 LEU A:844 MET A:1002	LEU A:777 ALA A:743 VAL A:726 LEU A:844 MET A:1002	PHE A:856

Код Структурная формула	Conventional Hydrogen Bond	Pi-Sigma	Pi-Alkyl	Alkyl	Pi-Pi T-shaped
-------------------------	----------------------------------	----------	----------	-------	----------------

ZINC12307254		THR A:854	LEU A:718	VAL A:726	VAL A:726	PHE A:856
	Me	ASP A:855	LEU A:844	MET A:793	MET A:793	
	Me Me		LEU A:777	LEU A:792	LEU A:792	
	Wie N		MET A:766	ALA A:743	ALA A:743	
	HN					
	Ñ-ŃH					

Код	Структурная формула	Pi-Sigma	Pi-Alkyl	Alkyl	Pi-Pi T-shaped	Attractive Charge
ZINC02816431	Me N+H ₂ H	MET A:766	LEU A:777 LYS A:745 VAL A:726 ALA A:743 LEU A:718 CYS A:797 LEU A:844	LEU A:777 LYS A:745 VAL A:726 ALA A:743 LEU A:718 CYS A:797 LEU A:844	PHE A:856	ASP A:855

Код	Структурная формула	Convention al Hydrogen Bond	Pi-Sigma	Pi-Alkyl	Alkyl	Halogen (Fluorine)	Pi-Pi T- shaped	Attractive Charge	Pi-Sulfur
ZINC11909809	S NH**	LEU A:777 THR A:854	LEU A:718 VAL A:726	ALA A:743 LYS A:745	ALA A:743 LYS A:745	MET A:766 CYS A:775 ARG A:776	PHE A:856	ASP A:855	MET A:1002

Код	Структурная формула	Pi-Sigma	Pi-Alkyl	Alkyl	Carbon Hydrogen Bond	Pi-Pi T-shaped	Attractive Charge
ZINC39508529	NH CH	LEU A:718	ALA A:743 VAL A:726 LEU A:844 ARG A:841 LEU A:777 MET A:766	ALA A:743 VAL A:726 LEU A:844 ARG A:841 LEU A:777 MET A:766	GLN A:791	PHE A:856	ASP A:855

Скаффолд 46

Код	Структурная формула	Pi-Sigma	Pi-Alkyl	Alkyl	Attractive Charge
ZINC12589244	NH ⁺	MET A:766 VAL A:726	LEU A:777 LEU A:792 ALA A:743 LEU A:844 LEU A:718	LEU A:777 LEU A:792 ALA A:743 LEU A:844 LEU A:718	ASP A:855

Код	Структурная формула	Conventional Hydrogen Bond	Pi-Sigma	Pi-Alkyl
ZINC00348369	CN N N O NH ₂	LYS A:745	LEU A:844 VAL A:726	LEU A:718 ALA A:743 LEU A:788

Код	Структурная формула	Convention al Hydrogen Bond	Pi-Alkyl	Alkyl	Carbon Hydrogen Bond	Pi-Donor Hydrogen Bond	Halogen (Fluorine)	Pi-Sulfur
ZINC15000539	N N N N N N N N N N N N N N N N N N N	CYS A:797 LYS A:745	LEU A:844 LEU A:718 VAL A:726 ALA A:743 LEU A:788	LEU A:844 LEU A:718 VAL A:726 ALA A:743 LEU A:788	ASP A:800	ASP A:800	GLY A:719	MET A:1002

Код	Структурная формула	Pi-Cation	Pi-Sigma	Pi-Alkyl	Pi-Pi T-shaped	Attractive Charge
						Ü

ZINC12658617	H	LYS A:745	LEU A:718	LEU A:777	PHE A:856	ASP A:855
			LEU A:844	ALA A:743		
			MET A:766	VAL A:726		
	l			LEU A:858		
	HN—COO-					
	NH ⁺					
	Me					
	l`Me Me					

Код	Структурная формула	Pi-Sigma	Pi-Alkyl	Pi-Donor Hydrogen Bond
ZINC02949066	O S NH	LEU A:718 THR A:790 MET A:766	LEU A:844 ALA A:743 VAL A:726 LYS A:745 LEU A:777	PHE A:856 ASP A:855

Скаффолд 51

Код	Структурная формула	Conventional Hydrogen Bond	Pi-Cation	Pi-Sigma	Pi-Alkyl	Alkyl	Pi-Pi T-shaped
ZINC12456087	MeO NO	THR A:854 ASP A:855	LYS A:745	MET A:766	VAL A:726 CYS A:797 LEU A:718 LEU A:844 ALA A:743 LEU A:777	VAL A:726 CYS A:797 LEU A:718 LEU A:844 ALA A:743 LEU A:777	PHE A:856

Код	Структурная формула	Conventional Hydrogen Bond	Pi-Sigma	Pi-Alkyl	Alkyl	Carbon Hydrogen Bond
ZINC15659565	N O N N N CF3	ASP A:855 THR A:854 MET A:793	MET A:766 VAL A:726 LEU A:718	LEU A:777 ALA A:743 LEU A:844 LEU A:792	LEU A:777 ALA A:743 LEU A:844 LEU A:792	PHE A:856

Код	Структурная формула	Convention al Hydrogen Bond	Pi-Sigma	Pi-Alkyl	Alkyl	Carbon Hydrogen Bond	Pi-Donor Hydrogen Bond	Attractive Charge	Pi-Sulfur
ZINC14731266	N Me O OH NH ⁺	PHE A:856	VAL A:726	MET A:793 LEU A:792 ALA A:743 LEU A:844 ALA A:722 MET A:766 LEU A:777	MET A:793 LEU A:792 ALA A:743 LEU A:844 ALA A:722 MET A:766 LEU A:777	ARG A:841	ARG A:841	ASP A:855	CYS A:797

Скаффолд 54

Код	Структурная формула	Conventional Hydrogen Bond	Pi-Sigma	Pi-Alkyl	Pi-Pi T-shaped
ZINC02921533	O + H NH Me	LYS A:745	VAL A:726 LEU A:844	LEU A:777 MET A:766 ALA A:743 LEU A:718 ARG A:841	PHE A:856

Код	Структурная формула	Conventional Hydrogen Bond	Pi-Sigma	Pi-Alkyl	Alkyl	Carbon Hydrogen Bond
ZINC11879918	O Me NH O Me Me Me	THR A:854 LYS A:745	MET A:766 LEU A:718 VAL A:726	LEU A:844 ALA A:743 LEU A:777	LEU A:844 ALA A:743 LEU A:777	ASP A:855

Код	Структурная формула	Pi-Sigma	Pi-Alkyl	Alkyl
ZINC18208001	O ₂ N CI	VAL A:726	ARG A:841	ARG A:841
ZINC10200001	O O O O O O O O O O O O O O O O O O O	VAL A./20	CYS A:797 LEU A:844 ALA A:743 MET A:766 LEU A:777 PHE A:856	CYS A:797 LEU A:844 ALA A:743 MET A:766 LEU A:777 PHE A:856

Код	Структурная формула	Conventional Hydrogen Bond	Pi-Cation	Pi-Sigma	Pi-Alkyl	Alkyl	Pi-Anion

ZINC14961506	O Me	ASP A:800	LYS A:745	LEU A:1001	LEU A:718	LEU A:718	LYS A:745
	i s	CYS A:797			LEU A:788	LEU A:788	
	O NH						
	NH NH						
	NI I						
	HN						

Код	Структурная формула	Pi-Sigma	Pi-Alkyl	Alkyl	Carbon Hydrogen Bond	Pi-Donor Hydrogen Bond	Pi-Pi T- shaped	Attractive Charge
ZINC11880903	Me Z+ IZ Z O H	LEU A:1001 VAL A:726 MET A:766	ALA A:743 LEU A:844 LEU A:777	ALA A:743 LEU A:844 LEU A:777	ASP A:855	ASP A:855	PHE A:856	ASP A:800

Код	Структурная формула	Conventional Hydrogen Bond	Pi-Sigma	Pi-Alkyl	Alkyl	Halogen (Fluorine)	Pi-Pi T-shaped

ZINC00658328	Ме	ASP A:855	VAL A:726	CYS A:797	CYS A:797	MET A:766	PHE A:856
		LYS A:754	THR A:790	LEU A:718	LEU A:718	CYS A:775	
				LEU A:777	LEU A:777		
	O N S						
	NH						
	Ö						
	F						

Код	Структурная формула	Pi-Sigma	Pi-Alkyl	Alkyl	Pi-Donor Hydrogen Bond	Halogen (Fluorine)	Unfavorable Acceptor- Acceptor
ZINC13810141	F ₃ C NH O S S S S	VAL A:726	CYS A:797 LEU A:777 ALA A:743 LEU A:844 LEU A:718	CYS A:797 LEU A:777 ALA A:743 LEU A:844 LEU A:718	ASP A:855	CYS A:775 MET A:766 ARG A:776	THR A:854

Код	Структурная формула	Convention al Hydrogen Bond	Pi-Cation	Pi-Sigma	Pi-Alkyl	Alkyl	Pi-Sulfur	Pi-Anion

ZINC02996660		LYS A:745	ASP A:855	LEU A:777	ALA A:743	ALA A:743	MET A:766	ASP A:855
				LEU A:718	LEU A:844	LEU A:844		
]			VAL A:726	ARG A:841	ARG A:841		
	Me N Me				LEU A:858	LEU A:858		
	0, 1,0							
	N N N							

Код	Структурная формула	Conventional Hydrogen Bond	Pi-Sigma	Pi-Alkyl	Alkyl
ZINC11976549	Me NH O O	LYS A:745	LEU A:844 THR A:790	ARG A:841 ALA A:743 VAL A:726 LEU A:718	ARG A:841 ALA A:743 VAL A:726 LEU A:718

Код	Структурная формула	Pi-Sigma	Pi-Alkyl	Alkyl

ZINC16677431	CI	LEU A:718	MET A:1002	MET A:1002
			LEU A:1001	LEU A:1001
			LEU A:844	LEU A:844
	O N-N H		ALA A:743	ALA A:743
			VAL A:726	VAL A:726
			CYS A:775	CYS A:775
			MET A:766	MET A:766
			LYS A:745	LYS A:745
			LEU A:777	LEU A:777
			LEU A:788	LEU A:788

Код	Структурная формула	Conventional Hydrogen Bond	Pi-Alkyl	Alkyl	Carbon Hydrogen Bond	Halogen (Fluorine)
ZINC11968964	GF ₃ O O O	LYS A:745 ASP A:855	MET A:766 LEU A:777 CYS A:775 LEU A:858 LEU A:844 ALA A:743 VAL A:726 LEU A:718	MET A:766 LEU A:777 CYS A:775 LEU A:858 LEU A:844 ALA A:743 VAL A:726 LEU A:718	ARG A:841 ASN A:842	PHE A:856

Код	Структурная формула	Pi-Sigma	Pi-Alkyl	Alkyl	Pi-Sulfur

ZINC18250094		VAL A:726	MET A:1002	MET A:1002	CYS A:797
	>-7		ALA A:743	ALA A:743	
			LEU A:844	LEU A:844	
	H, > 0.0		ARG A:841	ARG A:841	
	O F		LEU A:718	LEU A:718	
	N H		LEU A:1001	LEU A:1001	
	% %				
	CI				
	CI				

Код	Структурная формула	Conventional Hydrogen Bond	Pi-Sigma	Pi-Alkyl	Alkyl	Pi-Pi T-shaped
ZINC05013094	N NH Me N NH Me Me	LYS A:745 THR A:854	MET A:766 VAL A:726 LEU A:844	LEU A:777 LEU A:718 MET A:793 LEU A:792 ALA A:743	LEU A:777 LEU A:718 MET A:793 LEU A:792 ALA A:743	PHE A:856

Скаффолд 67

Код	Структурная формула	Pi-Sigma	Pi-Alkyl	Alkyl	Carbon Hydrogen Bond	Halogen (Fluorine)	Pi-Pi T-shaped
ZINC11783833	Me N F	MET A:766 THR A:790 LEU A:844	CYS A:797 LEU A:718 LEU A:777 VAL A:726 ALA A:743 LYS A:745	CYS A:797 LEU A:718 LEU A:777 VAL A:726 ALA A:743 LYS A:745	LEU A:788	ASP A:855	PHE A:856

Код	Структурная формула	Conventional Hydrogen Bond	Pi-Alkyl	Alkyl	Unfavorable Donor-Donor	Pi-Anion	Unfavorable Acceptor- Acceptor
ZINC11911609	HZ Z Me Z O O O Me Z O O Me Me Me	ASP A:855	LEU A:1001 TYR A:998 PHE A:997 LEU A:718 LEU A:777 MET A:766 PHE A:856 LYS A:745 ALA A:743 VAL A:726 LEU A:844	LEU A:1001 TYR A:998 PHE A:997 LEU A:718 LEU A:777 MET A:766 PHE A:856 LYS A:745 ALA A:743 VAL A:726 LEU A:844	CYS A:797 THR A:854	ASP A:800	CYS A:797 THR A:854

Код	Структурная формула	Conventional Hydrogen Bond	Pi-Cation	Pi-Sigma	Pi-Alkyl	Alkyl	Carbon Hydrogen Bond	Attractive Charge
ZINC14991009	Me NH*	ASP A:855 THR A:854	ASP A:800 LYS A:745 GLU A:804	VAL A:726 LEU A:718	ALA A:743 LEU A:844 LEU A:718	ALA A:743 LEU A:844 LEU A:718	GLY A:796	ASP A:800 LYS A:745 GLU A:804

3. ЭКСПЕРИМЕНТАЛЬНАЯ ЧАСТЬ

3.1. Коммерческая база ChemBridge

Исследуемая библиотека структур низкомолекулярных соединений, содержащая 138000 соединений, была построена на основе базы данных ZINC.

Полученные sdf файлы из базы [149] с помощью программного скрипта трансформировались в следующей последовательности: sdf-pdb-pdbqt. Полученные файлы с расширением pdbqt использовались в дальнейшем для соответствующих расчетов.

3.2. Молекулярный докинг

Высокопроизводительный молекулярный докинг производили с применением программы AutoDock Vina интегрированной в программу РуРх. В качестве мишени использовалась структура нормальной формы EGFR киназы (код в Protein Data Bank: 3W33) с предварительно удаленным лигандов, молекулами воды и атомами водорода. Размер gfridbox составил 54.2239×49.7276×58.3709, значение exhaustiveness 100.

3.3. Анализ межмолекулярных взаимодействий

Анализ и визуализацию межмолекулярных взаимодействий лиганд – белок производили в программном пакете DiscoveryStudio с применением стандартных инструментов.

ЗАКЛЮЧЕНИЕ

По результатам проделанной работы можно сделать следующие выводы:

- 1. С помощью высокопроизводительного молекулярного докинга проанализировано 138000 низкомолекулярных органических соединений. На основании полученных данных отобрано свыше 350 соединений, имеющих высокие значения энергии связывания на уровне 11 ккал/моль и выше.
- 2. На основание современных представлений о drug-like профиле соединений, с применением правил Липински, найдено 157 уникальных структур (69 скаффолдов), рекомендованных для биологических испытаний in vitro на предмет связывания с EGFR-киназой.
- 3. Для найденных структур получены детальные структурные данные об особенностях межмолекулярного взаимодействия с активным сайтом связывания EGFR-киназы. Полученные данные имеют большое значение для дальнейшей синтетической модификации структуры найденных соединений, с целью повышения аффинности к исследуемой биологической мишени.

ЛИТЕРАТУРА

- 1. Yarden Y. Untangling the erbB signaling network. / Y. Yarden, M.X. Sliwkowski // Nat Rev Mol Cell Biol. 2 (2001). C. 127-137.
- 2. Holbro T. ErbB receptors: Directing key signaling networks throughout life / T. Holbro, N.E. Hynes // Annu Rev Pharmacol Toxicol. 44 (2004). C. 195–217.
- 3. Epidermal growth factor-related peptides and their receptors in human malignancies / D.S. Salomon, R. Brandt, F. Ciardiello, N. Normanno // Crit Rev Oncol Hematol. 19 (1995). C. 183–232.
- 4. Significance of the c-erbB family of receptor tyrosine kinases in metastatic cancer and their potential as targets for immunotherapy / S.A. Eccles [и др.] // Invasion Metastasis. 14 (1994–1995). С. 337–348.
- 5. Woodburn J.R. The epidermal growth factor receptor and its inhibition in cancer therapy/ J. R. Woodburn // Pharmacol Ther. 82 (1999). C. 241–250.
- 6. Wells A. Tumor invasion: Role of growth factor-induced cell motility / A. Wells // Adv Cancer Res. 78 (2000). C. 31–101.
- 7. Salomon D.S. Epidermal growth factor-related peptides and their receptors in human malignancies / D. S. Salomon, R. Brandt, F. Ciardiello // Crit Rev Oncol Hematol. 19 (1995). C. 183–232.
- 8. Ethier S.P. Signal transduction pathways: The molecular basis for targeted therapies / S.P. Ethier // Semin Radiat Oncol. 12 (2002). C. 3–10.
- 9. Slamon D.J. Human breast cancer: Correlation of relapse and survival with amplification of the HER-2/neu oncogene / D.J. Slamon // Science. 235(1987). C. 177–182.
- 10. Carpenter G. Epidermal growth factor / G. Carpenter, S. Cohen // Annu Rev Biochem. 48 (1979). C. 193–216.
- 11. Herbst R.S. Epidermal growth factor receptors as a target for cancer treatment: The emerging role of IMC-C225 in the treatment of lung and head and neck cancer / R.S. Herbst, C. J. Langer // Semin Oncol. 29 (2002). C. 27–36.
- 12. Ennis B.W. The EGF receptor system as a target for antitumor therapy / B.W. Ennis, M.E. Lippman, R.B. Dickson // Cancer Invest. 9 (1991). C. 553–562.

- 13. Kondapaka S.B. Epidermal growth factor and amphiregulin up-regulate matrix metalloproteinase-9 (MMP-9) in human breast cancer cells / S.B. Kondapaka, R. Fridman, K.B. Reddy // Int J Cancer. 70 (1997). C. 722–726.
- 14. A comparison of epidermal growth factor receptor levels and other prognostic parameters in non-small cell lung cancer / S. Fujino [и др.] // Eur J Cancer. 32 (1996). С. 2070–2074.
- 15. Franklin W.A. Epidermal growth factor receptor family in lung cancer and premalignancy / W.A. Franklin, R. Veve, F.R Hirsch // Semin Oncol. 29 (2002). C. 3–14.
- 16. Pawson T. SH2 and SH3 domains / T. Pawson, J. Schlessinger // Curr Biol. 3 (1993). C. 434–442.
- 17. Yarden Y. The EGFR family and its ligands in human cancer. Signalling mechanisms and therapeutic opportunities / Y. Yarden // Eur J Cancer. 37 (2001). C. 3–8.
- 18. Harris R.C. EGF receptor ligands / R.C. Harris, E. Chung, R.J. Coffey // Exp Cell Res. 284 (2003). C. 2–13.
- 19. Heterodimerization of epidermal growth factor receptor and wild-type or kinase-deficient Neu: A mechanism of interreceptor kinase activation and transphosphorylation / X. Qian // Proc Natl Acad Sci USA. 91(1994). C. 1500–1504.
- 20. Quian X.L. P185c-neu and epidermal growth factor receptor associate into a structure composed of activated kinases / X.L. Quian, S.J. Decker, M.I. Greene // Proc Natl Acad Sci USA. 89 (1992). C. 1330–1334.
- 21. Kinase-deficient neu proteins suppress epidermal growth factor receptor function and abolish cell transformation / X. Qian, W.C. Dougall, M.E. Hellman, M.I. Greene // Oncogene. 9 (1994). –C. 1507–1514.
- 22. Crystal structure of the complex of human epidermal growth factor and receptor extracellular domains / H. Ogiso [и др.] // Cell. 110(2002). С. 775–787.
- 23. Structure of the extracellular region of HER-2 alone and in complex with the

- Herceptin Fab / H.S. Cho [и др.] // Nature. 421 (2003). С. 756–760.
- 24. Cho H.S. Structure of the extracellular region of HER3 reveals an interdomain tether / H.S. Cho, D.J. Leahy // Science. 297 (2002). C. 1330–1333.
- 25. Crystal structure of a truncated epidermal growth factor receptor extracellular domain bound to transforming growth factor alpha / T.P. Garrett [и др.] // Cell. 110 (2002). С. 763–773.
- 26. Stoichiometry, kinetic and binding analysis of the interaction between epidermal growth factor (EGF) and the extracellular domain of the EGF receptor / T. Domagala [и др.] // Growth Factors. 18 (2000). С. 11–29.
- 27. Two EGF molecules contribute additively to stabilization of the EGFR dimer / M. A. Lemmon [и др.] // EMBO J. 16 (1997). С. 281–294.
- 28. EGF activates its receptor by removing interactions that autoinhibit ectodomain dimerization / K.M. Ferguson [μ др.] // Mol Cell. 11 (2003). C. 507–517.
- 29. Ferguson K.M. Active and inactive conformations of the epidermal growth factor receptor / K.M. Ferguson // Biochem Soc Trans. 32 (2004). C. 742–745.
- 30. ErbB-2, the preferred heterodimerization partner of all erbB receptors, is a mediator of lateral signaling / D. Graus-Porta, R.R. Beerli, J.M. Daly, N.E. Hynes // EMBO J. 16 (1997). C. 1647–1655.
- 31. Insect cell-expressed p180erbB3 possesses an impaired tyrosine kinase activity / P.M. Guy [и др.] // Proc Natl Acad Sci USA. 91 (1994). С. 8132–8136.
- 32. Citri A. The deaf and the dumb: The biology of erbB-2 and erbB-3 / A. Citri, K.B. Skaria, Y. Yarden // Exp Cell Res. 284 (2003). C. 54–65.
- 33. Stamos J. Structure of the epidermal growth factor receptor kinase domain alone and in complex with a 4-anilinoquinazoline inhibitor / J. Stamos, M.X. Sliwkowski, C. Eigenbrot // J Biol Chem. 277 (2002). C. 46265–46272.
- 34. A unique structure for epidermal growth factor receptor bound to GW572016

- (Lapatinib): Relationships among protein conformation, inhibitor off-rate, and receptor activity in tumor cells / E.R. [и др.] // Wood Cancer Res. 64 (2004). С. 6652–6659.
- 35. Hubbard S.R. Crystal structure of the activated insulin receptor tyrosine kinase in complex with peptide substrate and ATP analog / S.R. Hubbard // EMBO J. -16 (1997). -C. 5572–5581.
- 36. Mohammadi M. Structure of the FGF receptor tyrosine kinase domain reveals a novel autoinhibitory mechanism / M. Mohammadi, J. Schlessinger, S.R. Hubbard // Cell. 86 (1996). C. 577–587.
- 37. Yamaguchi H. Structural basis for activation of human lymphocyte kinase Lck upon tyrosine phosphorylation / H. Yamaguchi, W.A. Hendrickson // Nature. 384 (1996). C. 484–489.
- 38. A highly conserved tyrosine residue at codon 845 within the kinase domain is not required for the transforming activity of human epidermal growth factor receptor / N. Gotoh [μ др.] // Biochem Biophys Res Commun. 186 (1992). C. 768–774.
- 39. Mendelsohn J. Blockade of receptors for growth factors: An anticancer therapy / J. Mendelsohn // Clin Cancer Res. 6 (2000). C. 747–753.
- 40. Mendelsohn J. Epidermal growth factor receptor inhibition by monoclonal antibody as anticancer therapy / J. Mendelsohn // Clin Cancer Res. 3 (1997). C. 2703–2707.
- 41. Antitumor effect of anti-epidermal growth factor receptor monoclonal antibodies plus cis-diamminedichloroplatiunum on well established A431 cell xenografts / Z. Fan, J. Baselga, H. Masui, J. Mendelsohn // Cancer Res. 53 (1992). C. 4637–4642.
- 42. Antitumor effects of doxorubicin in combination with anti-epidermal growth factor receptor monoclonal antibodies / J. Baselga [и др.] // J Natl Cancer Inst. 85 (1993). С. 1327–1333.
- 43. Herbst R.S. Epidermal growth factor receptors as a target for cancer treatment: The emerging role of IMC-C225 in the treatment of lung and head and

- neck cancers / R.S. Herbst, C.J. Langer // Semin Oncol. 29 (2002). C. 27–36.
- 44. Baselga J. The EGFR as a target for anticancer therapy—focus on cetuximab / J. Baselga // Eur J Cancer. 37 (2001). C. 16–22.
- 45. Biological efficacy of a chimeric antibody to the epidermal growth factor receptor in a human tumor xenograft model / N.I. Goldstein [и др.] // Clin Cancer Res. 1 (1995). С. 1311–1318.
- 46. The biologic effects of C225, a chimeric monoclonal antibody to the EGFR, on human prostate carcinoma / M. Prewett [и др.] // J Immunother Tumor Immunol. 19 (1996). С. 419–427.
- 47. Harari P.M. Radiation response modification following molecular inhibition of epidermal growth factor receptor signaling / P.M. Harari, S.M. Huang // Semin Radiat Oncol. 11 (2001). C. 281–289.
- 48. Huang S.M. Modulation of radiation response after epidermal growth factor blockade in sqamous cell carcinomas: Inhibition of damage repair, cell cycle kinetics and tumor angiogenesis / S.M. Huang, P.M. Harari // Clin Cancer Res. 6 (2000). C. 2166–2174.
- 49. In vivo enhancement of tumor radioresponse by C225 antiepidermal growth factor receptor antibody / L. Milas [и др.] // Clin Cancer Res. -6 (2000). C. 701-708.
- 50. Antitumor activity of sequential treatment with topotecan and antiepidermal growth factor receptor monoclonal antibody C225 / F. Ciardiello [μ др.] // Clin Cancer Res. 5 (1999). C. 909–916.
- 51. Epidermal growth factor receptor blockade with C225 plus gemcitabine results in regression of human pancreatic carcinoma growing orthotopically in nude mide by antiangiogenic mechanisims / C.J. Bruns [μ др.] // Clin Cancer Res. 6 (2000). C. 1936–1948.
- 52. Phase III trial comparing cisplatin (C) þ placebo (P) to C þ anti-epidermal growth factor antibody (EGF-R) C225 in patients (pts) with metastatic/recurrent head & neck cancer (HNC) / B.A. Burtness [и др.] // Proc Am Soc Clin Oncol. 21 (2002). C. 226.

- 53. Development of ABX-EGF, a fully human anti-EGF receptor monoclonal antibody, for cancer therapy / X.D. Yang [и др.] // Crit Rev Oncol Hematol. 38 (2001). С. 17–23.
- 54. Lynch D.H. Therapeutic potential of ABX-EGF: A fully human anti-epidermal growth factor receptor monoclonal antibody for cancer treatment / D.H. Lynch, X.D. Yang // Semin Oncol. 29 (2002). C. 47–50.
- 55. Safety, pharmacokinetics, and activity of ABX-EGF, a fully human antiepidermal growth factor receptor monoclonal antibody in patients with metastatic renal cell cancer / E.K. Rowinsky [и др.] // J Clin Oncol. 1;22 (2004). С. 3003–3015.
- 56. Antitumor activity of antiepidermal growth factor receptor monoclonal antibodies and cisplatin in ten human head and neck squamous cell carcinoma lines / T. Hoffman [и др.] // Anticancer Res. 17 (1997). С. 4419–4426.
- 57. Tumor necrosis factor alpha sensitizes low epidermal growth factor receptor (EGFR)-expressing carcinomas for anti-EGFR therapy / M. Hambek [и др.] // Cancer Res. 61 (2001). С. 1045–1049.
- 58. Magnetic resonance imaging in an orthotopic rat model: Blockade of epidermal growth factor receptor with EMD72000 inhibits human pancreatic carcinoma growth / C. Bangard [и др.] // Int J Cancer. 114 (2005). С. 131–138.
- 59. Clinical trial with escalating doses of the antiepidermal growth factor receptor humanized monoclonal antibody EMD 72 000 in patients with advanced squamous cell carcinoma of the larynx and hypopharynx / H. Bier [и др.] // Cancer Chemother Pharmacol. 47 (2001). C. 519–524.
- 60. Antiproliferative, antiangiogenic and proapoptotic activity of h-R3: A humanized anti-EGFR antibody / T. Crombet-Ramos, J. Rak, R. Perez, A. Viloria-Petit // Int J Cancer. 101 (2002). C. 567–575.
- 61. Pharmacological evaluation of humanized anti-epidermal growth factor receptor, monoclonal antibody h-R3, in patients with advanced epithelial-derived cancer / T. Crombet [и др.] // J Immunother. 26 (2003). С. 139–148.

- 62. Phase I trial and tumour localisation of the anti-EGFR monoclonal antibody ICR62 in head and neck or lung cancer / H. Modjtahedi [и др.] // Br J Cancer. 73 (1996). С. 228–235.
- 63. Targeting of cells expressing wild-type EGFR and type-III mutant EGFR (EGFRvIII) by anti-EGFR MAb ICR62: A two-pronged attack for tumour therapy / H. Modjtahedi [и др.] // Int J Cancer. 105 (2003). С. 273–280.
- 64. Biodistribution of 99mTc-labeled anti-human epidermal growth factor receptor (EGF-R) humanized monoclonal antibody h-R3 in a xenograft model of human lung adenocarcinoma / A. Morales-Morales [и др.] // Nucl Med Biol. 26 (1999). C. 275–279.
- 65. Radiotoxicity of h-R3 monoclonal antibody labeled with 188Re administered intracerebrally in rats / B. Gonzalez [и др.] // Hum Exp Toxicol. 19 (2000). C. 684–692.
- 66. Fanger M.W. Use of bispecific antibodies in the therapy of tumors / M.W. Fanger, P.M. Morganelli, P.M. Guyre // Cancer Treat Res. 68 (1993). C. 181–194.
- 67. Curnow R.T. Clinical experience with CD64-directed immunotherapy: An overview / R.T. Curnow // Cancer Immunol Immunother. 45 (1997). C. 210–215.
- 68. Production of macrophage-activated killer cells for targeting of glioblastoma cells with bispecific antibody to Fc gamma RI and the epidermal growth factor receptor / P.K. Wallace [и др.] // Cancer Immunol Immunother. 49 (2000). С. 493–503.
- 69. Cytolytic and cytostatic properties of an anti-human Fc gamma RI (CD64) × epidermal growth factor bispecific fusion protein / J. Goldstein [и др.] // J Immunol. 158 (1997). C. 872–879.
- 70. Mechanism of action of trastuzumab and scientific update / J. Baselga, J. Albanell, M.A. Molina, J. Arribas // Semin Oncol. 28 (2001). C. 4–11.
- 71. Mechanism of action of anti-HER-2 monoclonal antibodies: Scientific update on trastuzumab and 2C4 / J. Albanell [и др.] // Adv Exp Med Biol. 532 (2003).

- C. 253-268.
- 72. Nonclinical studies addressing the mechanism of action of trastuzumab (Herceptin) / M.X. Sliwkowski [и др.] // Semin Oncol. 26 (1999). С. 60–70.
- 73. ErbB2 potentiates breast tumor proliferation through modulation of p27 (Kip1) Cdk2 complex formation: Receptor overexpression does not determine growth dependency / H.A. Lane [и др.] // Mol Cell Biol. 20 (2000). С. 3210–3223.
- 74. Herceptininduced inhibition of phosphatidylinositol-3 kinase and Akt is required for antibody-mediated effects on p27, cyclin D1, and antitumor action / F.M. Yakes [и др.] // Cancer Res. 62 (2002). С. 4132–4141.
- 75. Trastuzumab (Herceptin), a humanized anti-HER-2 receptor monoclonal antibody, inhibits basal and activated HER-2 ectodomain cleavage in breast cancer cells / M.A. Molina [и др.] // Cancer Res. 61 (2001). С. 4744–4749.
- 76. Dimerization of the p185neu transmembrane domain is necessary but not sufficient for transformation / C.L. Burke [и др.] // Oncogene. 14 (1997). С. 687–696.
- 77. Insights into erbB signaling from the structure of the erbB2-pertuzumab complex / M.C. Franklin [и др.] // Cancer Cell. 5 (2004). С. 317–328.
- 78. Targeting ligand-activated erbB2 signaling inhibits breast and prostate tumor growth / D.B. Agus [и др.] // Cancer Cell. 2 (2002). С. 127–137.
- 79. Nahta R. The HER-2-targeting antibodies trastuzumab and pertuzumab synergistically inhibit the survival of breast cancer cells / R. Nahta, M.C. Hung, F.J. Esteva // Cancer Res. 64 (2004). C. 2343–2346.
- 80. A specific inhibitor of the epidermal growth factor receptor tyrosine kinase / D.W. Fry [и др.] // Science. 265 (1994). С. 1093–1095.
- 81. Epidermal growth factor receptor tyrosine kinase. Investigation of catalytic mechanism, structure based searching and discovery of a potent inhibitor / W.H.J. Ward [и др.] // Biochem Pharmacol. 48 (1994). С. 659–666.
- 82. Synthesis and SAR of potent EGFR/erbB2 dual inhibitors / Y.M. Zhang [и др.] // Bioorg Med Chem Lett. 14 (2004). С. 111–114.

- 83. Woodburn J.R. 4-Anilinoquinazolines—a potential new therapy for major human solid tumors overexpressing the EGF receptor / J.R. Woodburn, A.J. Barker // Br J Cancer. 74 (1996). C. 18–24.
- 84. The biological and biochemical effects of CP-654577, a selective erbB2 kinase inhibitor, on human breast cancer cells / E.G. Barbacci [и др.] // Cancer Res. -63 (2003). -C. 4450–4459.
- 85. ZD1839, a selective oral epidermal growth factor receptortyrosine kinase inhibitor, is well tolerated and active in patients with solid, malignant tumors: Results of a phase I trial / M. Ranson [и др.] // J Clin Oncol. 20 (2002). С. 2240–2250.
- 86. Multicenter phase II study of erlotinib, an oral epidermal growth factor receptor tyrosine kinase inhibitor, in patients with recurrent or metastatic squamous cell cancer of the head and neck / D. Soulieres [μ др.] // J Clin Oncol. -22 (2004) C. 77-85.
- 87. The effects of the novel, reversible epidermal growth factor receptor/erbB-2 tyrosine kinase inhibitor, GW2016, on the growth of human normal and tumor-derived cell lines in vitro and in vivo / D.W. Rusnak [μ др.] // Mol Cancer Ther. 1(2001). C. 85–94.
- 88. Pierce A.C. Kinase inhibitors and the case for CH···O hydrogen bonds in protein-ligand binding / A.C. Pierce, K.L. Sandretto, G.W. Bemis // Proteins. 49 (2002). C. 567–576.
- 89. Tyrosine kinase inhibitors. 8. An unusually steep structure-activity relationship for analogues of 4-(3- bromoanilino)-6,7-dimethoxyquinazoline (PD 153035), a potent inhibitor of the epidermal growth factor receptor / A.J. Bridges [и др.] // J Med Chem. 39 (1996). С. 267–276.
- 90. 4-Anilino-6,7- dialkoxyquinoline-3-carbonitrile inhibitors of epidermal growth factor receptor kinase and their bioisosteric relationship to the 4-anilino-6,7-dialkoxyquinazoline inhibitors / A. Wissner [и др.] // J Med Chem. 43 (2000). С. 3244–3256.
- 91. Achieving selectivity between highly homologous tyrosine kinases: A novel

- selective erbB2 inhibitor / S.K. Bhattacharya [и др.] // Biochem Biophys Res Commun. 307 (2003). С. 267–273.
- 92. Discovery and biological evaluation of potent dual erbB-2/EGFR tyrosine kinase inhibitors: 6-thiazolylquinazolines / M.D. Gaul [и др.] // Bioorg Med Chem Lett. 13 (2003). С. 637–640.
- 93. The synthesis and SAR of new 4-(N-alkyl-N-phenyl)amino-6,7-dimethoxyquinazolines and 4-(N-alkyl-N-phenyl)aminopyrazolo [3,4-d]pyrimidines, inhibitors of CSFIR tyrosine kinase activity / M.R. Myers [и др.] // Bioorg Med Chem Lett. 7 (1997). С. 421–424.
- 94. Elucidating inhibitory models of the inhibitors of epidermal growth factor receptor by docking and 3D-QSAR / Chen G [μ др.] // Bioorg Med Chem. 12 (2004). C. 2409–2417.
- 95. Assefa H. 3D-QSAR and docking studies on 4-anilinoquinazoline and 4-anilinoquinoline epidermal growth factor receptor (EGFR) tyrosine kinase inhibitors / H. Assefa, S. Kamath, J.K. Buolamwini // J Comput Aided Mol Des. 17 (2003). C. 475–493.
- 96. Mapping the binding site of a large set of quinazoline type EGF-R inhibitors using molecular field analyses and molecular docking studies / T. Hou, L. Zhu, L. Chen, X Xu // J Chem Inf Comput Sci. 43 (2003). C. 273–287.
- 97. Design of EGFR kinase inhibitors: A ligand-based approach and its confirmation with structure-based studies / A. Vema [μ др.] // Bioorg Med Chem. 11 (2003). C. 4643–4653.
- 98. Specific, irreversible inactivation of the epidermal growth factor receptor and erbB2, by a new class of tyrosine kinase inhibitor / D.W. Fry [и др.] // Proc Natl Acad Sci USA. 95 (1998). С. 12022–12027.
- 99. CI-1033, an irreversible pan-erbB receptor inhibitor and its potential application for the treatment of breast cancer / L.F. Allen, I.A. Eiseman, D.W. Fry, P.F. Lenehan // Semin Oncol. 30 (2003). C. 65–78.
- 100. Antitumor activity of HKI-272, an orally active, irreversible inhibitor of the HER-2 tyrosine kinase / S.K. Rabindran [и др.] // Cancer Res. 64 (2004). С.

- 3958-3965.
- 101. 6-Substituted-4-(3- bromophenylamino)quinazolines as putative irreversible inhibitors of the epidermal growth factor receptor (EGFR) and human epidermal growth factor receptor (HER-2) tyrosine kinases with enhanced antitumor activity / H.R. Tsou [и др.] // J Med Chem. 44 (2001). –C. 2719–2734.
- 102. Tyrosine kinase inhibitors. 15. 4-(Phenylamino)quinazoline and 4-(phenylamino)pyrido[d]pyrimidine acrylamides as irreversible inhibitors of the ATP binding site of the epidermal growth factor receptor / J.B. Smaill [μ др.] // J Med Chem. 42 (1999). C. 1803–1815.
- 103. Tyrosine kinase inhibitors. 17. Irreversible inhibitors of the epidermal growth factor receptor: 4-(phenylamino)quinazoline- and 4-(phenylamino)pyrido[3,2-d]pyrimidine-6-acrylamides bearing additional solubilizing functions / J.B. Smaill [и др.] // J Med Chem. 43 (2000). С. 1380–1397.
- 104. Tyrosine kinase inhibitors. 18. 6-Substituted 4-anilinoquinazolines and 4-anilinopyrido[3,4-d]pyrimidines as soluble, irreversible inhibitors of the epidermal growth factor receptor / J.B. Smaill [и др.] // J Med Chem. 44 (2001). С. 429–440.
- 105. Optimization of 6,7-disubstituted-4-(arylamino)quinoline-3-carbonitriles as orally active, irreversible inhibitors of human epidermal growth factor receptor-2 kinase activity / H.R. Tsou [и др.] // J Med Chem. 48 (2005). С. 1107–1131. 106. Irreversible inhibition of epidermal growth factor receptor tyrosine kinase with in vivo activity by N-[4-[(3-bromophenyl) amino]-6-quinazolinyl]-2-butynamide (CL-387,785) / C.M. Discafani [и др.] // Biochem Pharmacol. 57 (1999). С. 917–925.
- 107. Tyrosine kinase inhibitors. 10. Isomeric 4-[(3-bromophenyl)amino]pyrido[d]-pyrimidines are potent ATP binding site inhibitors of the tyrosine kinase function of the epidermal growth factor receptor / G.W. Rewcastle [и др.] // J Med Chem. 39 (1996). С. 1823–1835.
- 108. Tyrosine kinase inhibitors. 12. Synthesis and structure-activity relationships

- for 6-substituted 4-(phenylamino)pyrimido[5,4-d]pyrimidines designed as inhibitors of the epidermal growth factor receptor / G.W. Rewcastle [μ др.] // J Med Chem. 40 (1997). C. 1820–1826.
- 109. Tyrosine kinase inhibitors. 9. Synthesis and evaluation of fused tricyclic quinazoline analogues as ATP site inhibitors of the tyrosine kinase activity of the epidermal growth factor receptor / G.W. Rewcastle [и др.] // J Med Chem. 39 (1996). С. 918–928.
- 110. Tyrosine kinase inhibitors. 16. 6,5,6-tricyclic benzothieno[3,2-d]pyrimidines and pyrimido[5,4-b]- and -[4,5-b]indoles as potent inhibitors of the epidermal growth factor receptor tyrosine kinase / H.D. Showalter [и др.] // J Med Chem/ 42 (1999). C. 5464–5474.
- 111. Selective inhibition of the epidermal growth factor and HER-2/ neu receptors by tyrphostins / N. Osherov, A. Gazit, C. Gilon, A. Levitzki // J Biol Chem. 268 (1993). C. 11134–11142.
- 112. Yaish P, Gazit A, Gilon C, Levitzki A. Blocking of EGF-dependent cell proliferation by EGF receptor kinase inhibitors / P. Yaish, A. Gazit, C. Gilon, A. Levitzki // Science. 242 (1988). C. 933–935.
- 113. Gazit A, Yaish P, Gilon C, Levitzki A. Tyrphostins I: Synthesis and biological activity of protein tyrosine kinase inhibitors / A. Gazit, P. Yaish, C. Gilon, A. Levitzki // J Med Chem. 32 (1989). C. 2344–2352.
- 114. Tyrphostins. 2. Heterocyclic and alpha-substituted benzylidenemalononitrile tyrphostins as potent inhibitors of EGF receptor and erbB2/ neu tyrosine kinases / A. Gazit [и др.] // J Med Chem. 34 (1991). С. 1896–1907.
- 115. Tyrphostins. 3. Structure-activity relationship studies of alpha-substituted benzylidenemalononitrile 5-S-aryltyrphostins / A. Gazit [и др.] // J Med Chem. 36 (1993). С. 3556–3564.
- 116. Kamath S. Receptor-guided alignment-based comparative 3D-QSAR studies of benzylidene malonitrile tyrphostins as EGFR and HER-2 kinase inhibitors / S. Kamath, J.K. Buolamwini // J Med Chem. 46 (2003). C. 4657–4668.

- 117. Norman M.H. Conformationally restricted analogues of remoxipride as potential antipsychotic agents / M.N. Norman, J.L. Kelly, E.B. Hollingsworth // J Med Chem. 36 (1993). C. 3417–3423.
- 118. Hodge C.N. A diazine heterocycle replaces a six-membered hydrogen-bonded array in the active site of scytalone dehydratase / C.N. Hodge, J. Pierce // Bioorg Med Chem Lett. -3 (1993). C. 1605–1608.
- 119. Benzamides and benzamidines as specific inhibitors of epidermal growth factor receptor and v-Src protein tyrosine kinases / T. Asano [и др.] // Bioorg Med Chem. 12 (2004). С. 3529–3452.
- 120. Salicylanilides as inhibitors of the protein tyrosine kinase epidermal growth factor receptor / C. Liechti [и др.] // Eur J Med Chem. 39 (2004). С. 11–26.
- 121. Rational design of 4,5- disubstituted-5,7-dihydro-pyrrolo[2,3-d]pyrimidin-6-ones as a novel class of inhibitors of epidermal growth factor receptor (EGF-R) and HER-2 (p185(erbB)) tyrosine kinases / L. Sun [и др.] // Bioorg Med Chem Lett. 12 (2002). C. 2153–2157.
- 122. Discovery of the pyrrolo[2,1-f][1,2,4]triazine nucleus as a new kinase inhibitor template / J.T. Hunt [и др.] // J Med Chem. 47 (2004). С. 4054–4059.
- 123. Phase I study of BMS- 599626, an oral pan-HER tyrosine kinase inhibitor, in patients with advanced solid tumors / L.L. Garland [и др.] // J Clin Oncol. 23 (2005). С. 3152.
- 124. 4-(Phenylamino)pyrrolopyrimidines: Potent and selective,ATP site directed inhibitors of the EGF-receptor protein tyrosine kinase / P.M. Traxler [и др.] // J Med Chem. 39 (1996). С. 2285–2292.
- 125. AEE788: A dual family epidermal growth factor receptor/erbB2 and vascular endothelial growth factor receptor tyrosine kinase inhibitor with antitumor and antiangiogenic activity / P. Traxler [и др.] // Cancer Res. 64 (2004). C. 4931–4941.
- 126. Mellinghoff I.K. Growth inhibitory effects of the dual erbB1/erbB2 tyrosine kinase inhibitor PKI-166 on human prostate cancer xenografts / I.K. Mellinghoff,

- C. Tran, S.L. Sawyers // Cancer Res. 62 (2002). C. 5254–5259.
- 127. Blockade of the epidermal growth factor receptor signaling by a novel tyrosine kinase inhibitor leads to apoptosis of endothelial cells and therapy of human pancreatic carcinoma / C.J. Bruns [и др.] // Cancer Res. 60 (2000). С. 2926–2935.
- 128. Integration of signal transduction inhibitors with endocrine therapy: An approach to overcoming hormone resistance in breast cancer / S.R. Johnston [и др.] // Clin Cancer Res. 9 (2003). С. 524–532.
- 129. Frequent expression of a mutant epidermal growth factor receptor in multiple human tumors / D.K. Moscatello [и др.] // Cancer Res. 55 (1995). C. 5536–5539.
- 130. Transformational and altered signal transduction by a naturally occurring mutant EGF receptor / D.K. Moscatello [и др.] // Oncogene. 13 (1996). С. 85–96.
- 131. Expression of constitutively activated EGFRvIII in nonsmall cell lung cancer. / I. Okamoto [и др.] // Cancer Sci. 94 (2003). С. 50–56.
- 132. Monoclonal antibody against the fusion junction of a deletion-mutant epidermal growth factor receptor . / S. Okamoto [и др.] // Br J Cancer. -73 (1996). -C. 1366–1372.
- 133. The class III variant of the epidermal growth factor receptor (EGFRvIII): Characterization and utilization as an immunotherapeutic target / C.J. Wikstrand [и др.] // J Neurovirol. 4 (1998). С. 148–158.
- 134. Immunotoxins that target an oncogenic mutant epidermal growth factor receptor expressed in human tumors / I.A. Lorimer [и др.] // Clin Cancer Res. 1 (1995). С. 859–864.
- 135. Recombinant immunotoxins specific for a mutant epidermal growth factor receptor: Targeting with a single chain antibody variable domain isolated by phage display / I.A. Lorimer [и др.] // Proc Natl Acad Sci USA. 93 (1996). C. 14815–14820.
- 136. Epidermal growth factor receptor VIII peptide vaccination is efficacious

- against established intracerebral tumors / A.B. Heimberger [и др.] // Clin Cancer Res. -9 (2003). -C. 4247–4254.
- 137. Dendritic cells pulsed with a tumor-specific peptide induce long-lasting immunity and are effective against murine intracerebral melanoma / A.B. Heimberger [и др.] // Neurosurgery. 50 (2002). С. 158–164.
- 138. Activating mutations in the epidermal growth factor receptor underlying responsiveness of non-small-cell lung cancer to gefitinib / T.J. Lynch [и др.] // N Engl J Med. 350 (2004). С. 2129–2139.
- 139. EGF receptor gene mutations are common in lung cancers from "never smokers" and are associated with sensitivity of tumors to gefitinib and erlotinib / W. Pao [и др.] // Proc Natl Acad Sci USA. 101 (2004). C. 13306–13311.
- 140. EGFR mutations in lung cancer: Correlation with clinical response to gefitinib therapy / J.G. Paez [и др.] // Science. 304 (2004). С. 1497–1500.
- 141. Gefitinib-sensitizingEGFR mutations in lung cancer activate anti-apoptotic pathways / R. Sordella, D.W. Bell, D.A. Haber, J. Settleman // Science. 305 (2004). C. 1163–1167.
- 142. Acquired resistance of lung adenocarcinomas to gefitinib or erlotinib is associated with a second mutation in the EGFR Kinase domain / W. Pao [и др.] // PLoS Med. -2 (2005). -C. 73.
- 143. Blencke S. Mutation of threonine 766 in the epidermal growth factor receptor reveals a hotspot for resistance formation against selective tyrosine kinase inhibitors / S. Blencke, A. Ullrich, H. Daub // J Biol Chem. 278 (2003). C. 15435–15440.
- 144. Clinical resistance to STI-571 cancer therapy caused by BCR-ABLgene mutation or amplification / M.E. Gorre [и др.] // Science. 293 (2001). С. 876–880.
- 145. Structural mechanism for STI-571 inhibition of abelson tyrosine kinase / Т. Schindler [и др.] // Science. 289 (2000). С. 1938–1942.
- 146. In vitro activity of Bcr-Abl inhibitors AMN107 and BMS-354825 against clinically relevant imatinib-resistant Abl kinase domain mutants / Т. O'Hare [и

- др.] // Cancer Res. 65 (2005). С. 4500–4505.
- 147. New tyrosine kinase inhibitors in chronic myeloid leukemia / Martinelli G [и др.] // Haematologica. 90 (2005). С. 534–541.
- 148. Irreversible inhibitors of the EGF receptor may circumvent acquired resistance to gefitinib / E.L. Kwak [и др.] // Proc Natl Acad Sci USA. 102 (2005). С. 7665–7670.
- 149. http://zinc.docking.org